

Общая информация. Курс читают Кайгородов Сергей Владимирович и Базыров Ильдар Шамилевич (решение задач отправлять на email: ildarbazyrov@gmail.com, используя следующее название письма: ГДМ_дата занятия, когда проходили задание_номер по списку_Фамилия; например: ГДМ_051022_16_Муравцев).

Материалы по курсу доступны по ссылке: [GO TO УЧЕБНЫЕ МАТЕРИАЛЫ](#).

Дополнительно рекомендована ссылка на YouTube-лекции: [GO TO ПРАКТИКА ГДМ](#).

Канал Рок Флоу Динамикс: [GO TO RFD](#).

Лекции Kleppe (Norwegian University of Science and Technology): [GO TO KLEPPE LECTURES](#).

Содержание

0 Экзамен 12.01.2023 (Базыров И.Ш.)	8
0.1 Какие режимы течения Вы знаете? Раскрыть суть каждого режима.	8
0.2 Какие режимы притока Вы знаете? Раскрыть суть каждого режима.	9
0.3 Что такое уравнение Дарси, как выводится уравнение в общем виде?	10
0.4 Вывод уравнения Дарси для линейного течения	11
0.5 Вывод уравнения Дарси для радиального течения	12
0.6 Раскрыть суть уравнения Дарси-Дюпюи, как выводится уравнение? Как получен коэффициент в формуле Дарси-Дюпюи, равный 18.41?	13
0.7 Раскрыть суть уравнения пьезопроводности, как выводится уравнение пьезопроводности для «неупругого пласта»? Что такое коэффициент пьезопроводности?	14
0.8 Вывод уравнения пьезопроводности для «упругого пласта».	15
0.9 Опишите основные уравнения для моделирования фильтрации потока.	16
0.10 Приведите примеры прямых и обратных задач уравнения пьезопроводности.	17
0.11 Что такое капиллярное давление? Нарисовать кривую капиллярного давления от глубины. Нарисовать кривую капиллярного давления от насыщенности.	18
0.12 Что такое ОФП? Раскрыть суть ОФП. Привести примеры наиболее популярных корреляций для построения кривых относительных фазовых проницаемостей	19
0.13 Что такое функция Леверетта. Раскройте суть функции Леверетта.	20
0.14 Чем отличается связанная и критическая водонасыщенность. На что повлияет, если мы переместим связанную водонасыщенность S^*L или максимальную водонасыщенность S^*U . На что повлияет, если мы переместим критическую водонасыщенность S^*CR	21
0.15 Что такое масштабирование ОФП? Зачем нужно нормировать ОФП?	22
0.16 Какие лабораторные исследования проводят для измерения ОФП? Опишите суть исследований.	23
0.17 Что такое фазовые диаграммы? Нарисуйте фазовые диаграммы (PVT диаграммы) .	24
0.18 Что такое PVT свойства, раскрыть суть PVT свойств.	25
0.19 Какие PVT свойства жидкостей вы знаете? Какие основные PVT свойства необходимо задавать в модели? Что такое сжимаемость?	26
0.20 Приведите примеры описания PVT моделей в симуляторе T-Navigator.	27

СОДЕРЖАНИЕ

0.21	Что такое давление насыщения? Что происходит при «переходе» через точку давления насыщения. Как будут меняться свойства жидкостей при «переходе» через точку давления насыщения.	28
0.22	Раскрыть суть решения уравнение фильтрации явным методом. Опишите основные шаги	29
0.23	Раскрыть суть решения уравнение фильтрации неявным методом. Опишите основные шаги	30
0.24	Опишите способы решения системы линейных ур-ий. Приведите минимум 2 способа в качестве примеров.	31
0.25	Что такое критерий стабильности? Раскройте суть критерия стабильности. Приведите минимум 2 примера критерия стабильности.	32
0.26	Что такое начальные и граничные условия? Какое граничное условие называют Неймана, а какое Дирихле? Опишите применение граничных условий в решении задач в нефтяной индустрии.	33
0.27	Что такое Box model? Раскройте суть Box model.	34
0.28	Какие сетки используем в гидродинамическом моделировании? Приведите примеры различных сеток и опишите их специфику.	35
0.29	Какими способами можно задать кубы свойств?	36
0.30	Какие способы инициализации модели Вы знаете. Раскройте суть хотя бы одного из способов. Какие ключевые слова применяются для инициализации ГДМ симуляторе T-Navigator?	37
0.31	Что будет происходить с моделей при инициализации модели различными способами (неравновесный, равновесный, равновесный + начальный куб насыщенности)?	38
0.32	Что такое аквифер? Раскройте суть аквифера. Какое ключевое слово обозначает аквифер в T-Navigator?	39
0.33	Опишите структуру Data файла для запуска модели в симуляторе в T-Navigator. Опишите основные разделы Data файла.	40
0.34	Как задавать параметры скважин в T-Navigator? Как можно задать контроль на скважинах в T-Navigator?	41
0.35	Что такое ремасштабирование (UpScaling)? Раскройте суть ремасштабирования	42
0.36	Что такое радиус Писмана? Раскройте суть радиуса Писмана.	43
0.37	Что такое адаптация модели? Опишите основные шаги адаптации модели.	44
0.38	Какие основные параметры модели изменяются при адаптации? Какие критерии показывают, что модель успешно адаптирована?	45
0.39	Как можно садаптировать модель в случае отставания фронта заводнения в модели?	46
0.40	Что такое уравнение Баклея-Леверетта? Опишите суть уравнения Баклея-Леверетта.	47
0.41	Что такое материальный баланс в гидродинамическом моделировании? Опишите суть материального баланса.	48
1	Вводная лекция 07.09.2022 (Базыров И.Ш.)	49

СОДЕРЖАНИЕ

1.1	Озеро Пёнье (Peigneur, Пенёр)	49
1.2	История развития гидродинамических моделей	49
1.3	Что такое гидродинамическое моделирование?	50
1.3.1	Уравнение пьезопроводности (без упругости пласта)	50
1.3.2	Уравнение пьезопроводности (в случае упругого пласта)	51
1.4	Пороупругость	51
1.5	Гидрогоемеханическое моделирование: компьютерное моделирование, виды совмещения	51
1.5.1	Виды гидро-геомеханического совмещения	51
2	Лекция 12.09.2022 (Кайгородов С.В.)	53
2.1	Цели курса	53
2.2	Каналы распространения знаний по ГДМ	55
2.3	Что такое модель?	55
2.4	Требования к моделям	56
2.5	Точность моделей	57
2.6	Виды моделей	58
2.7	Гидродинамическая модель	58
2.8	Цели гидродинамического моделирования (ГДМ)	59
2.9	Математическая основа ГДМ	60
2.10	Типы сеток ГДМ	62
2.11	Типы сеток ГДМ. LGR	63
2.12	Порядок нумерации ячеек сетки	64
2.13	Структура файла исходных данных для симулятора ECLIPSE	65
2.14	Справочники для симулятора ECLIPSE	66
2.15	Задание свойств в ячейках	67
2.16	Поток через ячейку	69
2.17	Несоседние соединения NNC	70
2.18	Проблемы пространственной дискретизации	71
2.19	Построение грида	74
2.20	Гидродинамические модели (схема)	74
2.21	Типы расчётных моделей	75
2.21.1	Модель нелетучей нефти	75
2.21.2	Композиционная модель	75
2.21.3	Термические модели	76
2.21.4	Модель двойной или мульти-среды	76
2.21.5	Модели линий тока	77
2.21.6	Proxy-модели	77
2.21.7	Суррогатные (мета) модели	78
2.22	Иерархия гидродинамических моделей	80
2.23	Местоположение моделирования в цикле нефтедобычи	80
2.24	Источники геологической информации в масштабах месторождения	81

СОДЕРЖАНИЕ

2.25	Охват исследованием и погрешность	82
2.26	Исходные данные для гидродинамического моделирования	82
2.27	Подходы к построению ПДГДМ	83
2.28	Ремасштабирование геомодели	84
2.29	Ремасштабирование структуры (upgridding)	84
2.30	Ремасштабирование свойств	85
2.31	Ремасштабирование проницаемости	86
2.32	Ремасштабирование геомодели. Контроль качества	87
2.33	Поверхностное натяжение	87
2.34	Смачиваемость	88
2.35	Капиллярное давление	88
2.36	Капиллярное давление для разных типов породы	90
2.37	J-функция Леверетта	91
2.38	Капиллярное давление. Лабораторные исследования	92
2.39	ОФП	93
2.40	Смачиваемость. Критерий Craig (1971)	94
2.41	Гистерезис ОФП	95
2.42	ОФП. Лабораторные исследования	95
2.43	ОФП. Корреляции Corey и LET	98
2.44	Как задать ОФП в ГДМ, если есть несколько исследований?	98
2.45	Концевые точки ОФП в системе нефть-вода	99
2.46	Масштабирование ОФП	100
2.46.1	По горизонтали (по насыщенности)	102
2.46.2	По вертикали	103
2.47	Согласованность массивов в модели	103
2.48	Ремасштабирование (2-х фазный апскэлинг ОФП)	105
2.49	Типы флюидов	106
2.50	Определение типа залежи по составу УВ	107
2.51	PVT-свойства	107
2.52	PVT-свойства нефти	108
2.53	PVT-свойства нефти. Корреляции	108
2.54	PVT-свойства «живой нефти»	109
2.55	Варианты описания PVT в моделях Black Oil	109
2.56	Сжимаемость порового пространства	110
2.57	Сжимаемость порового пространства. Корреляции	111
2.58	Упражнение 1. Упражнения на обработку и подготовку исходных данных	112
3	Лекция 13.09.2022 (Кайгородов С.В.)	114
3.1	Анализ разработки перед построением модели	114
3.2	Матбаланс	115
3.3	Матбаланс. Пример использования	116
3.4	Анализ источников обводнения	117

СОДЕРЖАНИЕ

3.5	Оценка загрязнения призабойной зоны	119
3.6	Оценка наличия трещин авто-ГРП на нагнетательных скважинах	119
3.7	Исходные данные по скважинам	120
3.8	Моделирование притока к скважине	121
3.9	Способы инициализации модели в симуляторах	122
3.9.1	Неравновесный	122
3.9.2	Равновесный	123
3.9.3	Равновесный с соблюдением начальной насыщенности	124
3.10	Оценка корректности инициализации ГДМ	124
3.11	Аналитический аквифер	125
3.12	Упражнение 2. Создание синтетической ВОХ-модели	127
3.13	Упражнение 3. Инициализация ГДМ	127
3.14	Задание истории работы скважин	128
3.15	Упражнение 4. Подготовка SCHEDULE-секции	128
3.16	Алгоритм работы в ПО SCHEDULE	129
3.17	Загрузка истории эксплуатации	131
3.18	Адаптация модели	133
3.18.1	Обратные задачи	134
3.18.2	Адаптация модели на разных стадиях разработки	135
3.18.3	По отборам жидкости и пластовому давлению	136
3.18.4	По соотношению нефть/вода	137
3.18.5	По коэффициенту продуктивности и Рзаб	137
3.19	Уточнение распределений параметров при адаптации модели	138
3.19.1	Алгоритм проведения автоадаптации	139
3.19.2	Программы автоадаптации	139
3.19.3	Критерии адаптации	140
3.19.4	«Запрещённые» и нежелательные приёмы адаптации	142
3.20	Упражнение 5. Расчёт моделей с разными наборами исходных данных	143
3.21	Упражнение 6. Адаптация ГДМ	143
3.22	Упражнение 6. Адаптация ГДМ. Обсуждение результатов	144
3.23	Групповая дискуссия	144
3.24	Инструменты для оптимизации разработки месторождения	145
3.25	Линии тока	146
3.26	Оптимизация ППД на основе матриц дренирования	146
3.27	Прогнозные расчёты. Анализ таблиц дренирования	147
3.28	Подготовка и проведение прогнозных расчётов	148
3.29	Создание рестартов из GUI tNavigator	150
3.30	Вырезание сектора	150
3.31	Подготовка и проведение прогнозных расчётов	151
3.32	Прогнозные расчёты	151
3.32.1	Расстановка ВС	151
3.32.2	Расстановка ГС/ННС	152

СОДЕРЖАНИЕ

3.32.3 Расстановка скважин по сетке	152
3.32.4 Моделирование ГТМ	153
3.32.5 Задание ГРП	154
3.32.6 Оценка адекватности результатов	154
3.32.7 Анализ чувствительности	155
3.33 Упражнение 7. Прогнозные расчёты	156
3.34 Регламенты по созданию ГДМ	156
3.35 Сравнительная характеристика ПО для ГДМ	157
3.35.1 Тесты SPE	157
3.35.2 О недостатках тестов SPE	159
3.35.3 Тесты ЦКР	160
3.36 Основные проблемы моделирования	160
3.37 Выводы	161
4 Практика 14.09.2022 (Базыров И.Ш.)	164
4.1 Закон Дарси	164
4.1.1 Линейное течение	164
4.1.2 Радиальное течение. Формула Дюпюи	164
4.2 Скин-фактор	165
4.3 Формула Дюпюи с учётом скин-эффекта	165
4.4 Определение дебита по формуле Дюпюи, анализ чувствительности	165
4.5 Задача 1	166
4.6 Что такое гидродинамическое моделирование?	166
4.7 Уравнение пьезопроводности (без упругости пласта)	167
4.8 Решение линейного стока/источника в однородном бесконечном коллекторе	167
4.9 Что такое модель, или зачем нужно решать уравнение пьезопроводности?	168
4.10 Задача 2	168
4.11 Вывод уравнения пьезопроводности без упругости пласта (от Шеля Е.В.)	169
5 Практика 21.09.2022 (Базыров И.Ш.)	173
6 Практика 28.09.2022 (Базыров И.Ш.)	174
7 Практика 05.10.2022 (Базыров И.Ш.)	175
8 Практика 12.10.2022 (Базыров И.Ш.)	176
9 Практика 19.10.2022 (Базыров И.Ш.)	177
10 Практика 26.10.2022 (Базыров И.Ш.)	178
11 Практика 02.11.2022 (Базыров И.Ш.)	179
12 Практика 09.11.2022 (Базыров И.Ш.)	180

13 Практика 16.11.2022 (Базыров И.Ш.)

181

Гидродинамическое моделирование

Конспект лекций и семинаров

Муравцев А.А.¹ Базыров И.Ш.² Кайгородов С.В.³

30 декабря 2022 г.

0 Экзамен 12.01.2023 (Базыров И.Ш.)

0.1 Какие режимы течения Вы знаете? Раскрыть суть каждого режима.

¹конспектирует; email: almuravcev@yandex.ru

²лектор, Высшая школа теоретической механики, Санкт-Петербургский Политехнический университет. Дополнительные материалы к лекциям [доступны по ссылке](#).

³лектор, Высшая школа теоретической механики, Санкт-Петербургский Политехнический университет. Дополнительные материалы к лекциям [доступны по ссылке](#).

0.2 Какие режимы притока Вы знаете? Раскрыть суть каждого режима.

0.3 Что такое уравнение Дарси, как выводится уравнение в общем виде?

0.4 Вывод уравнения Дарси для линейного течения

0.5 Вывод уравнения Дарси для радиального течения

**0.6 Раскрыть суть уравнения Дарси-Дюпюи, как выводится уравнение?
Как получен коэффициент в формуле Дарси-Дюпюи, равный 18.41?**

0.7 Раскрыть суть уравнения пьезопроводности, как выводится уравнение пьезопроводности для «неупругого пласта»? Что такое коэффициент пьезопроводности?

0.8 Вывод уравнения пьезопроводности для «упругого пласта».

0.9 Опишите основные уравнения для моделирования фильтрации потока.

0.10 Приведите примеры прямых и обратных задач уравнения пьезопроводности.

0.11 Что такое капиллярное давление? Нарисовать кривую капиллярного давления от глубины. Нарисовать кривую капиллярного давления от насыщенности.

0.12 Что такое ОФП? Раскрыть суть ОФП. Привести примеры наиболее популярных корреляций для построения кривых относительных фазовых проницаемостей

0.13 Что такое функция Леверетта. Раскройте суть функции Леверетта.

0.14 Чем отличается связанная и критическая водонасыщенность. На что повлияет, если мы переместим связанную водонасыщенность S^*L или максимальную водонасыщенность S^*U . На что повлияет, если мы переместим критическую водонасыщенность S^*CR .

0.15 Что такое масштабирование ОФП? Зачем нужно нормировать ОФП?

**0.16 Какие лабораторные исследования проводят для измерения ОФП?
Опишите суть исследований.**

0.17 Что такое фазовые диаграммы? Нарисуйте фазовые диаграммы (PVT диаграммы)

0.18 Что такое PVT свойства, раскрыть суть PVT свойств.

0.19 Какие PVT свойства жидкостей вы знаете? Какие основные PVT свойства необходимо задавать в модели? Что такое сжимаемость?

0.20 Приведите примеры описания РВТ моделей в симуляторе T-Navigator.

0.21 Что такое давление насыщения? Что происходит при «переходе» через точку давления насыщения. Как будут меняться свойства жидкостей при «переходе» через точку давления насыщения.

0.22 Раскрыть суть решения уравнение фильтрации явным методом. Опишите основные шаги

**0.23 Раскрыть суть решения уравнение фильтрации неявным методом.
Опишите основные шаги**

0.24 Опишите способы решения системы линейных ур-ий. Приведите минимум 2 способа в качестве примеров.

0.25 Что такое критерий стабильности? Раскройте суть критерия стабильности. Приведите минимум 2 примера критерия стабильности.

0.26 Что такое начальные и граничные условия? Какое граничное условие называют Неймана, а какое Дирихле? Опишите применение граничных условий в решении задач в нефтяной индустрии.

0.27 Что такое Box model? Раскройте суть Box model.

0.28 Какие сетки используем в гидродинамическом моделировании? Приведите примеры различных сеток и опишите их специфику.

0.29 Какими способами можно задать кубы свойств?

0.30 Какие способы инициализации модели Вы знаете. Раскройте суть хотя бы одного из способов. Какие ключевые слова применяются для инициализации ГДМ симуляторе T-Navigator?

0.31 Что будет происходить с моделей при инициализации модели различными способами (неравновесный, равновесный, равновесный + начальный куб насыщенности)?

0.32 Что такое аквифер? Раскройте суть аквифера. Какое ключевое слово обозначает аквифер в T-Navigator?

0.33 Опишите структуру Data файла для запуска модели в симуляторе в T-Navigator. Опишите основные разделы Data файла.

0.34 Как задавать параметры скважин в T-Navigator? Как можно задать контроль на скважинах в T-Navigator?

0.35 Что такое ремасштабирование (UpScaling)? Раскройте суть ремасштабирования

0.36 Что такое радиус Писмана? Раскройте суть радиуса Писмана.

0.37 Что такое адаптация модели? Опишите основные шаги адаптации модели.

0.38 Какие основные параметры модели изменяются при адаптации? Какие критерии показывают, что модель успешно адаптирована?

0.39 Как можно садаптировать модель в случае отставания фронта заводнения в модели?

0.40 Что такое уравнение Баклея-Леверетта? Опишите суть уравнения Баклея-Леверетта.

0.41 Что такое материальный баланс в гидродинамическом моделировании? Опишите суть материального баланса.

1 Вводная лекция 07.09.2022 (Базыров И.Ш.)

1.1 Озеро Пёнье (Peigneur, Пенёр)

Пресноводное озеро площадью около 5 км^2 со средней глубиной 3.3 метра за один день (21 ноября 1980 года) стало солёным с максимальной глубиной около 396 метров.

Ошиблись при расчётах траектории бурения скважины и пробурили её в соляную шахту. Вода из озера, двигаясь по скважине под действием силы тяжести, начала размывать соляную шахту. На поверхности озера образовалась огромная воронка. И за считанные минуты глубина озера возросла в несколько раз.

Вывод. Необходимо очень серьёзно относиться к своим инженерным решениям!

1.2 История развития гидродинамических моделей

«...В сущности все модели неправильные, но некоторые полезны...» Дж. Бокс

Создание 3D ГДМ не позволяет решить все задачи на всех месторождениях, необходима иерархия моделей.

Упрощённые модели могут решить только часть задач: некоторые процессы с помощью упрощённых моделей описать нельзя (а именно нелинейные процессы, при протекании которых происходит много сопутствующих процессов).

1) Аналитические модели (примерно с 1920 г.):

- Buckley Leverett
- Muscat
- Dykstra Parson
- Arps

2) Численные модели / развитие симуляторов:

- Nelson Pope
- CMG Suite
- BOAST
- ECLIPSE
- RMS
- Nexus
- tNavigator
- Intersect
- OPM

3) Необходимость развития упрощённых моделей и необходимость иерархии моделей:

- CRM

1.3 Что такое гидродинамическое моделирование?

1) Набор уравнений:

- неразрывность потока

$$\frac{\partial(\rho_f \varphi)}{\partial t} + \nabla \cdot (\rho_f \varphi \mathbf{v}_f) = q_f(\mathbf{x}) \quad (1)$$

- закон Дарси

$$\mathbf{W} = -\frac{k}{\mu_f} \cdot \nabla p \quad (2)$$

- сжимаемость флюида

$$p - p_0 = K_f \frac{\rho_f - \rho_f^0}{\rho_f^0} \quad (3)$$

На этих уравнениях строится основное уравнение гидродинамики пласта – уравнение пьезопроводности.

2) Насыщенности и относительные фазовые проницаемости (для нескольких флюидов)

3) Геометрия (сложное строение пласта)

1.3.1 Уравнение пьезопроводности (без упругости пласта)

В предположении неподвижности скелета ($\mathbf{v}_s \approx \mathbf{0}$ и $\varphi(t) = \text{const}$) верно равенство $\mathbf{W} \approx \varphi \mathbf{v}_f$.

Подставляя в закон Дарси (2), получаем:

$$\varphi \mathbf{v}_f = -\frac{k}{\mu_f} \cdot \nabla p \quad (4)$$

Условие сжимаемости флюида (3) перепишем в дифференциальной форме:

$$\frac{\partial p}{\partial t} = \frac{K_f}{\rho_f^0} \frac{\partial \rho_f}{\partial t} \quad (5)$$

Учитывая предположение о неподвижности скелета, перепишем уравнение неразрывности потока:

$$\varphi \frac{\partial \rho_f}{\partial t} + \nabla \cdot (\rho_f \varphi \mathbf{v}_f) = q_f(\mathbf{x}) \quad (6)$$

Подставляя (4) и (5) в (6), при отсутствии источникового слагаемого ($q_f(\mathbf{x}) = 0$) получаем:

$$\varphi \frac{\rho_f^0}{K_f} \frac{\partial p}{\partial t} - \nabla \cdot \left(\rho_f \frac{k}{\mu_f} \nabla p \right) = 0 \quad (7)$$

При дополнительном условии слабосжимаемости флюида ($\rho_f \approx \rho_f^0 = \text{const}$) получаем:

$$\frac{\partial p}{\partial t} = \frac{k K_f}{\mu_f \varphi} \nabla^2 p \quad (8)$$

Это уравнение пьезопроводности (без упругости пласта), полученное в приближении слабосжимаемого флюида, неподвижного и недеформируемого пласта.

1.3.2 Уравнение пьезопроводности (в случае упругого пласта)

Задача со звёздочкой.

1.4 Пороупругость

Использует методы механики сплошных сред к пористым средам.

В нефтяной индустрии описывает взаимозависимость величин пластового давления и деформаций пористой среды с изменением напряжённо-деформированного состояния во время разработки месторождений.

Матрица - материал, из которого сделан пористый скелет.

В твёрдой части выполняются уравнения упругости.

В уравнениях пороупругости величины, относящиеся к матрице, обозначаются индексом s , к жидкости - индексом f , к пористому скелету - без индексов. Например, уравнение для плотности:

$$\rho = \rho_s (1 - \varphi) + \rho_f \varphi \quad (9)$$

Общая схема решения упругих (пороупругих) задач:

- определиться с неизвестными задачи (напряжения, деформации, перемещение, давление и т.п.)
- сформулировать законы сохранения (закон сохранения массы - ЗСМ; закон сохранения количества движения - ЗСИ; закон сохранения момента количества движения - ЗСМИ; закон сохранения энергии - ЗСЭ; закон неубывания энтропии)
- сформулировать кинематические соотношения и условия сплошности (связь между перемещениями и деформациями)
- сформулировать определяющие уравнения (закон Гука - связь между напряжениями и деформациями; связь между плотностью среды и давлением)
- сформулировать граничные и начальные условия

1.5 Гидрогеомеханическое моделирование: компьютерное моделирование, виды совмещения

1.5.1 Виды гидро-геомеханического совмещения

1. Постоянная сжимаемость: объём пор является единственной функцией порового давления $V_p = f(P_p)$
2. Псевдосовмещение: уплотнение и изменение горизонтального напряжения вычисляются с помощью простых соотношений между пористостью, проницаемостью и напряжением соответственно

3. Односторонняя связь: информация передаётся только одним способом с модуля симулятора на геомеханику
4. Итеративный способ совмещения: уникальная взаимосвязь между объёмом пор и изменением порового давления используется для оценки изменения объёма пор в моделировании пласта
5. Полное совмещение: этот метод является глобальным симуляционным решением одновременно и неявно уравнения потока и уравнения структурного анализа в тех же линейных системах

От первого к последнему возрастает качество, но падает скорость.

2 Лекция 12.09.2022 (Кайгородов С.В.)

2.1 Цели курса

Содержание курса

День 1

Тема 1. Введение. Что такое модель, требования к моделям, зачем нужны и на чем основаны модели, ограничения моделей, типы сеток, типы моделей, типы симуляторов. Местоположение моделирования в цикле нефтедобычи.

Тема 2. Создание ГДМ. Ремасштабирование геомодели. Анализ исходных данных (анизотропия проницаемости, PVT, ОФП, капиллярное давление, анализ работы скважин, матбаланс, начальные и граничные условия, ГДИС, ПГИ, ГТМ) и подготовка к созданию модели. Инициализация ГДМ.

День 2

Тема 3. Адаптация ГДМ. Основные методы, этапы адаптации, критерии качества. Нежелательные приемы адаптации. Программы по автоадаптации. Влияние качества исходных данных на результат моделирования.

День 3

Тема 4. Прогнозирование и оптимизация разработки на основе ГДМ. Инструменты для оптимизации разработки месторождения (карты, линии тока). Способы задания контроля на скважинах. Моделирование ГТМ. Оценка адекватности полученных результатов прогнозных расчетов. Анализ чувствительности.

Тема 5. Регламенты по моделированию. Сравнительная характеристика ПО. Регламенты по созданию моделей. Сравнительная характеристика ПО (тесты SPE, ЦКР). Обсуждение основных проблем моделирования.

© ООО «Газпромнефть НТЦ», 2020 г. | 7

Курс построен таким образом, что сначала мы посмотрим, что такое модели, какие требования есть к моделям в общем виде, какие ограничения, типы моделей, типы симуляторов, вообще зачем нужно моделирование, в том числе в нефтедобыче. И дальше перейдём непосредственно к созданию гидродинамических моделей, пошаговый переход от геологической модели, анализ исходных данных, PVT, ОФП, капиллярные давления. В общем всё, что нужно для создания модели, как их (эти данные) преобразовывать и загружать в модель, как модель инициализировать, затем настраивать на историю эксплуатации, какие методы желательно не использовать, чтобы не испортить модель. И как затем с помощью этой модели считать разные варианты прогнозов и оптимизации разработки, подбирать ГТМ и так далее. И в конце поговорим про регламенты по моделированию.

Есть ещё отдельная презентация по самому софту, который используется сейчас у нас в Газпром-Нефти. Это т-Навигатор, как корпоративный симулятор. У нас безлимитная лицензия на него. Это наш отечественный симулятор, который распространился по миру и уже теснит продукты Schlumberger и других вендоров, производителей программного обеспечения. Такая история успеха, в которую и мы тоже приложили доля своего, так скажем, воздействия, да, когда тестировали этот симулятор, давали рекомендации по его доработке.

Цели курса

- Расширить знания в области инструментов управления разработкой месторождений
- Сформировать у специалистов смежных специальностей, не вовлеченных непосредственно в процесс гидродинамического моделирования, понятие об основных требованиях к моделям, этапах создания моделей, целях и основных проблемах моделирования
- Развить навыки создания и адаптации моделей, расчета прогнозных вариантов
- Сформировать убеждение в простоте, эффективности, возможности и необходимости применения современных инструментов инженерных расчетов (ГДМ)

© ООО «Газпромнефть НТЦ», 2020 г. | 10

Цели курса у нас: расширить знания в области инструментов управления разработкой месторождения; сформировать убеждение, что процесс создания модели достаточно простой, если в нём разобраться; сформировать понятия об основных требованиях к моделям, этапах создания моделей, целях и основных проблемах моделирования, а также развить навыки создания и адаптации моделей, расчёта прогнозных вариантов.

Презентация выстроена таким образом, что сначала немножко теория идёт, а потом какое-то практическое упражнение. Но поскольку у нас сейчас нет доступа к симулятору (у вас непосредственно на месте, насколько я понимаю, нет симулятора), то мы сейчас практические упражнения сделать не сможем, но вместе с Ильдаром вы, наверное, это всё проделаете.

Так что эти 2 дня у нас будет теория, а дальше уже практика отдельно. Надеюсь, что в голове ничего не перепутается.

Говорит Ильдар Шамилевич: я поэтому на курсе сейчас и присутствую, чтобы какую-то теорию повторить ещё раз перед тем, как давать упражнения.

Далее продолжает Сергей Владимирович.

Да, на практике, в общем, вы всё это закрепите, что я рассказываю, поэтому где-то себе там записывайте; если какие-то вопросы есть, тоже сразу можно задавать. Не стесняться! Задача разобраться в материале! Сегодня до 12:30 у нас по плану, и завтра тоже также. За 2 дня должны мы, в принципе, основные понятия разобрать.

2.2 Каналы распространения знаний по ГДМ

Каналы распространения знаний по ГДМ

1. Сообщество по ГДМ в СРЗ <http://srz.gazprom-neft.local/communities/gdm>

Доступ запрашивается через СУИД

2. Единый лист рассылки по ГДМ rs@wiki.gazprom-neft.ru

Чтобы подписаться, нужно отправить письмо с темой *subscribe rs* на *grpconnect@wiki.gazprom-neft.ru*

3. Дискуссионный клуб по ГДМ

Проводится несколько раз в год, приглашения высыпаются через лист рассылки

4. Курсы в ЦПР, семинары вендоров, внешнее обучение и конференции

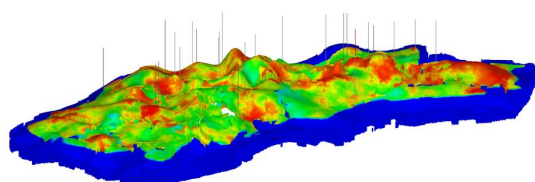
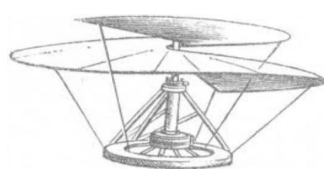
5. Telegram-чат https://t.me/+6jv-2nD_fU04YWVi



© ООО «Газпромнефть НТЦ», 2020 г. | 12

2.3 Что такое модель?

Что такое модель?



- **Модель** (*фр. modèle, от лат. modulus — «мера, аналог, образец»*) — это система, исследование которой служит средством для получения информации о другой системе, это упрощённое представление реального устройства и/или протекающих в нём процессов, явлений [1-3].
- **Моделирование** — обязательная часть исследований и разработок, неотъемлемая часть нашей жизни, поскольку сложность любого материального объекта и окружающего его мира бесконечна вследствие неисчерпаемости материи и форм её взаимодействия, как внутри себя, так и с внешней средой

© ООО «Газпромнефть НТЦ», 2020 г. | 15

Давайте сразу. На группы делиться не будем. Онлайн это сложно сделать. В общем виде, что такое модель? Безотносительно нефтянки, а вообще. Модель — это по определению система, исследование которой служит средством для получения информации о другой системе, то есть это некое упрощённое представление реального устройства и/или протекающих в нём процессов и явлений. Поскольку окружающий нас мир бесконечен (вследствие неисчерпаемости материи и форм её взаимодействия, как внутри себя так и с внешней средой) и сложен, то моделирование —

это на самом деле обязательная часть исследований и разработок, и неотъемлемая часть нашей жизни. То есть мы, может быть, и не задумываемся, но на самом деле каждый день занимаемся моделированием. Моделируем какие-то ситуации, представляем себе отклик какой-либо системы на наше воздействие, то есть, например, что будет, если мы потянем за ручку двери (она откроется). Такое простейшее представление.

2.4 Требования к моделям

Требования к моделям [4]

- **Адекватность**

соответствие модели исходной реальной системе и учет, прежде всего, наиболее важных качеств, связей и характеристик

- **Точность**

степень совпадения полученных в процессе моделирования результатов с заранее установленными, желаемыми

- **Универсальность**

применимость модели к анализу ряда однотипных систем в одном или нескольких режимах функционирования

- **Целесообразная экономичность**

точность получаемых результатов и общность решения задачи должны увязываться с затратами на моделирование

© ООО «Газпромнефть НТЦ», 2020 г. | 16

Здесь представлены основные требования к моделям.

Например, желательно, чтобы модель можно было использовать как можно для более широкого круга задач (универсальность), но при этом не терять в точности модели. Ведь если мы будем делать всеобъемлющую модель всего, то понятно, что это будет либо суперсложная модель, которую мы не сможем рассчитать, либо эта модель будет возпроизводить какие-то основные характеристики системы, а какие-то более тонкие эффекты не будет показывать. Поэтому нужен баланс (целесообразная экономичность): с одной стороны у нас есть точность результатов, а с другой стороны у нас есть затраты на моделирование (время, данные, квалификация). В итоге, необходимо соотносить затраты с требуемой детальностью модели. Для простых задач можем строить простые модели, которые требуют меньше времени, меньше данных.

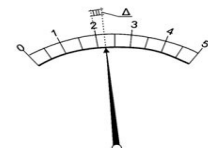
Когда появятся в общем доступе квантовые компьютеры, то, наверное, можно будет считать суперточные модели мгновенно и иметь полную информацию обо всём, что происходит.

2.5 Точность моделей

Точность моделей [4]

Причины погрешностей:

- Упрощение реальных систем
- Недостаток и погрешности исходных данных
- Недостаток знаний и навыков



Точность моделей:

- точность результатов расчетов модели не может превысить точности исходных данных
- вид выбираемой модели должен согласовываться с точностью исходных данных и потребной точностью результатов
- желаемая точность результатов должна соответствовать нуждам и реалиям практики

© ООО «Газпромнефть НТЦ», 2020 г. | 17



При упрощении реальных систем мы пренебрегаем какими-либо связями или характеристиками системы, и соответственно это сразу же приводит к погрешностям.

Погрешность исходных данных может быть связана как с погрешностью приборов, так и с погрешностью проведения самих экспериментов (замеров значений этих параметров), так и с погрешностью интерпретации, связанной с погрешностью методики интерпретации и непосредственно применения этой методики. То есть несколько таких направлений, которые могут приводить к погрешностям в исходных данных.

Далее, что посеешь, то и пожнёшь: качество результатов расчётов не может превысить точности исходных данных.

2.6 Виды моделей

Виды моделей [4]

- Эвристические/мысленные
- Натурные (физические, социальные, экономические)
- Математические (аналитические, численные, формально-логические)
- Промежуточные (графические, аналоговые и др.)

© ООО «Газпромнефть НТЦ», 2020 г. | 18

2.7 Гидродинамическая модель

Гидродинамическая модель

Гидродинамическая модель – модель, описывающая динамику фильтрации флюидов в поровом пространстве некоторого месторождения

Это математическая модель с возможностью графического представления результатов расчета

Модель сохраняет основные особенности реальной системы, или её поведение близко к поведению реальной системы, однако достаточно проста, чтобы можно было провести её расчет

© ООО «Газпромнефть НТЦ», 2020 г. | 19

2.8 Цели гидродинамического моделирования (ГДМ)

Цели гидродинамического моделирования

- Согласование всего объема данных о месторождении (QA/QC)
- Визуализация объекта разработки
- Представление о динамике изменения свойств пласта
- Анализ разработки и подбор вариантов оптимизации и ГТМ
- Прогноз динамики работы скважин и месторождения в целом
- Экономия средств (денег и времени)
- Инструмент принятия решения

© ООО «Газпромнефть НТЦ», 2020 г. | 20

По сути гидродинамическая модель служит своего рода базой данных, в которой собираются все результаты исследований, интерпретации исследований. И информация об одних и тех же свойствах может идти из разных исследований. Когда мы всю эту информацию собираем воедино, то можем увидеть какие-то нестыковки, несоответствия и выявить погрешности в исходных данных, чтобы затем уточнить: действительно ли корректны рассматриваемые значения исходных параметров, полученных при интерпретации выбранных исследований. Может быть, стоит их пересмотреть и разобраться в причинах несоответствия.

Лучше один раз увидеть, чем сто раз услышать – визуализация объекта разработки важна (тогда легче представить, что с этим объектом можно делать и как этот объект будет реагировать на определённые воздействия; другими словами, легче понять отклик моделируемой системы на разные воздействия и обдумать, что необходимо делать для оптимизации процессов, имеющихся на месторождении, чтобы улучшить результаты в эксплуатации). Визуализация позволяет представить, что происходит, а именно как в динамике меняются свойства пласта, провести анализ разработки, подобрать варианты оптимизации, варианты геолого-технических мероприятий и посчитать различные прогнозы.

На месторождении мы можем сделать мероприятие только 1 раз (и свойства пласта необратимо изменятся), а в модели можем сделать сколько угодно разных мероприятий (не оказывая при этом воздействие на реальный пласт). Следовательно, модель является инструментом принятия решений и экономит нам средства (деньги и время) на то, чтобы подобрать оптимальный способ разработки (ведь можем перебрать много разных способов, выбрать лучший и его уже реализовывать на месторождении).

2.9 Математическая основа ГДМ

Математическая основа ГДМ

Компьютерная гидродинамическая модель месторождения основана на следующей системе уравнений:

- Уравнение неразрывности сплошной среды (по существу закон сохранения массы)
- Уравнение энергии (для неизотермического течения)
- Уравнение состояния сплошной среды (как пластика, так и флюидов)
- Закон движения (различные модификации закона Дарси)
- Начальные и граничные условия

$$\left\{ \begin{array}{l} \frac{\partial}{\partial t}(\phi N_c) = \operatorname{div} \sum_{P=O,W,G} x_{c,P} \xi_P \left(k_{rP} \left(\frac{\nabla p_P - \gamma_P \nabla D}{\mu_P} \right) \right) + q_c, \quad c = 1, \dots, n_c \\ p_O - p_G = P_{cOG}, \quad \text{Потенциал течения} \\ p_O - p_W = P_{cOW}, \quad \text{Поток компонента "c"} \\ S_W + S_O + S_G = 1 \quad \text{+ уравнение состояния} \\ \text{(связь объема компонента "c" в каждой} \\ \text{фазе с мольной долей)} \end{array} \right.$$

Границы условия:
Либо условие непротекания:
 $\left(\sum_{P=O,W,G} x_{c,P} \xi_P \left(k_{rP} \left(\frac{\nabla p_P - \gamma_P \nabla D}{\mu_P} \right) \right), \mathbf{n} \right) = 0, \quad c = 1, \dots, n_c$

Либо фиксированная величина давления
Либо смешанные условия
 $p_\alpha|_\Gamma = p_\alpha^0(\Gamma, t)$

Начальные условия:
Либо задано напрямую распределение
Либо рассчитано из гидростатического равновесия

$S_\phi = \frac{V_\phi}{\phi V}$ объемная доля фазы "φ"
 $V_{c,\phi}$ количество моль компонента "c" в фазе "φ"
 $x_{c,\phi} = \frac{V_{c,\phi}}{\sum_c V_{c,\phi}} = \frac{v_{c,\phi}}{V_\phi}$ мольная доля компонента "c" в фазе "φ" (концентрация)
 $N_c = \frac{v_c}{\phi V} = \sum_\phi x_{c,\phi} \xi_\phi S_\phi$ количество моль компонента "c" в единице порового объема

$\operatorname{div} \sum_{P=O,W,G} x_{c,P} \xi_P \left(k_{rP} \left(\frac{\nabla p_P - \gamma_P \nabla D}{\mu_P} \right) \right) = 0$
 $p_O - p_G = P_{cOG}$
 $p_O - p_W = P_{cOW}$
 $S_W + S_O + S_G = 1$

Здесь приведены уравнения, на которых основана гидродинамическая модель. Это система уравнений, которая включает в себя уравнение неразрывности сплошной среды (по сути это закон сохранения массы).

Если у нас есть какие-то тепловые методы (которые применяются на месторождении), то добавляются ещё уравнения сохранения энергии. Но как правило, это делают достаточно редко, поэтому можно сказать, что в большинстве моделей это не учитывается, а именно мы считаем процессы изотермическими, никакого теплового воздействия в пласте не происходит (всё зависит только от давления).

Также в систему уравнений входит уравнение состояния сплошной среды, которое описывает, как изменяются свойства пластика, свойства флюидов при изменении давления и температуры (если всё-таки есть тепловое воздействие).

Ещё в систему уравнений входит закон движения (фильтрации), то есть по сути различные модификации закона Дарси.

Плюс начальные и граничные условия. На слайде всё приведено в дифференциальном виде. Можно поразбираться. Более детально не стал рассказывать, это уже для тех, кому особо интересно есть отдельный курс (несколько часов рассказывается, как получаются эти уравнения, как их затем решать). Но что можно отсюда заметить? Это нелинейное дифференциальное уравнение в частных производных.

Математическая основа ГДМ

Уравнение фильтрации флюидов в поровом пространстве пласта – это нелинейное дифференциальное уравнение в частных производных. Методов решения таких уравнений в общем виде науке пока неизвестно.

При моделировании находится *приближенное решение* уравнений с помощью численных методов. Для этого используется дискретизация и аппроксимация:

- Пространство и время дискретизируются – разделяются на отрезки конечных размеров – ячейки и временные шаги
- Уравнения аппроксимируются – производные по времени заменяются конечными разностями, интеграл по объему ячейки заменяется на интеграл по поверхности ячеек

$$\int_V \operatorname{div} \vec{F} dV = \oint_S \vec{F} d\vec{S} \quad \rightarrow \quad \int_{V_i} \frac{\partial}{\partial t} (\phi N_c) = \sum_{P=1}^{n_p} \int_{\partial V_i} \left(x_{c,P} \xi_P \frac{k_{rP}}{\mu_P} (\nabla p + \nabla P_{cP} - \gamma p \nabla d), \mathbf{n} \right) ds + \int_{V_i} q_c dV, \quad c = 1, \dots, n_c$$



$$\frac{\partial}{\partial t} (\phi N_c) |_{V_i} = \sum_{P=1}^{n_p} \sum_{j: V_i \cap V_j \neq \emptyset} |V_i \cap V_j| x_{c,P}^{(i,j)} \xi_P^{(i,j)} k |_{V_i \cap V_j} \frac{k_{rP}^{(i,j)}}{\mu_P^{(i,j)}} \Phi_{i,j} + q_c$$

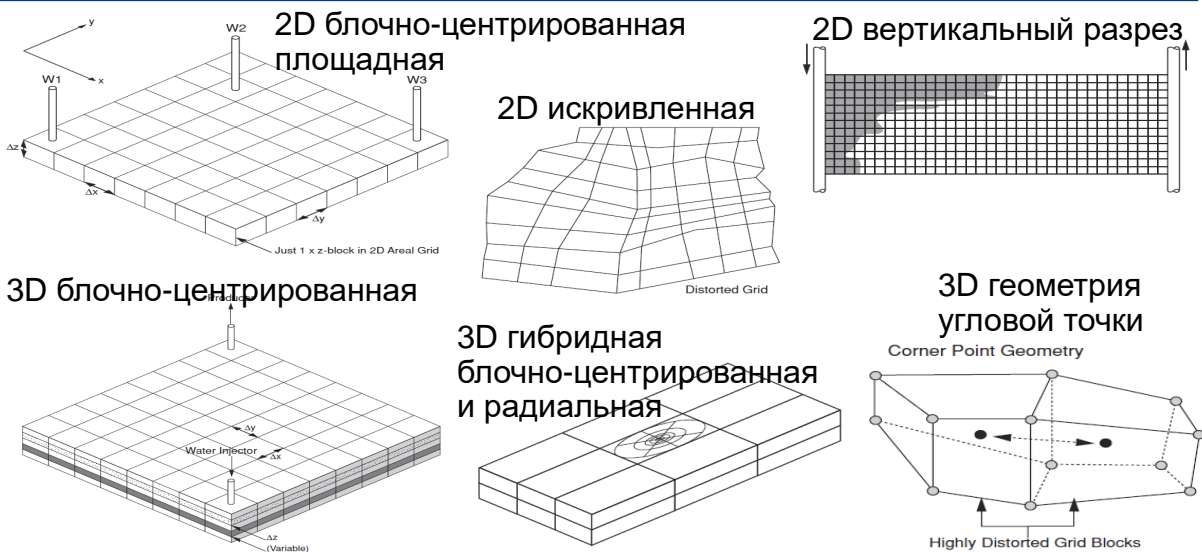
© ООО «Газпромнефть НТЦ», 2020 г. | 22

Как решать такие уравнения аналитически в общем виде, науке пока неизвестно. Такие уравнения встречаются не только в гидродинамике, но и во всей физике. Например, в теории относительности и гравитации есть уравнение Эйнштейна (тоже нелинейное дифференциальное уравнение в частных производных).

Но есть численные методы, которые позволяют нам решать такие уравнение приближённо. Мы разбиваем пространство и время на отрезки конечных размеров. То есть в пространстве это будут такие ячейки (кусочки пространства), а по времени – временные шаги. И мы говорим, что в одной этой ячейке на каждый определённый шаг по времени свойства имеют одно значение (т.е. пористость, проницаемость, насыщенность фиксированы). Но эти свойства могут меняться с каждым шагом по времени. Наступил следующий временной шаг и свойства могут изменяться в зависимости от потоков через грани ячеек. Тогда мы можем сказать, что в соответствии с этим упрощением мы можем уравнение аппроксимировать: производные по времени заменить конечными разностями, а интеграл по объёму ячейки заменить на интеграл по поверхности. Тогда у нас уравнения упрощаются, и получается система уже более простых уравнений, которую мы можем дальше решать. Тоже есть определённая последовательность действий: линеаризация этих уравнений, решение СЛАУ и так далее. Но сейчас детально рассматривать не будем. Отсюда нужно только понять, что мы разбиваем пространство и время на элементарные отрезки, за счёт этого уравнения у нас упрощаются, и мы можем их решать на компьютере численными методами. И получать за счёт этого приближённое решение.

2.10 Типы сеток ГДМ

Типы сеток ГДМ [5]



© ООО «Газпромнефть НТЦ», 2020 г. | 23

Как можно пространство разбить на ячейки?

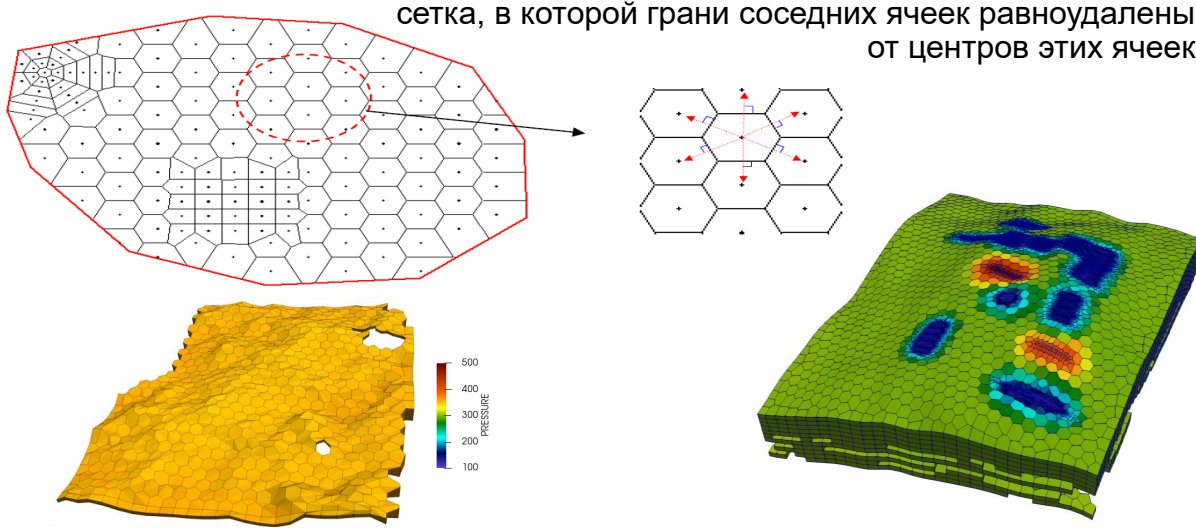
Самое простое: нарезать параллелепипеды, тогда получится блочно-центрированная сетка ячеек.

Но пласт у нас неровный. Осадконакопление происходит неравномерно, либо происходят какие-то тектонические процессы после осадконакопления и формирования пласта. Соответственно пласт какой-то изогнутый и с помощью блочно-центрированных ячеек эту изогнутость воспроизвести сложно, поэтому нужно придумать более гибкие ячейки, чтобы описать изгибы пласта под землёй.

Придумали сетки ячеек, которые называются геометрией угловой точки. Для их построения задаются направляющие линии, и на этих направляющих линиях задаются глубины точек, которые являются вершинами для ячеек и таким образом плоскости граней ячеек могут быть повернуты куда угодно, т.е. ячейки становятся более гибкими. На сегодняшний момент 3D геометрия угловой точки является самым популярным способом построения сетки для геологической/гидродинамической модели, чтобы описать строение пласта.

Типы сеток ГДМ

Сетка Вороного (Перпендикулярный Бисектор, PEBI) – локально ортогональная сетка, в которой грани соседних ячеек равноудалены от центров этих ячеек



© ООО «Газпромнефть НТЦ», 2020 г. | 24

Также есть так называемая сетка Вороного (или перпендикулярный бисектор). Это локально ортогональная сетка, в которой грани соседних ячеек равноудалены от центров этих ячеек. То есть если мы расставим точки центров ячеек и нарисуем грани этих ячеек так, чтобы они были равноудалены от этих точек центров, то получится как раз шестиугольники (подобные пчелиным сотам). Такая сетка позволяет более точно описать приток к скважине (далее тоже это посмотрим).

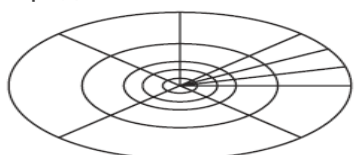
2.11 Типы сеток ГДМ. LGR

Типы сеток ГДМ. LGR

Локальное измельчение сетки

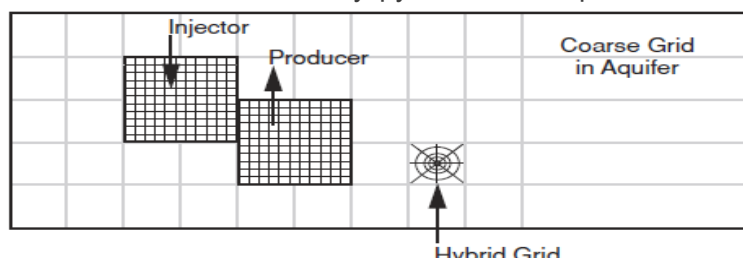
- Используется для более точного моделирования околоскважинных эффектов
- Значительно замедляет расчет

Локальное измельчение радиальной сетки



Рисунки взяты из [5]

Локальное измельчение, укрупнение и гибридная сетка



© ООО «Газпромнефть НТЦ», 2020 г. | 25

Сетку можно измельчать или укрупнять. Понятно, что если будем сетку измельчать, то их ко-

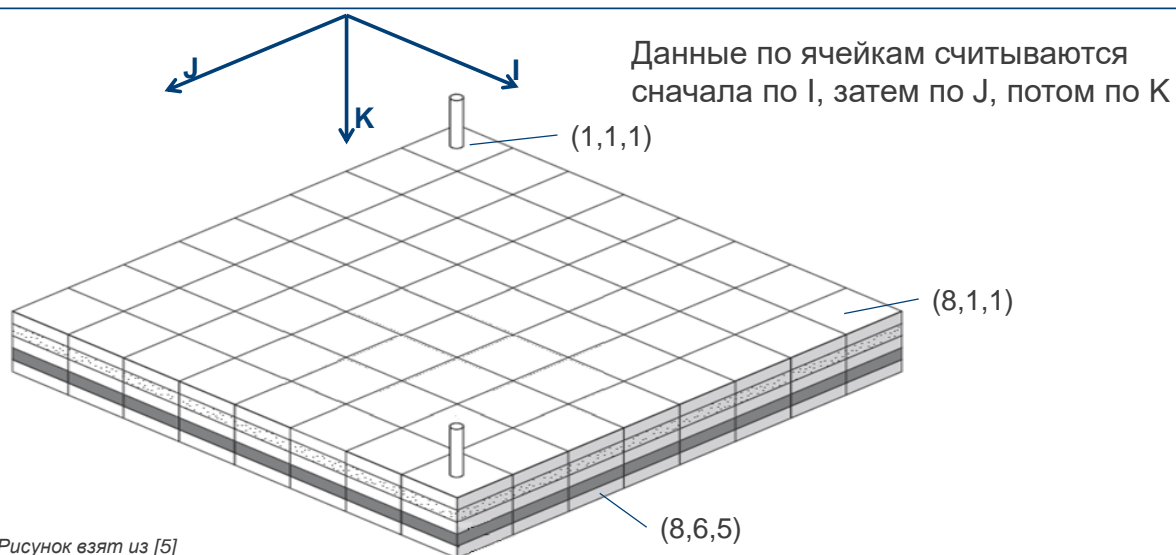
личество будет расти, для каждой из этих ячеек нам придётся решать уравнения фильтрации (как из одной ячейки в другую перетекает флюид), и это будет замедлять расчёт. Но с другой стороны можем более точно в какой-то области замоделировать течение флюидов.

Здесь (как всегда) приходится искать компромисс между точностью и скоростью. Если нужно какие-то эффекты точно воспроизвести в заданной области, то можем сетку локально изменить. Но также могут быть ячейки, потоки в которых нам особо неинтересны (например, в тех ячейках, где течёт в основном вода) – такие ячейки укрупняем (тем самым уменьшаем количество ячеек и сокращаем время расчёта).

Можем строить радиальную сетку, но на практике, честно говоря, ни разу не видел, чтобы кто-то пользовался. На радиальной сетке проводят в основном теоретические расчёты, но на практике она не используется.

2.12 Порядок нумерации ячеек сетки

Порядок нумерации ячеек сетки



© ООО «Газпромнефть НТЦ», 2020 г. | 26

Как происходит нумерация ячеек сетки?

Сначала изменяется координата по x , потом по y , потом по z . Начинаем с левого верхнего угла (ячейка с координатами $(1, 1, 1)$), следующие ячейки $(2, 1, 1), (3, 1, 1), (4, 1, 1)$ и так далее. Здесь 8 ячеек по x . Далее переходим ко второму ряду по y , начиная с ячейки $(1, 2, 1)$ переходим к $(2, 2, 1)$ и так далее. После всех рядов по y переходим на следующий слой по z .

Я это рассказываю, чтобы было понимание, в каком порядке номера ячеек меняются, чтобы можно было при визуализации найти какую-то ячейку, которая вам интересна. Например, если вы знаете, какую ячейку вскрывает скважина.

2.13 Структура файла исходных данных для симулятора ECLIPSE

Структура файла исх.данных для симулятора ECLIPSE

Файл *.DATA – файл с описанием параметров модели, необходимых для её запуска на расчет. Состоит из ключевых слов и соответствующих этим словам параметров

Секция	Содержание
RUNSPEC	Основные характеристики модели
GRID	Геометрия сетки и основные свойства породы
EDIT	Модификация данных геометрии сетки секции GRID (опциональная секция)
PROPS	PVT и SCAL свойства
REGIONS	Разделение месторождения на регионы
SOLUTION	Инициализация модели
SUMMARY	Запрос выходных данных (опциональная секция)
SCHEDULE	Данные по скважинам, заканчиваниям, наземному оборудованию, дебитам

© ООО «Газпромнефть НТЦ», 2020 г. | 27

В т-Навигаторе тоже поддерживается формат Eclipse. И в т-Навигаторе тожечитываются DATA-файлы, которые состоят из секций, в которые сгруппированы определённые ключевые слова, описывающие модель. По сути это чем-то похоже на программирование: есть некая команда, которая воспринимается программой симулятором, и дальше идут некие параметры выполнения этой команды.

RUNSPEC = спецификация запуска. Eclipse создавали ещё в 80-е годы на Фортране и в это время ещё не было достаточного количества оперативной памяти, следовательно, нужно было заранее определять, сколько памяти потребуется модели для расчёта. Поэтому в этой секции указывались основные характеристики: сколько в модели будет скважин, сколько моделируемых фаз, сколько разных PVT-таблиц. В общем, такие характеристики, чтобы под них забронировать оперативную память. Сейчас таких проблем с оперативной памятью уже нет, но исторически такая секция RUNSPEC осталась.

В секции PROPS задаются PVT-свойства флюидов и SCAL свойства (special core analysis in laboratory) взаимодействия этих флюидов с пластом. Для получения этих свойств проводится специальный анализ флюидов и керна в лаборатории.

Секция REGIONS используется, если нам нужно задать отдельные регионы, в каждом из которых свои свойства (например, свои свойства флюида). Когда это нужно? Например, у нас есть несколько пластов на месторождении, и в каждом из этих пластов свойства отличаются, соответственно, можем записать их как разные регионы и для каждого региона задавать свои свойства.

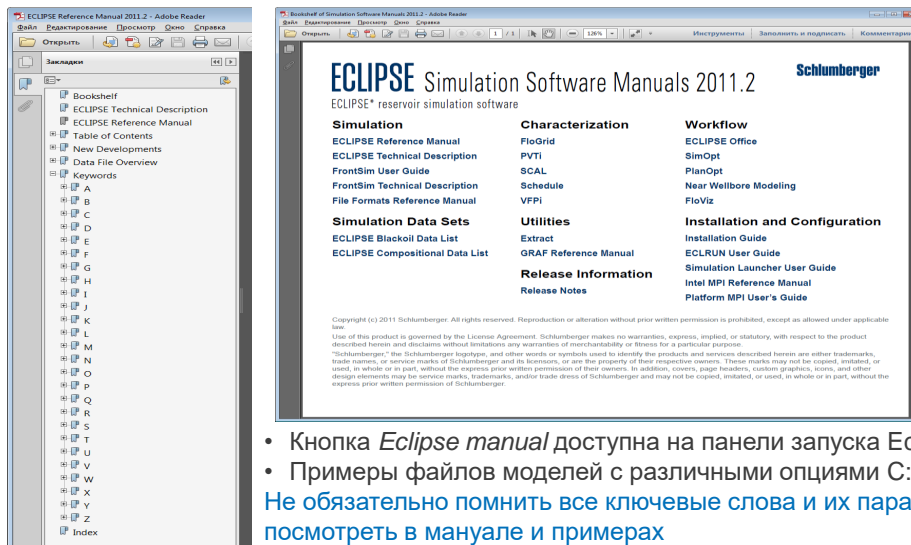
Секция SOLUTION описывает инициализацию модели, т.е. начальные условия (до того, как начался расчёт): какое начальное состояние по насыщенности и так далее.

В секцию SUMMARY записываются те графики, которые хотим посмотреть по результатам расчёта. Эта секция тоже относится к симулятору Eclipse, в т-Навигаторе эта секция необяза-

тельна (в нём настройка отображаемых графиков производится в самом интерфейсе программы – галочками отмечаются графики, которые требуется отобразить).

2.14 Справочники для симулятора ECLIPSE

Справочники для симулятора ECLIPSE



- Кнопка *Eclipse manual* доступна на панели запуска Eclipse
 - Примеры файлов моделей с различными опциями C:\ecl\2019.1\eclipse\data
- Не обязательно помнить все ключевые слова и их параметры, можно всё посмотреть в мануале и примерах**

© ООО «Газпромнефть НТЦ», 2020 г. | 28

Ключевые слова запоминать необязательно. И для Eclipse, и для т-Навигатора, и для других симуляторов есть справочники, которые поставляются вместе с программой. В этих справочниках есть технический мануал, в котором описаны уравнения, заложенные в расчёт, и есть мануал, который описывает сами ключевые слова (обычно сгруппированы по первым буквам). Следовательно, можем найти необходимое ключевое слово и посмотреть, какие параметры нужны для этого ключевого слова.

Также есть примеры файлов-моделей с различными опциями. Если хотим смоделировать какой-либо процесс (например, закачку полимера или водогазовое воздействие), то можем просто открыть папку с готовыми примерами (как правило, эта папка совпадает с корневой папкой, в которой лежит сам симулятор) и посмотреть, какие ключевые слова используются для моделирования этого процесса. Затем вернуться в мануал и просмотреть эти ключевые слова, чтобы понять, что необходимо задавать для моделирования этих опций и воздействий.

2.15 Задание свойств в ячейках

Задание свойств в ячейках

Для экономии вычислительных ресурсов расчет проводится только в **активных** ячейках.

Как задать:

ACTNUM – в активных ячейках 1, в неактивных – 0

NTG = 0 или **PORO** = 0 – неактивные ячейки

MINPV – устанавливает min поровый объем для активной ячейки

PINCH – устанавливает min толщину для активной ячейки

PINCHXY – устанавливает min размер по X и Y для активной ячейки

Правила задания свойств в ячейке:

- Свойства задаются для центра каждой ячейки
- Значения должны быть определены для всех ячеек
- Значения могут быть заданы явно перечислением (можно использовать n*a) или в виде функции (**OPERATE**)
- Можно рассчитать нужное свойство в калькуляторе, например, в Petrel, FloViz, FloGrid, tNavigator

*Здесь и далее ключевые слова формата Eclipse выделены **синим шрифтом**

© ООО «Газпромнефть НТЦ», 2020 г. | 29

Свойства должны быть заданы для каждой ячейки, чтобы симулятор знал, как производить расчёт. Как правило, эти значения присваиваются центру каждой ячейки; свойства можно задать явным перечислением и, если есть повторяющиеся значения, то их можно сгруппировать (т.е. записать, что свойство в *n* ячейках имеет значение *a*).

Значения свойств ещё могут быть заданы в виде функции (в Eclipse ключевое слово OPERATE, в т-Навигаторе ключевое слово ARITHMETIC).

Schlumberger раньше поставлял FloViz и FloGrid. Сейчас они устарели, и Schlumberger их не продаёт.

Для того, чтобы сэкономить ресурсы, расчёт производится только в активных ячейках. Активными считаются ячейки, в которых фактически происходит поток флюида. То есть в ячейках с глинами (неколлекторами), где нет никаких потоков флюида, нет необходимости проводить какие-либо расчёты. Соответственно, можем просто их исключить из расчёта (по-умолчанию неактивны ячейки с нулевыми пористостью (PORO) или песчанистостью (NTG, отношение количества эффективных толщин к общим толщинам)).

Также есть ключевое слово ACTNUM, которое непосредственно задаёт активные и неактивные ячейки. Т.е. мы или геолог с помощью этого ключевого слова можем самостоятельно отметить ячейки с коллектором (песчаником) или неколлектором (глинами).

Задание свойств в ячейках

Примеры задания свойств

PERMX

0.1 2.0 4.5 1.7 13.2 / *перечисление*

PERMX

20*0.5 10*1.3 / *группировка одинаковых подряд идущих значений*

EQUALS

PERMX 0.4 / *значение для всех ячеек*

PERMX 12.3 1 10 1 7 3 3 / *значение для перечисленного диапазона ячеек*

COPY

PERMX PERMY / *копирование массива значений PERMX в массив PERMY*

PERMX PERMZ /

/

MULTIPLY

PERMZ 0.1 / *умножение всех значений массива на заданное число*

/

© ООО «Газпромнефть НТЦ», 2020 г. | 30

На этом слайде показаны примеры задания свойств в ячейках непосредственно по ячейкам, с группировкой ячеек, с помощью ключевого слова EQUALS, с помощью копирования COPY, а также с помощью арифметических операций (в Eclipse ключевое слово MULTIPLY, в т-Навигаторе можем использовать ключевое слово ARITHMETIC).

Задание свойств в ячейках

Примеры задания свойств

BOX

1 10 1 7 1 1 / *диапазон ячеек, для которых будет задано свойство*

PERMX

10*0.1 20*1.5 10*5.7 30*6.3 /

ENDBOX

Большие массивы данных обычно выносят в отдельный файл, который в основном data-файле подключается ключевым словом **INCLUDE**:

INCLUDE

Poro.inc / *подключение файла, лежащего в той же папке*

INCLUDE

'D:\TEMP\Testmodel\Inc\GRID.inc' / *полный путь к подключаемому файлу*

© ООО «Газпромнефть НТЦ», 2020 г. | 31

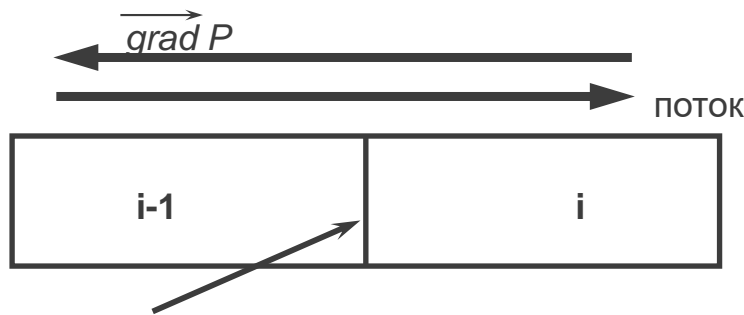
На этом слайде показаны примеры задания свойств в ячейках с помощью ключевого слова BOX. На слайде приведены примеры использования ключевого слова INCLUDE. Файлы с большими массивами данных (кубами свойств) хранятся отдельно и подключаются к основному файлу с помощью ключевого слова INCLUDE.

2.16 Поток через ячейку

Поток через ячейку

Поток через ячейку сетки определяется

- Разницей давления (градиентом давления) между ячейками сетки
- Проводимостью (легкостью перетока флюидов) на границе между двумя ячейками сетки



© ООО «Газпромнефть НТЦ», 2020 г. | 32

Как рассчитывается поток через ячейку? Поток определяется градиентом давления между ячейками и проводимостью (т.е. насколько легко будет течь флюид через границу). Направление градиента и направление потока противоположны. Градиент показывает направление возрастания какой-либо величины.

Поток через ячейку [6]

По умолчанию для блочно-центрированной геометрии

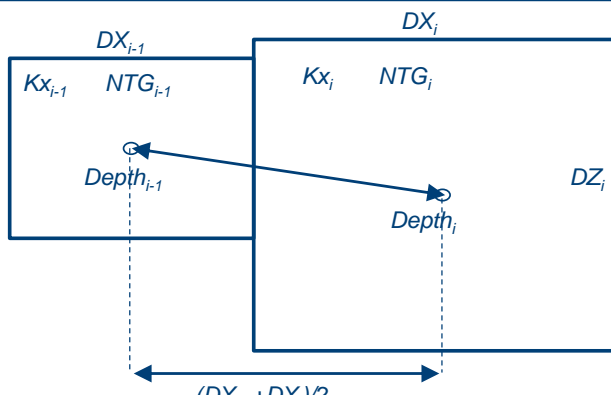
(OLDTRAN)

$$T_x = \frac{c \cdot \text{MULTX} \cdot A \cdot \text{DIPC}}{B}$$

$$A = \frac{DX_{i-1}DY_iDZ_iNTG_i + DX_iDY_{i-1}DZ_{i-1}NTG_{i-1}}{(DX_i + DY_{i-1})}$$

$$B = \frac{\left(\frac{DX_{i-1}}{Kx_{i-1}} + \frac{DX_i}{Kx_i}\right)}{2}$$

$$DIPC = \frac{\left(\frac{DX_{i-1} + DX_i}{2}\right)^2}{\left(\frac{DX_{i-1} + DX_i}{2}\right)^2 + (Depth_{i-1} - Depth_i)^2}$$



Ту и Tz вычисляются одинаково, но в формуле для Z не используются множители NTG и DIPC

© ООО «Газпромнефть НТЦ», 2020 г. | 33

Как считается проводимость? На этом слайде показана формула расчёта проводимости для блочно-центрированной ячейки. В эту формулу включаются песчанистость, размеры ячеек, проницаемость, разница глубин. Дополнительно есть множитель MULTX (множитель проводимости). Для чего нужен этот множитель? Посмотрим дальше.

Поток через ячейку [6]

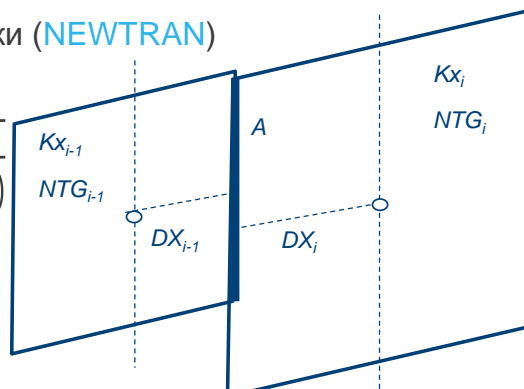
По умолчанию для геометрии угловой точки (**NEWTRAN**)

$$T_x = \frac{c \cdot \text{MULTX}_i}{\frac{1}{Kx_{i-1} \cdot NTG_{i-1} \cdot \left(\frac{A \cdot D_{i-1}}{D_{i-1} \cdot D_{i-1}} \right)} + \frac{1}{Kx_i \cdot NTG_i \cdot \left(\frac{A \cdot D_i}{D_i \cdot D_i} \right)}}$$

$$c = 0.008527$$

$$(A \cdot D_i) = A_X \cdot DX_i + A_Y \cdot DY_i + A_Z \cdot DZ_i$$

$$(D_i \cdot D_i) = DX_i^2 + DY_i^2 + DZ_i^2$$



Ту и T_z вычисляются одинаково, но в формуле для Z не используется множитель NTG

© ООО «Газпромнефть НТЦ», 2020 г. | 34

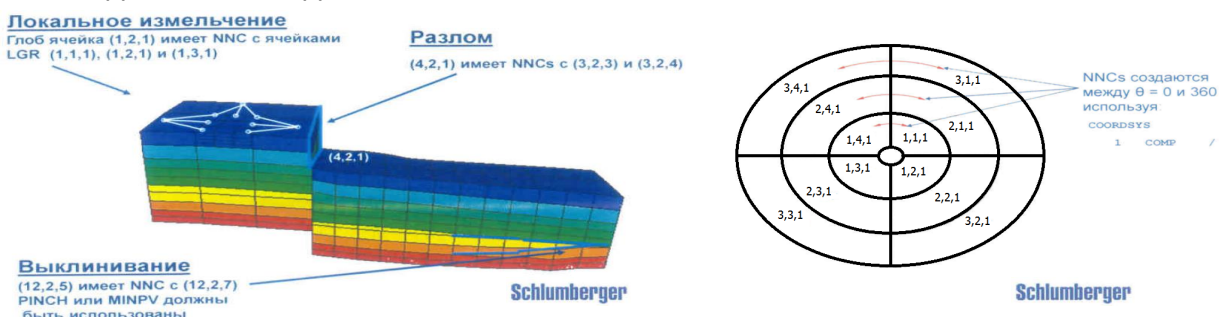
Для геометрии угловой точки используется чуть более сложная формула. Запоминать эти формулы не нужно; они даны для информации: какие параметры влияют на поток через грани ячеек (а именно свойства самих ячеек и площадь граней, через которые происходит переток).

2.17 Несоседние соединения NNC

Несоседние соединения NNC

NNC разрешает переток между ячейками с несоседними IJK индексами:

- Разломы
- Выклинивание и поверхности выветривания (**PINCH, MINPV**)
- Модели двойной пористости/проницаемости
- Водоносные горизонты (**AQUNNC**)
- Радиальные модели



© ООО «Газпромнефть НТЦ», 2020 г. | 35

Как правило переток происходит между ячейками, у которых индексы отличаются на единицу, но есть ряд случаев, когда необходимо, чтобы переток был между ячейками, у которых индексы отличаются больше чем на единицу. Например, разлом со смещением, т.е. часть пласта у нас в результате тектонической активности сместились относительно другой части пласта. Для

таких случаев симулятор создаёт так называемые несоседние соединения NNC (грубо говоря, прописывает взаимосвязи ячеек). На самом деле об этом можно и не задумываться, так как такие соединения создаются в автоматическом режиме, но просто полезно для информации, что такое бывает.

В ячейках с радиальной геометрией идёт нумерация по часовой стрелке (вторая координата меняется по часовой стрелке), поэтому получается, что первая и последняя ячейки граничат друг с другом, но при этом их индексы отличаются больше чем на единицу (соответственно симулятор будет себе отмечать, что переток между этими ячейками должен быть).

То же самое для водоносных горизонтов. Если они подключаются к каким-то неактивным ячейкам, то можно сделать так, чтобы были несоседние соединения, чтобы переток с водоносных горизонтов осуществлялся в модель.

Выклинивание: если какие-либо ячейки исключаются (из-за ключевых слов PINCH или MINPV), то, чтобы не создавать искусственный барьер, возникает (симулятор автоматически прописывает) несоседнее соединение между ячейками, примыкающими к исключённой ячейке.

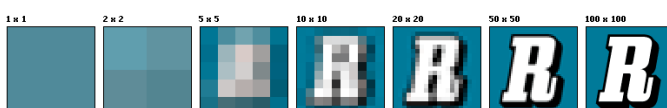
2.18 Проблемы пространственной дискретизации

Проблемы пространственной дискретизации

В результате дискретизации пространства и времени возникает численная ошибка, называемая

- Численная дисперсия

Чем больше размер ячеек (меньше количество ячеек), тем менее точно решение



Чтобы уменьшить численную дисперсию:

- Мельче сетка, больше ячеек
- Использовать псевдо-ОФП (полученные в результате 2-х фазного апскелинга)

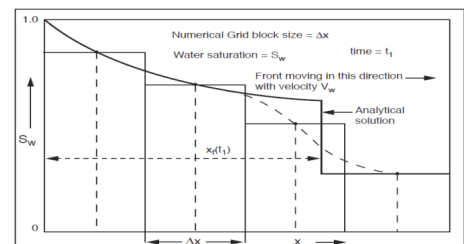


Рисунок взят из [5]

© ООО «Газпромнефть НТЦ», 2020 г. | 36

За то, что мы прибегли к упрощению (а именно, воспользовались дискретным представлением пространства и времени), нам приходится платить точностью расчёта. Из-за дискретизации пространства и времени возникает численная ошибка, которая называется численная дисперсия. Она говорит о том, что, чем более грубые ячейки (чем более грубо мы разрезали месторождение на ячейки), тем менее точно будет описан процесс фильтрации.

Представим себе аналогию с разрешением картинки: если у нас есть картинка с разрешением 100 на 100 пикселей, то она чёткая; если же мы делаем меньше пикселей, то картинка становится размазанной/размытой; и при определённом загрузлении мы уже не можем понять, что изображено на картинке. То же самое и в модели. В каждой ячейке задаётся набор свойств. Ес-

ли мы сделаем слишком грубую сетку, то представления о распределении свойств под землёй будут искажены, и соответственно мы будем получать искажённое решение.

Как и везде в итоге необходимо искать баланс: и достаточно быстро, и достаточно точно. Но бывает и не быстро, и не точно.

Помимо измельчения сетки есть ещё способ уменьшить численную дисперсию, а именно включить эту численную дисперсию в ОФП (получить при этом так называемую псевдо-ОФП), т.е. учесть что поток идёт более плавно по этим грубым ячейкам. Про это расскажу более подробно чуть позже, когда будем рассматривать ОФП.

Проблемы пространственной дискретизации

При несовпадении основных направлений фильтрации в пласте с направлением сетки ячеек возникает численная ошибка, называемая

- Эффект ориентации сетки

Чем меньше ячеек нужно пройти флюиду, тем быстрее прорвётся вода, будет меньше добыча нефти

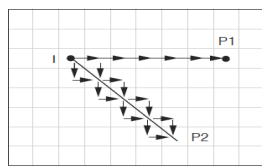
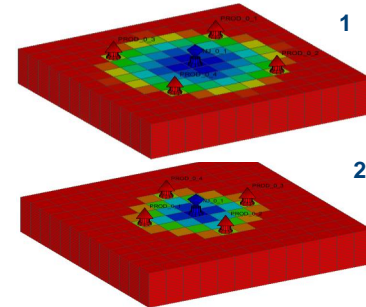


Рисунок взят из [5]



© ООО «Газпромнефть НТЦ», 2020 г. | 37

Ещё один численный эффект, возникающий при дискретизации, это эффект ориентации сетки. Он заключается в том, что время прихода флюида из одной точки в другую зависит от того, сколько ему нужно пройти ячеек.

Видим, что в случае, когда добывающие скважины расположены по диагонали ячеек сетки, вода к ним приходит позже. Это такой чисто численный эффект, который нужно как-то исключить.

Проблемы пространственной дискретизации

Чтобы уменьшить эффект ориентации сетки:

- Мельче сетка
- Использовать альтернативные численные схемы (в частности в 2Д использовать при расчетах 9-точечную схему)
- Использовать сетку Вороного (PEBI)
- Линии тока

Чем больше разница подвижностей, тем сильнее эффект ориентации сетки

© ООО «Газпромнефть НТЦ», 2020 г. | 38

Для уменьшения/исключения эффекта ориентации сетки можно измельчить сетку, использовать альтернативные численные схемы (которые учитывают взаимодействие ячеек по диагонали; естественно эти вычислительные схемы усложняют расчёт и требуют дополнительных вычислительных ресурсов), можно использовать сетку Вороного (позволяет более точно смоделировать приток к скважине, т.е. уменьшить эффект ориентации сетки) или линии тока (но линии тока являются неким упрощением, когда мы решаем для насыщенности одномерную задачу; про линии тока поговорим ещё дальше по курсу).

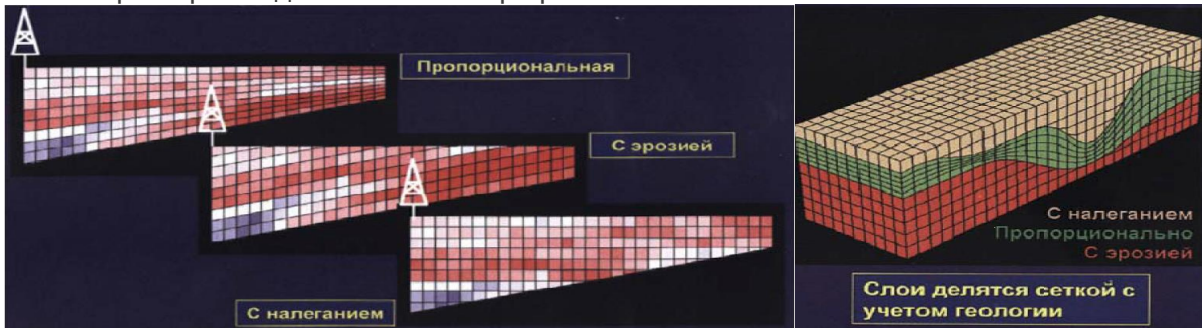
Для ячеек Вороного (PEBI) тоже есть сложности с решением систем уравнений, ведь у PEBI самих граней, через которые течёт поток, больше (у прямоугольной ячейки 6 граней, у ячейки Вороного 8 граней), соответственно, и сами матрицы систем уравнений становятся сложнее для решения. Углубляться не будем.

Вообще рекомендация такая: желательно ориентировать сетку ячеек по направлению основных потоков, которые в пласте происходят. Эти потоки могут быть связаны как с сеткой скважин, так и с региональными стрессами (какими-либо разломами, трещиноватостями). Всё равно есть преимущественные направления фильтрации, и сетку желательно ориентировать так, чтобы она была в направлении этих потоков (в направлении фильтрации).

2.19 Построение грида

Построение грида

Учет характера осадконакопления при разбиении на слои



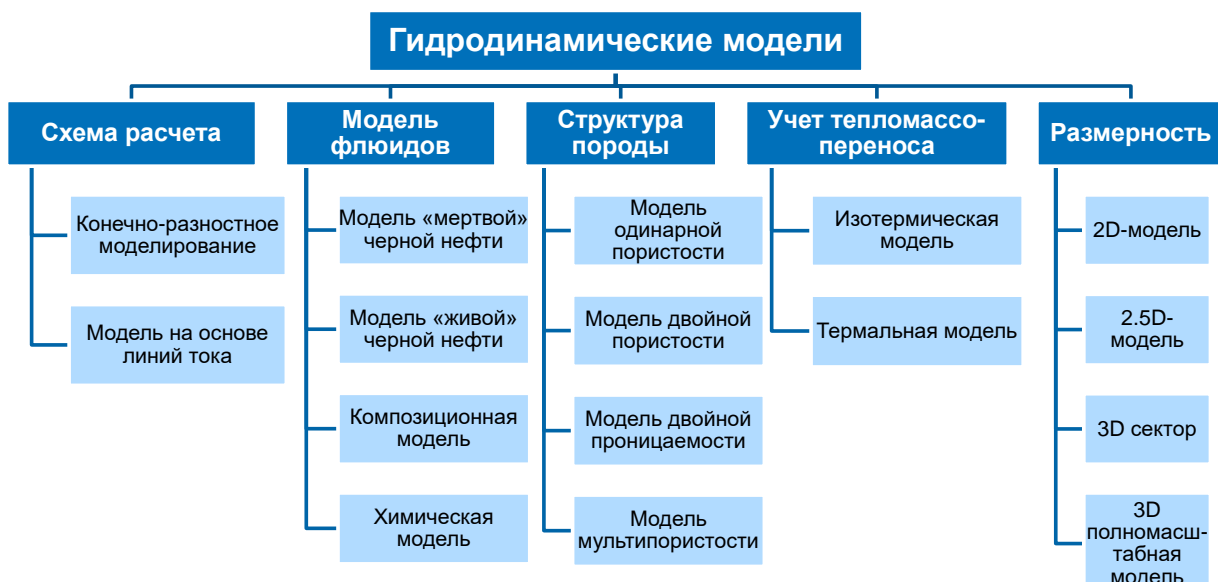
- налекание - при постепенном увеличении площади осадконакопления (например, заполнение выветренных прогибов фундамента),
- эрозия срез части накопленных осадков, например часть бара «сдувается» при понижении уровня моря
- пропорционально - любое осадконакопление без особенностей (мощности разные из-за разной степени уплотнения пород)

Стратиграфическая сетка оказывает существенное влияние на динамику движения флюидов в пласте, поэтому важно задавать её правильно

Рисунки Olivier Dubrule

© ООО «Газпромнефть НТЦ», 2020 г. | 39

2.20 Гидродинамические модели (схема)



© ООО «Газпромнефть НТЦ», 2020 г. | 40

2.21 Типы расчётных моделей

2.21.1 Модель нелетучей нефти

Типы расчетных моделей. Модель нелетучей нефти

- Только три фазы: вода, нефть и газ
- Свойства фаз зависят только от давления. Процессы изотермические

Пластовые процессы, моделируемые при помощи модели нелетучей нефти:

- Извлечение на режиме истощения
- Заводнение при наличии сил вязкости/ капиллярных /гравитационных сил (вторичные методы)
- Нагнетание несмешивающегося газа
- Некоторые 3х-фазные процессы, например, попарменное нагнетание (WAG) несмешивающихся флюидов
- Химическое заводнение (полимеры, щелочи, ПАВ, ASP)

© ООО «Газпромнефть НТЦ», 2020 г. | 41

2.21.2 Композиционная модель

Типы расчетных моделей. Композиционная модель

- Три фазы: вода, нефть и газ
- Нефть и газ задаются покомпонентно ($C_1, C_2, C_3\dots$)
- Уравнения рассчитываются для каждой компоненты

Пластовые процессы, которые можно смоделировать при помощи композиционной модели:

- Нагнетание газа с увеличением подвижности нефти (смешивающиеся вытеснение)
- Моделирование нагнетания газа в пласт, близкий к давлению насыщения
- Рециркуляция газа в конденсатных месторождениях

© ООО «Газпромнефть НТЦ», 2020 г. | 42

2.21.3 Термические модели

Типы расчетных моделей. Термические модели

- Четыре фазы: вода, нефть, газ, твердая фаза
- Свойства фаз зависят от давления и температуры

Пластовые процессы, моделируемые при помощи термических моделей:

- Закачка пара, ПТОС
- Закачка горячей жидкости или газа
- Внутрискважинные нагреватели
- Внутрипластовое горение

© ООО «Газпромнефть НТЦ», 2020 г. | 43

2.21.4 Модель двойной или мульти-среды

Типы расчетных моделей. Модели двойной/мульти- среды

- Применяются для моделирования трещиноватых и кавернозных коллекторов (карбонаты, доломиты и т.п.)
- Могут использоваться со всеми перечисленными выше типами моделей (Black Oil, композиционная, термическая)

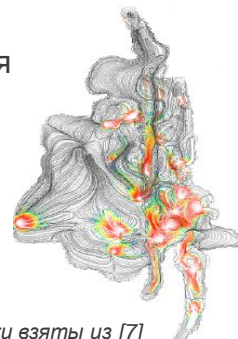
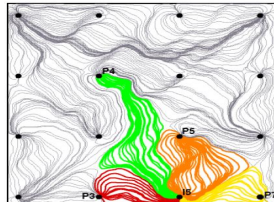
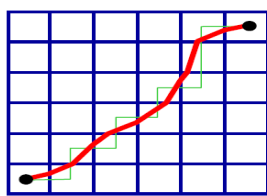
Выделяют следующие подтипы:

- Модель двойной пористости (запасы в матрице, фильтрация только по трещинам)
- Модель двойной проницаемости (фильтрация и по трещинам и по матрице)
- Модель мультипористости (трещинно-каверно-поровые коллектора, сланцевый газ, метан угольных пластов)

© ООО «Газпромнефть НТЦ», 2020 г. | 44

2.21.5 Модели линий тока

- Вместо решения конечно-разностных уравнений на 3D гриде, решаются 1D транспортные задачи вдоль линий тока
- Эффективное решение транспортных задач влечёт за собой возможность расчёта на многоячееких гридах, увеличение скорости расчёта
- Появляется возможность визуализации линий тока и новая полезная информация о взаимодействии скважин



Рисунки взяты из [7]

© ООО «Газпромнефть НТЦ», 2020 г. | 45

2.21.6 Proxy-модели

Типы расчетных моделей. Proxy-модели

Упрощенная модель фильтрации с автоматическим подбором коэффициентов уравнения пьезопроводности (NGT SMART)

Особенности proxy-модели в NGT SMART:

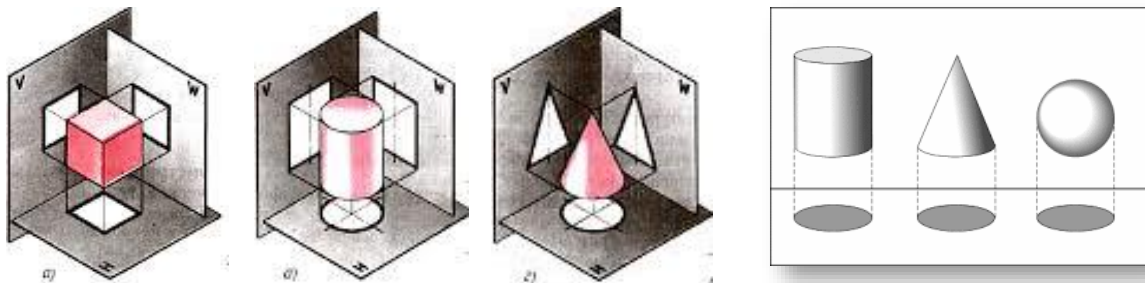
- Пласт плоский
- 2-мерная модель течения
- Объект разработки – 1 слой
- Пористость = const
- Проницаемость – автоматически подбираемый параметр
- Карты начальной нефтенасыщенности и начального давления всегда задаются явным образом
- Нет процедуры гидростатического выравнивания
- Ограниченные возможности регулирования параметров аквифера
- PVT-свойства не зависят от изменения давления
- Нет учета капиллярных сил
- Концевые точки – средние по объекту

© ООО «Газпромнефть НТЦ», 2020 г. | 46

Типы расчетных моделей. Proxy-модели

Proxy-модели применимы не для всех типов залежей. В случаях, когда необходим учет 3-хмерных эффектов, использовать 2D-proxy не рекомендуется:

- Подгазовые залежи
- Залежи с подстилающей водой с активным водоносным горизонтом
- Высокая неоднородность по разрезу
- Многопластовые залежи с неизвестным распределением добычи по пластам



© ООО «Газпромнефть НТЦ», 2020 г. | 47

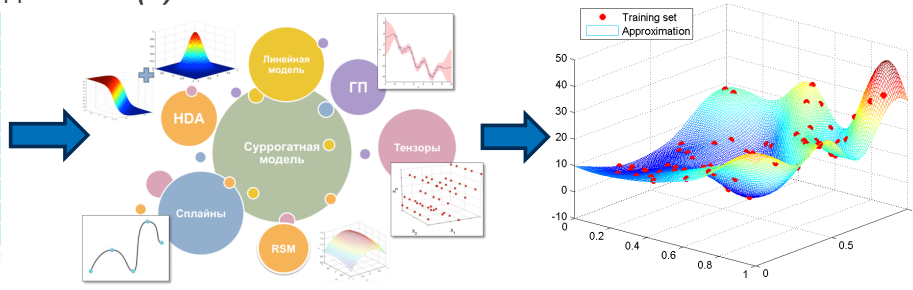
2.21.7 Суррогатные (мета) модели

Типы расчетных моделей. Суррогатные (мета) модели

Что такое суррогатная модель?

- Математическая модель $Y \approx f(X)$

Параметры		Хар-ки
X_1	X_2	Y
0.31875	2.4053	0.76667
0.97487	1.1275	1.09917
0.27726	6.1395	1.70222
0.16531	6.0143	0.99423
0.65117	0.9327	0.60738
0.37336	2.7847	1.0397
0.13154	9.0061	1.1847
0.78076	4.5013	3.51446



Основные составляющие суррогатного моделирования:

- Построение аппроксимации (суррогатной модели)
- Планирование эксперимента (design of experiments)
- Снижение размерности (dimension reduction)
- Консолидация разноточных данных (data fusion)
- Оптимизация (в том числе суррогатная)

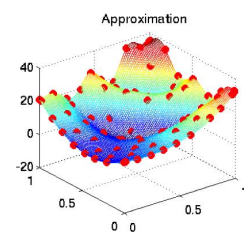
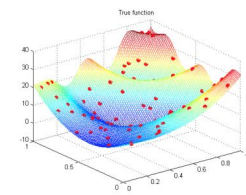
По материалам Skoltech

© ООО «Газпромнефть НТЦ», 2020 г. | 48

Типы расчетных моделей. Суррогатные (мета) модели

Основные шаги создания суррогатной модели:

1. Инициализация: вычислительные эксперименты с исходной физ. моделью $f(\mathbf{X})$ в точках $\{\mathbf{X}_i\}$ \Rightarrow начальная выборка $S_{init} = \{\mathbf{X}_i, Y_i = f(\mathbf{X}_i)\}$
2. Построение по S_{init} функции $f_{Surr}(\mathbf{X})$: $f(\mathbf{X}) \approx f_{Surr}(\mathbf{X}), \quad \mathbf{X} \in U$
3. Поиск $\mathbf{X}_{new} \in U$ (планирование эксперимента) и вычисление с исходной моделью f в точке $\mathbf{X}_{new} \Rightarrow$ добавление в данные новой точки $(\mathbf{X}_{new}, f(\mathbf{X}_{new}))$
4. Построение новой суррогатной модели $f_{Surr}(\mathbf{X})$ и анализ точности
5. Итеративный переход к Шагам 2 – 4.
6. Критерий завершения работы: по точности/времени



По материалам Skoltech

© ООО «Газпромнефть НТЦ», 2020 г. | 49

Типы расчетных моделей. Суррогатные (мета) модели

Использование суррогатного моделирования:

- ✓ исследование физической модели в области изменения параметров проектирования, «what-if analysis»
- ✓ анализ чувствительности (sensitivity analysis)
- ✓ оптимизация: получение приемлемого решения или решения, улучшающего первоначальные характеристики объекта

Проведение от сотен до миллионов вычислительных экспериментов → невозможно использовать модели, основанные «на первых принципах»



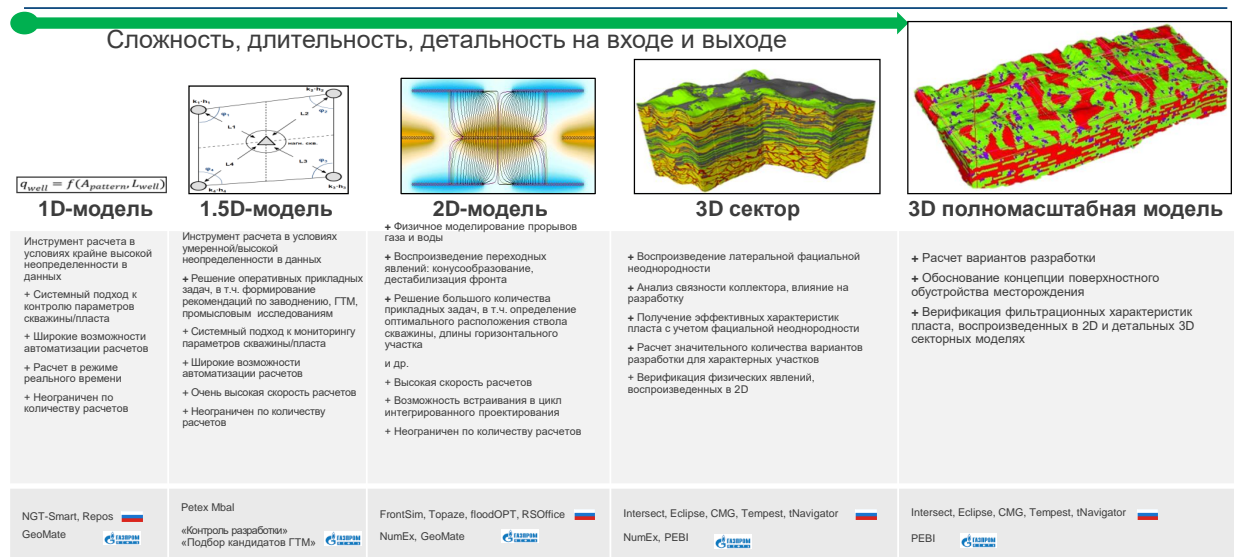
**Требуются «быстрые» модели, аппроксимирующие исходные модели
(суррогатные модели)**

По материалам Skoltech

© ООО «Газпромнефть НТЦ», 2020 г. | 50

2.22 Иерархия гидродинамических моделей

Иерархия гидродинамических моделей



© ООО «Газпромнефть НТЦ», 2020 г. | 51

2.23 Местоположение моделирования в цикле нефтедобычи

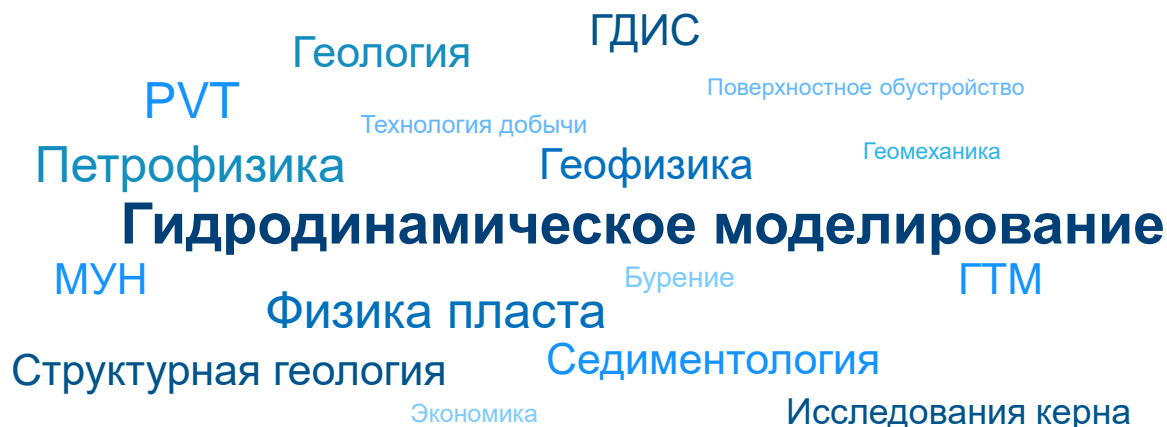
Местоположение моделирования в цикле нефтедобычи

Групповая дискуссия:

- Какие данные (конкретно, из какой области, масштаб и приборы) необходимы для создания модели месторождения?

© ООО «Газпромнефть НТЦ», 2020 г. | 52

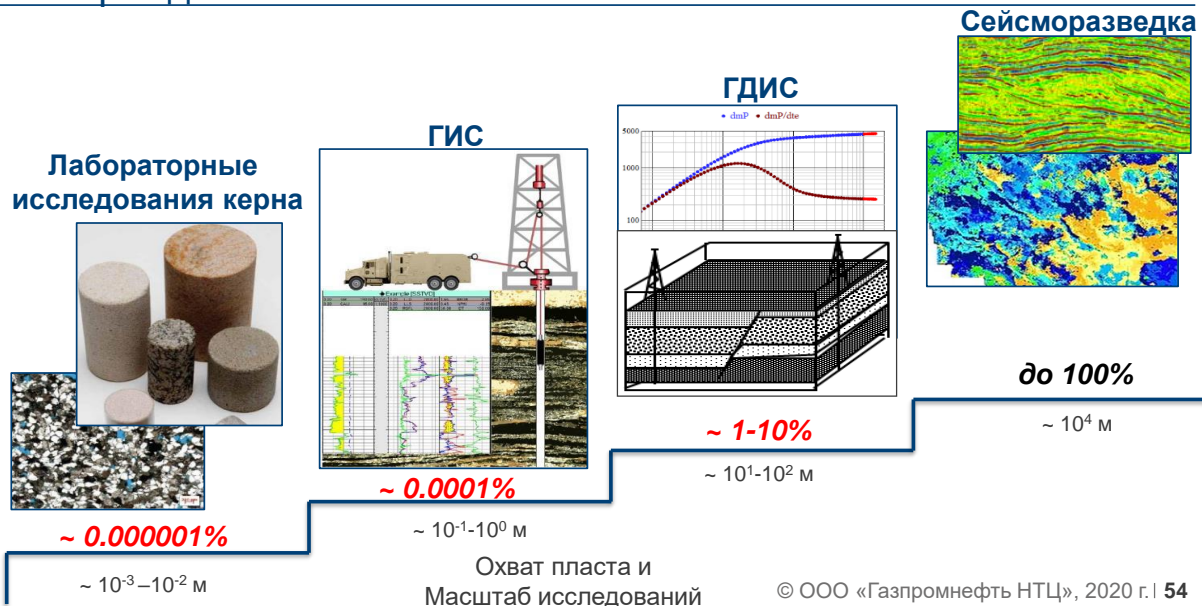
Местоположение моделирования в цикле нефтедобычи



© ООО «Газпромнефть НТЦ», 2020 г. | 53

2.24 Источники геологической информации в масштабах месторождения

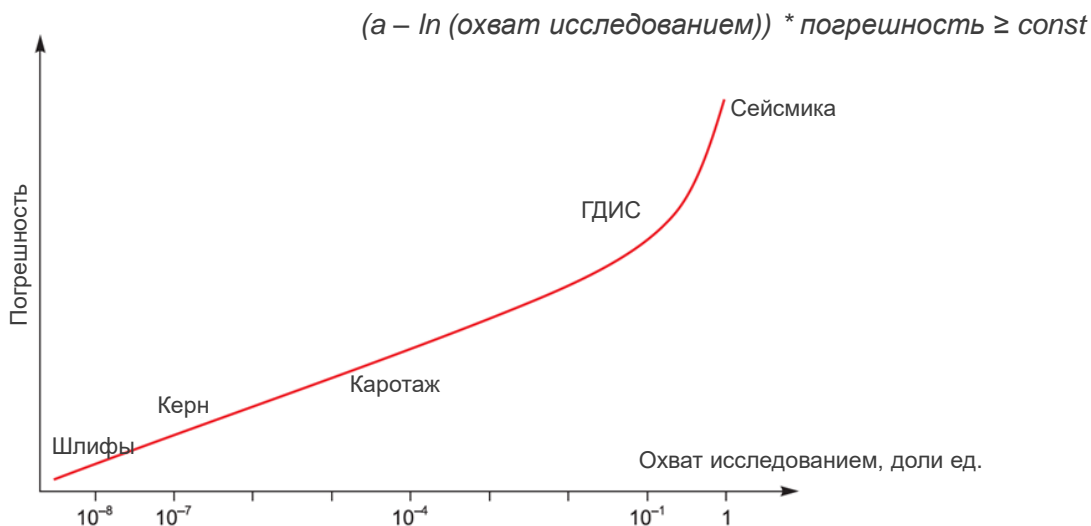
Источники геологической информации в масштабах месторождения



© ООО «Газпромнефть НТЦ», 2020 г. | 54

2.25 Охват исследованием и погрешность

Охват исследованием и погрешность [13]



© ООО «Газпромнефть НТЦ», 2020 г. | 55

2.26 Исходные данные для гидродинамического моделирования

Исходные данные для гидродинамического моделирования

Данные	Источник	Кл. слова в Eclipse
Сетка модели (геометрия), разломы	Геомодель	SPECGRID, GRIDUNIT, COORDSYS, COORD, ZCORN, FAULTS
Пористость	Геомодель	PORO
Проницаемость	Геомодель	PERMX, PERMY, PERMZ, PERMR, PERMTHT
Песчанистость	Геомодель	NTG
Насыщенность	Геомодель	SWAT, SOIL, SGAS, SWATINIT
ОФП, капиллярное давление	Анализ керна	SWOF, SGOF, SWFN, SGFN
Остаточные насыщенности	Анализ керна	SWCR, SWL, SWU, SOWCR, SGCR, SGL, SGU, SOGCR, SGWCR, SWGCR
Концевые точки ОФП	Анализ керна	KRW, KRWR, KRO, KRORW, KRG, KRORG
PVT-свойства флюидов	PVT-исследования	DENSITY, PVTW, PVCDO, PVDO, PVTO, PVCO, PVDG, PVTG, PVZG, RS, RV, PBUB, PDEW
Сжимаемость породы	Анализ керна	ROCK, ROCKTAB
Глубина флюидоконтакта	Опробования, РИГИС, первичная эксплуатация скважин, ГДИС, градиент давления	EQUIL
Начальное пластовое давление	ГДИС, градиент-зонд, манометр	EQUIL, PRESSURE, PRVD
Координаты и траектории скважин	Геомодель	WELSPECS, COMPDAT
Перфорации скважин	Отчеты по КРС	COMPDAT
Данные эксплуатации скважин	МЭР, ГДИС, отчеты по КРС и ГТМ	DATES, TSTEP, WCONHIST, WCONPROD, WCONINJH, WCONINJE

© ООО «Газпромнефть НТЦ», 2020 г. | 56

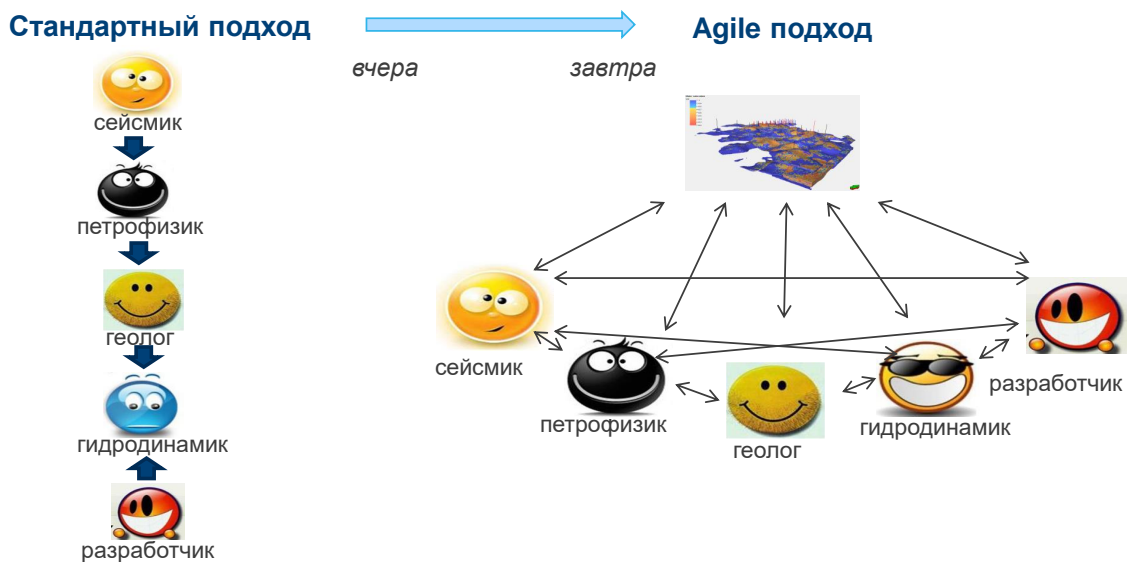
Исходные данные для гидродинамического моделирования

Из РД 153-39.0-047-00 по моделированию: «Исходные материалы нередко содержат недостоверную информацию. Занесение такой информации, настройка по ней фильтрационной модели или проверка правильности геологической модели недопустимы. Следовательно, поэтому до начала построения модели объекта необходимо тщательно выверить промысловую информацию, используя непосредственно «шахматки» промысла (если они сохранились). Анализ разработки и входных данных по скважинам является ответственным этапом создания модели пластовой системы»

© ООО «Газпромнефть НТЦ», 2020 г. | 58

2.27 Подходы к построению ПДГГДМ

Подходы к построению ПДГГДМ



© ООО «Газпромнефть НТЦ», 2020 г. | 57

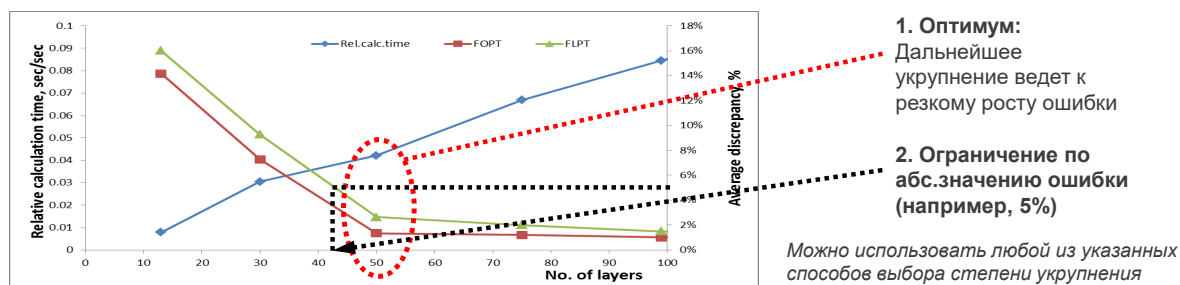
2.28 Ремасштабирование геомодели

Ремасштабирование геомодели

- При гидродинамическом моделировании возникает проблема расчета с большим числом ячеек (большое время расчета)
- В связи с этим требуется уменьшить детальность модели, загрузить её, с сохранением основных особенностей многофазных течений

Можно выделить два основных этапа:

- Upgridding - Ремасштабирование сетки (изменение размеров и кол-ва ячеек)
- Upscaling - Ремасштабирование свойств (осреднение свойств на укрупненную сетку)



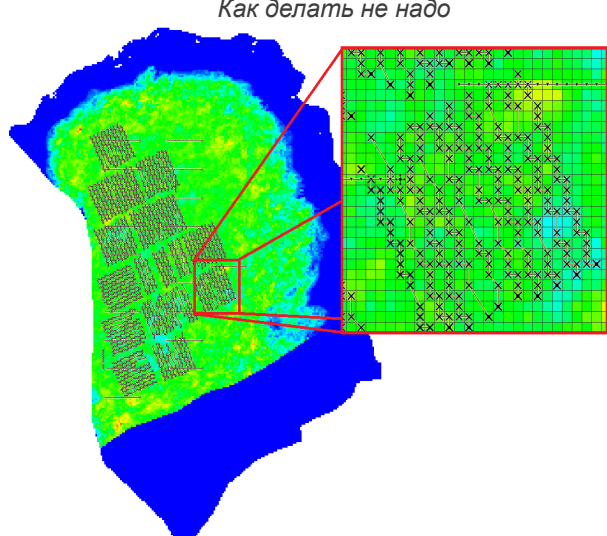
© ООО «Газпромнефть НТЦ», 2020 г. | 59

2.29 Ремасштабирование структуры (upgridding)

Ремасштабирование структуры (Upgridding)

Укрупнение по латерали

- Согласно РД 153-39.0-047-00 и Методике Компании М-01.05.25-02 рекомендуется чтобы между скважинами, работающими на один объект было не менее 3-5 ячеек, оптимально 10
- С другой стороны, в условиях ограниченного количества данных не стоит стремиться к излишней детализации (точности не добавится, а время расчета увеличится)

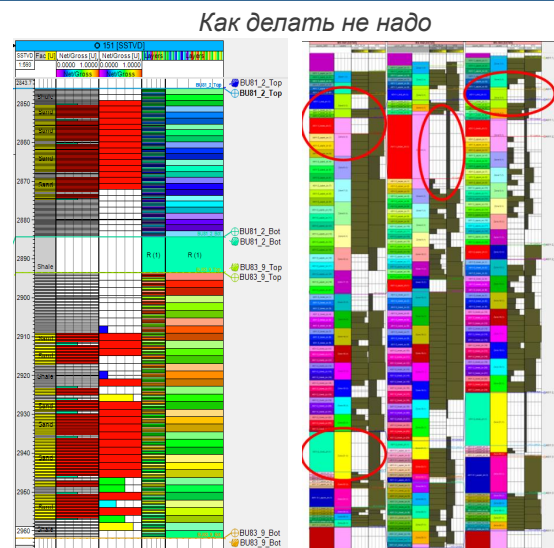


© ООО «Газпромнефть НТЦ», 2020 г. | 60

Ремасштабирование структуры (Upgridding)

Укрупнение по вертикали (по разрезу)

- Выбор степени укрупнения по вертикали определяется необходимостью сохранения вертикальной неоднородности и расчлененности
- Важно!** Контролировать сохранение непроницаемых границ между несвязанными пропластками
- Важно!** Сохранять способ нарезки слоев в ремасштабированной модели
- Важно!** Сохранять протяженные глинистые перемычки



© ООО «Газпромнефть НТЦ», 2020 г. | 61

2.30 Ремасштабирование свойств

Ремасштабирование свойств

Песчанистость рассчитывается путем взвешивания по геометрическому объему ячеек.

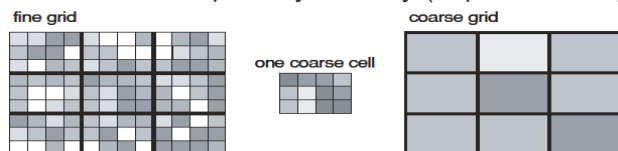
$$NTG = \frac{\sum V_i^{geom} \cdot Lit_i}{\sum V_i^{geom}}$$

Пористость получается осреднением путем взвешивания по эффективному объему (песчанистость*геом.объем), причем пористость в неколлекторах считается параметром неопределенным (т.е. осреднение происходит только в пределах коллекторов). Находится поровый объем как произведение эффективного объема и пористости

$$\varphi = \frac{\sum V_i^{eff} \varphi_i}{\sum V_i^{eff}}$$

Насыщенность определяется осреднением путем взвешивания по поровому объему (пористость*эфф.объем)

$$S_o = \frac{\sum V_i^{por} S_{oi}}{\sum V_i^{por}}$$



Рисунки взяты из [5]

© ООО «Газпромнефть НТЦ», 2020 г. | 62

2.31 Ремасштабирование проницаемости

Ремасштабирование проницаемости

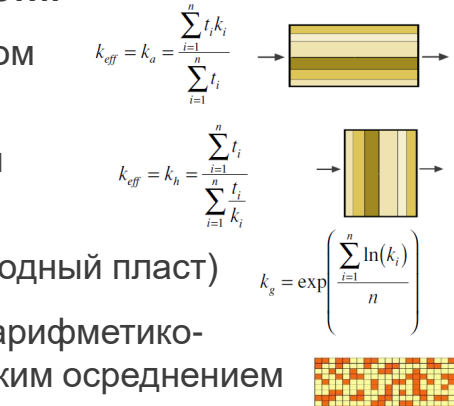
Методы ремасштабирования проницаемости:

- Арифметическое среднее (поток в основном параллельно напластованию)

$$k_{eff} = k_a = \frac{\sum_{i=1}^n t_i k_i}{\sum_{i=1}^n t_i}$$
- Гармоническое среднее (поток в основном перпендикулярно напластованию)

$$k_{eff} = k_h = \frac{\sum_{i=1}^n t_i}{\sum_{i=1}^n \frac{t_i}{k_i}}$$
- Среднее геометрическое (сильно неоднородный пласт)

$$k_g = \exp\left(\frac{\sum_{i=1}^n \ln(k_i)}{n}\right)$$
- Среднеарифметическое значение между арифметико-гармоническим и гармонико-арифметическим осреднением
- Осреднение на основе решения уравнений однофазной или многофазной фильтрации

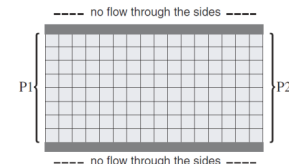


© ООО «Газпромнефть НТЦ», 2020 г. | 63

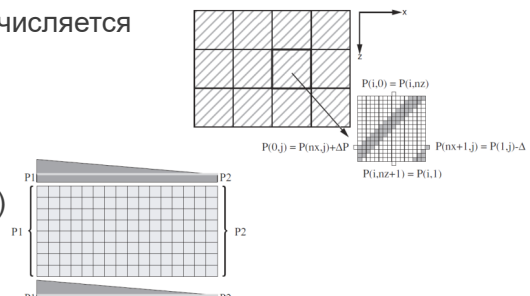
Ремасштабирование проницаемости (Flow-based)

- Отсутствие перетока через границы (горизонтальная слоистость или случайное распределение). Последовательный расчет K_x , K_y , K_z по закону Дарси

$$Q = \frac{k_{eff,x} A (P_1 - P_2)}{\mu L}$$



- Периодические границы (косая слоистость). Вычисляется полный тензор проницаемости
- Линейное изменение давления на границах (горизонтальная слоистость, применяют для K_z)



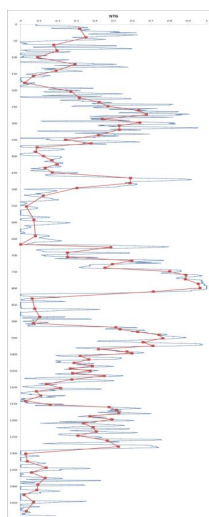
© ООО «Газпромнефть НТЦ», 2020 г. | 64

k_{eff}

2.32 Ремасштабирование геомодели. Контроль качества

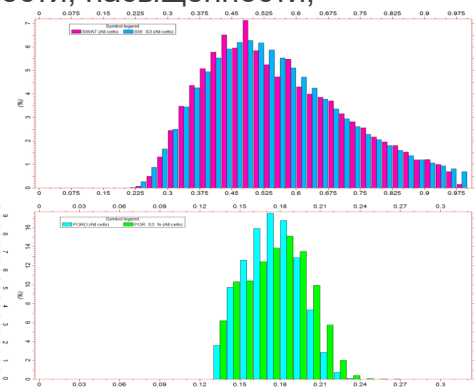
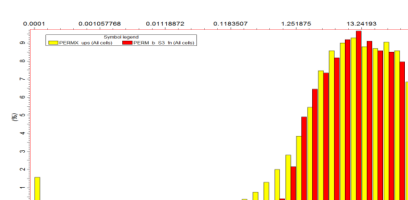
Ремасштабирование геомодели. Контроль качества

ГСР песчанистости



Для контроля качества ремасштабирования проводится сопоставление:

- ГСР песчанистости
- Гистограмм и карт пористости, насыщенности, проницаемости
- Начальных запасов УВ
- Эфф.нефтенасыщенных толщин



© ООО «Газпромнефть НТЦ», 2020 г. | 65

2.33 Поверхностное натяжение

Поверхностное натяжение

- Различие в массе и расстоянии между молекулами разных веществ обуславливает дисбаланс сил на границе раздела веществ, что приводит к поверхностному натяжению
- Поверхностное натяжение деформирует внешнюю границу несмешивающихся жидкостей, приводя к образованию капель
- Если две несмешивающиеся жидкости находятся на поверхности твердого тела, то поверхностное натяжение приводит к образованию характерного угла смачиваемости



Рисунок взят из [5]

© ООО «Газпромнефть НТЦ», 2020 г. | 66

Далее необходимо рассмотреть, каким образом флюиды взаимодействуют друг с другом и с пластом в ходе фильтрации. Это взаимодействие в основном связано с поверхностным натяжением. Считаем, что химического взаимодействия в пласте не происходит.

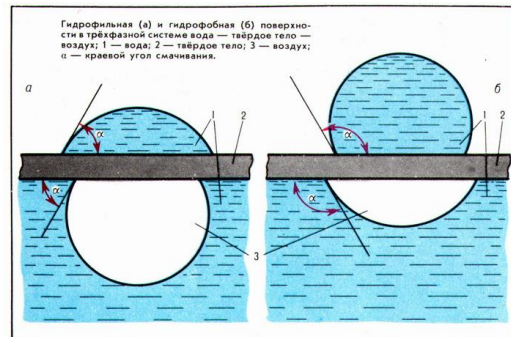
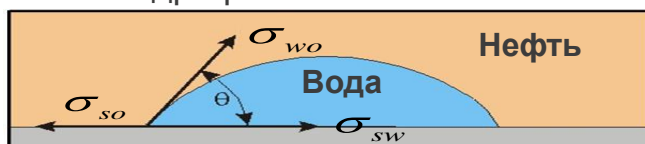
2.34 Смачиваемость

Смачиваемость

Смачиваемость – это стремление одного флюида распространяться по твердой поверхности или прилипать к ней в присутствии других несмешивающихся флюидов

Породы бывают:

- гидрофильные
- с промежуточными условиями смачиваемости
- гидрофобные



$$\cos \theta = (\sigma_{so} - \sigma_{sw}) / \sigma_{wo}$$

По определению, угол смачивания θ измеряется в сторону жидкой фазы, имеющей большую плотность, и изменяется от 0 до 180 градусов

© ООО «Газпромнефть НТЦ», 2020 г. | 67

2.35 Капиллярное давление

Капиллярное давление

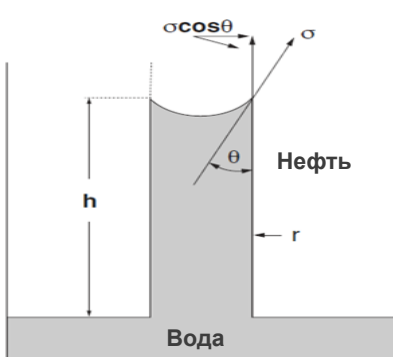
Капиллярное давление – разница между давлениями несмачивающей и смачивающей фаз на границе их раздела

Сила, действующая вверх

$$F_{up} = 2\pi \cdot r \cdot \sigma_{wo} \cdot \cos \theta$$

Сила, действующая вниз

$$F_{down} = (\rho_w gh - \rho_o gh) \pi r^2$$



$$P_c = \frac{2\pi r \cdot \sigma_{wo} \cdot \cos \theta}{\pi r^2} = \frac{(\rho_w gh - \rho_o gh) \pi r^2}{\pi r^2}$$

$$P_c = \frac{2\sigma_{wo} \cdot \cos \theta}{r} = (\rho_w - \rho_o) gh$$

Рисунок взят из [5]

© ООО «Газпромнефть НТЦ», 2020 г. | 68

Чем больше радиус капилляра, тем меньше капиллярное давление и на меньшую высоту поднимется вода от уровня равновесия (зеркала свободной воды).

Для одного и того же капиллярного давления: чем больше разница плотностей, тем на меньшую высоту флюид поднимется в капилляре. Поэтому переходная зона между нефтью и водой значительно больше, чем переходная зона между нефтью и газом. На самом деле, переходную зону между нефтью и газом моделируют очень редко: обычно просто задают газонефтяной контакт

(ГНК) в пределах одной ячейки.

Нелинейная фильтрация связана с вязкостью жидкости и капиллярными эффектами (запирающий градиент / давление сдвига). Подумать об этом и почитать подробнее про нелинейную фильтрацию!

Капиллярное давление

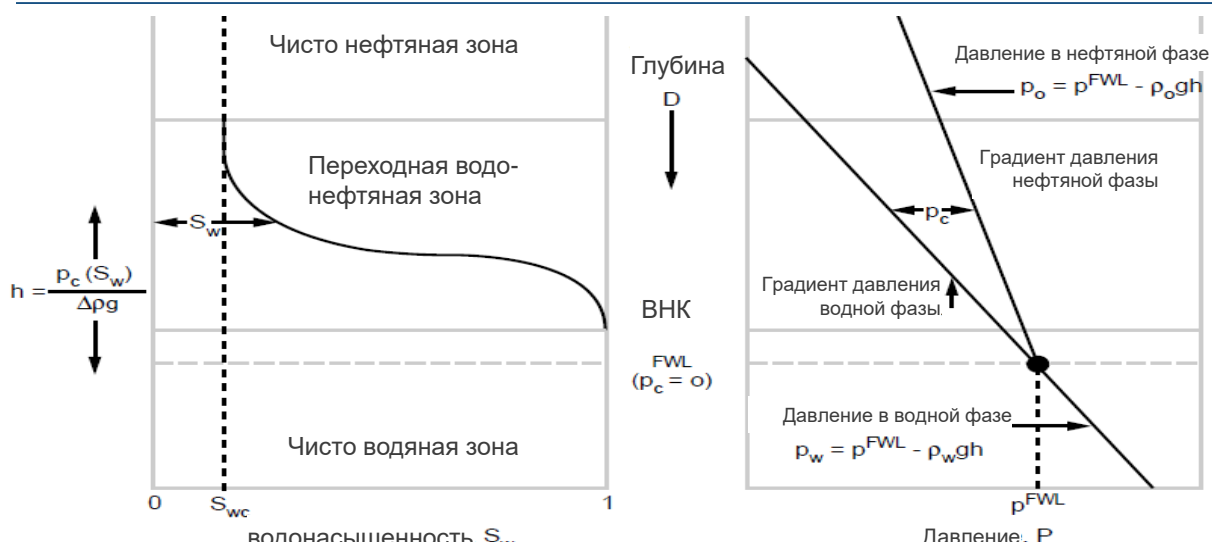


Рисунок взят из [5]

© ООО «Газпромнефть НТЦ», 2020 г. | 69

Зеркало свободной воды = капиллярное давление равно нулю. От этого уровня считается высота подъёма воды по капиллярам.

Определение ВНК (водонефтяного контакта) не так однозначно (есть несколько разных определений).

Капиллярное давление

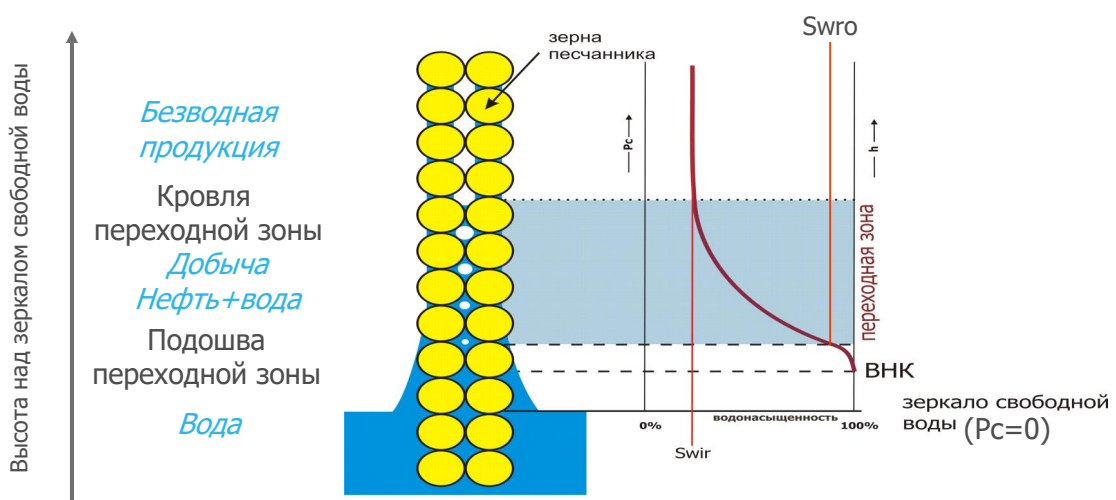


Рисунок взят из [5]

70

© ООО «Газпромнефть НТЦ», 2020 г. | 70

Капиллярное давление

Давление вытеснения – капиллярное давление, при котором непрерывная нить смачивающей фазы соединяет самые крупные поры породы

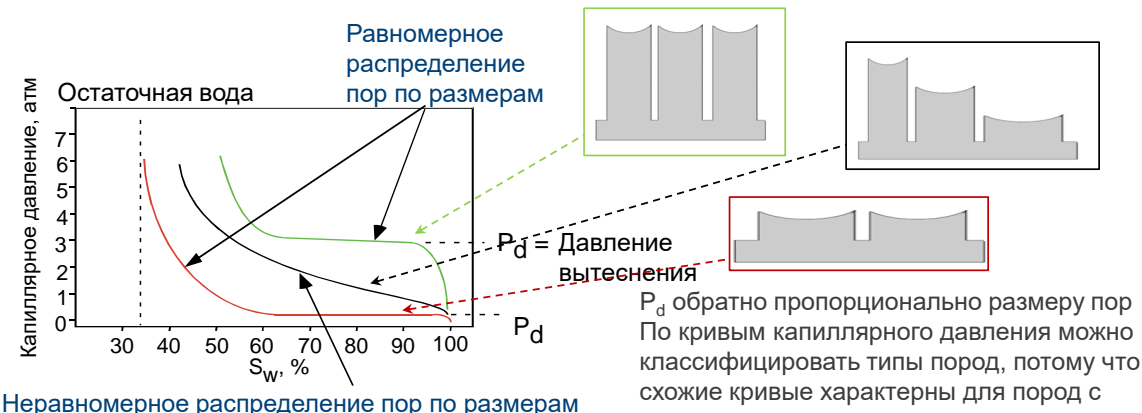


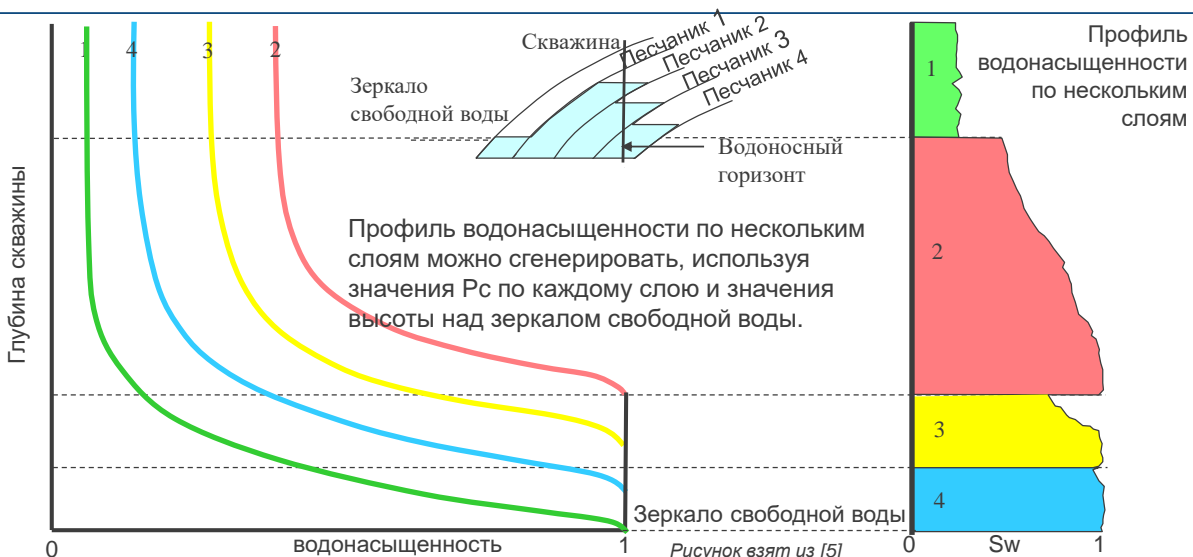
Рисунок взят из [5]

© ООО «Газпромнефть НТЦ», 2020 г. | 71

По виду капиллярной кривой можно судить об однородности коллектора и о размере пор.
Для узких пор полка (практически постоянное значение на графике) по капиллярному давлению находится выше, чем для широких пор.
Для неоднородного коллектора нет полки по капиллярному давлению (плавный переход).

2.36 Капиллярное давление для разных типов породы

Капиллярное давление для разных типов породы



© ООО «Газпромнефть НТЦ», 2020 г. | 72

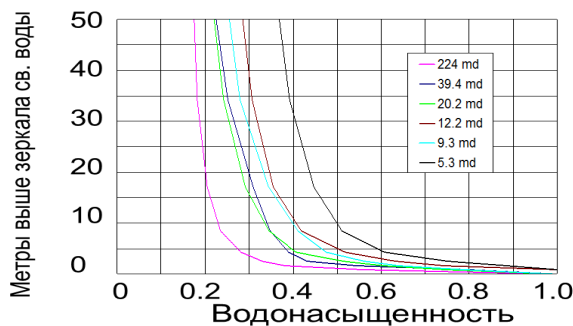
Во втором песчанике самый худший коллектор (самые узкие поры).

2.37 J-функция Леверетта

J-функция Леверетта

J-функция – это средство нормализации значений Рс по образцам с различными значениями пористости и проницаемости

$$J(S_w) = U_c \frac{P_c(S_w) \cdot \sqrt{\frac{k}{\varphi}}}{\sigma \cos \theta}$$



P_c - Капиллярное давление

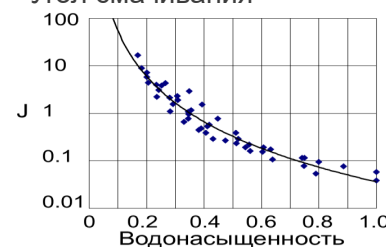
k - Проницаемость

φ - Пористость

σ - Поверхностное натяжение

U_c - Константа для системы единиц

θ - Угол смачивания



© ООО «Газпромнефть НТЦ», 2020 г. | 73

$\sqrt{\frac{k}{\varphi}}$ характеризует извилистость поровых каналов.

Рассчитываем значения J-функции, и далее строим график, подобный представленному справа: отмечаем подсчитанные точки и аппроксимируем их некой зависимостью (которую в дальнейшем будем использовать в расчётах ГДМ).

На графике могут получиться не одно облако точек, а два или три (если есть несколько пластов с разными характеристиками или разные блоки на месторождении, в каждом из которых получился свой тип коллектора вследствие разных геологических процессов). Тогда будет несколько аппроксимирующих кривых, которые можно использовать отдельно для каждого рассматриваемого блока или пласта соответственно.

2.38 Капиллярное давление. Лабораторные исследования

Капиллярное давление. Лабораторные исследования

$$P_{c,res} = \frac{\sigma_{res} \cos \theta_{res}}{\sigma_{lab} \cos \theta_{lab}} \cdot P_{c,lab}$$

Для системы ртуть-воздух: $\sigma_{lab} = 480$ дин/см, $\theta_{lab} = 140$ градусов

Для системы вода-воздух: $\sigma_{lab} = 72$ дин/см, $\theta_{lab} = 0$ градусов

Для системы углеводород-пластовая вода:

- Поверхностное натяжение σ , должно быть скорректировано с учетом пластовой температуры
- Изменением поверхностного натяжения с изменением давления мы пренебрегаем
- Значение поверхностного натяжения в пластовых условиях σ_{res} может быть замерено, или взято из опубликованной литературы (Schowalter, 1979)

Система	Конт. угол θ	Пов. натяж. σ
Лаборатория		
Воздух-вода	0	72
Нефть-вода	30	48
Воздух-ртуть	140	480
Воздух-нефть	0	24
Коллектор		
Вода-нефть	30	48
Вода-газ	0	50

© ООО «Газпромнефть НТЦ», 2020 г. | 74

Иногда проводятся керновые лабораторные исследования не с пластовыми флюидами. Например, с ртутью и воздухом. И полученные данные пытаются применить для пласта. Но в наше время так делают только самые отсталые лаборатории. Сейчас стараются извлекать флюид, имеющийся на месторождении, и использовать его в экспериментах с керном. Если же исследование уже проведено в системе ртуть-воздух, то придётся их пересчитать в систему нефть-вода по формуле, представленной на слайде. При этом понадобятся значения, представленные в таблице.

2.39 ОФП

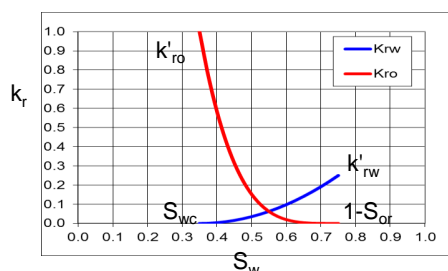
ОФП

$$k_{\text{eff}} = k_{\text{abs}} \cdot k_r$$

|

Абсолютная проницаемость

Взаимодействие фаз и породы влияет на поток флюидов, проходящих через породу



Течение только нефти
10 см³/мин



1.5 см³/мин нефти + 0.5 см³/мин воды

© ООО «Газпромнефть НТЦ», 2020 г. | 75

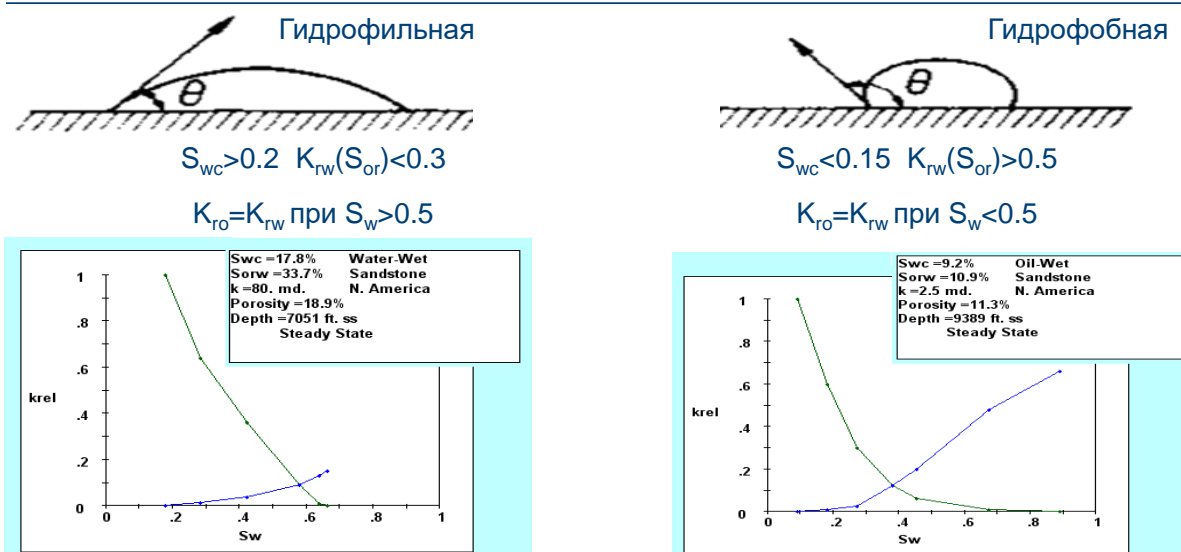
Поверхностное натяжение кроме капиллярного давления приводит ещё к взаимному сопротивлению фильтрации нескольких флюидов.

Относительная фазовая проницаемость (ОФП) флюида 1 в присутствии флюида 2 – это некий множитель (зависящий от насыщенности флюида 1) перед абсолютной проницаемостью, который позволяет найти эффективную проницаемость флюида 1 в присутствии флюида 2.

В рассматриваемой на слайде ситуации (50% воды и 50 % нефти) из графиков зависимости ОФП от водонасыщенности видим, что эффективная проницаемость воды будет составлять 5% от абсолютной проницаемости, а эффективная проницаемость нефти будет составлять 15% от абсолютной проницаемости.

2.40 Смачиваемость. Критерий Craig (1971)

Смачиваемость. Критерий Craig (1971)



© ООО «Газпромнефть НТЦ», 2020 г. | 76

По виду кривых ОФП можем сделать вывод о гидрофобности или гидрофильности рассматриваемой породы.

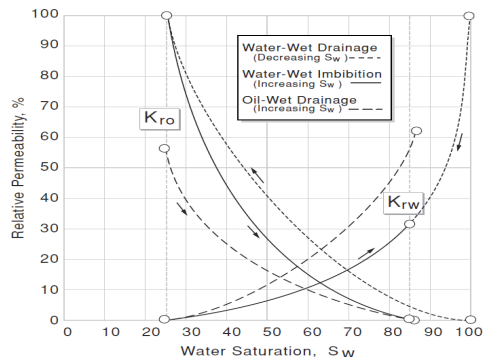
Для гидрофильной породы вода прилипает к стенкам поры. Следовательно, связанная водонасыщенность будет достаточно большой (как правило, больше 20%) и максимальная ОФП по воде будет иметь небольшое значение (как правило меньше 0.3). Кривая ОФП по воде прижата к оси абсцисс: точка пересечения кривых ОФП будет правее 50% по насыщенности.

Для гидрофобной породы наоборот: нефть прилипает к порам, а вода нет. Следовательно, кривая ОФП по нефти более прижата, а по воде более поднята. Связанная водонасыщенность меньше 15%, максимальная ОФП по воде больше 50%. Точка пересечения кривых ОФП будет левее 50%.

2.41 Гистерезис ОФП

Гистерезис ОФП

При вытеснении в разных направлениях ОФП будут различаться – гистерезис ОФП



Дренаж – процесс вытеснения смачивающей фазы несмачивающей (насыщенность смачивающей фазы уменьшается)

Пропитка – процесс вытеснения несмачивающей фазы смачивающей (насыщенность смачивающей фазой увеличивается)

Нужно ли задавать в ГДМ?

Нужно, если есть смена направлений фильтрации:

- Циклическая закачка
- Обширная переходная водо-нефтяная зона

Ключевые слова:

SATNUM, IMBNUM – номера регионов ОФП дренажа и пропитки

SATOPTS – опция 'HYSTER' указывает на использование гистерезиса ОФП в модели

EHYSTR – параметры гистерезиса ОФП и Рс

HYSTCHCK – доп.проверка согласованности концевых точек

Рисунок взят из [5]

© ООО «Газпромнефть НТЦ», 2020 г. | 77

В школьном курсе физики изучали гистерезис для упругих свойств (сжатие-растяжение) при преодолении определённого значения напряжения.

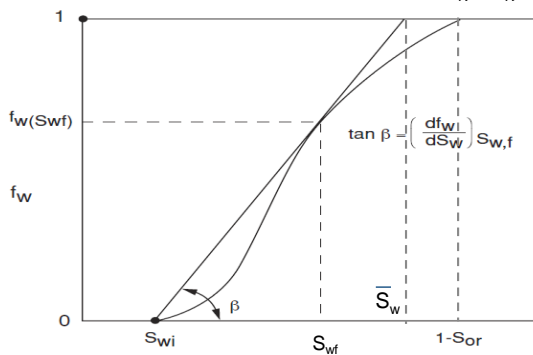
В рассматриваемом случае гистерезис наблюдается вследствие зависимости ОФП от направления фильтрации (вода вытесняет нефть или нефть воду).

2.42 ОФП. Лабораторные исследования

ОФП

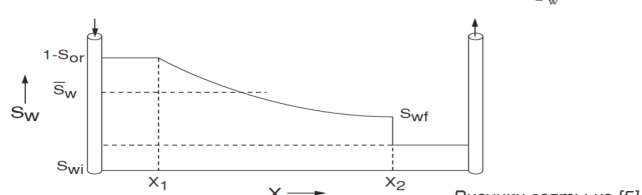
Вид кривых ОФП совместно с соотношением вязкостей воды и нефти влияет на скорость распространения фронта заводнения и на величину скачка насыщенности на фронте

$$f_w(S_w) = \frac{Q_w B_w}{Q_w B_w + Q_o B_o} \approx \frac{1}{1 + \frac{k_{ro} \mu_w}{k_{rw} \mu_o}} \quad \text{Функция Баклея-Леверетта}$$



Скорость продвижения фронта завоевания

$$v_{sw} = \left. \frac{dx}{dt} \right|_{S_w} = \frac{q_t}{A \phi} \left. \frac{\partial f_w}{\partial S_w} \right|_{S_w}$$



© ООО «Газпромнефть НТЦ», 2020 г. | 78

Теория Баклея-Леверетта. На основе ОФП можем рассчитать, каким образом будет происходить заводнение в пласте (другими словами, как будет продвигаться фронт вытеснения).

ОФП совместно с соотношением вязкостей нефти и воды влияют на скорость распространения фронта заливания и на величину скачка насыщенности.

$f_w(S_w)$ – функция фракционного потока.

Графический анализ (по Уэлджу): зная угол наклона касательной к кривой фракционного потока (графику зависимости $f_w(S_w)$), можем найти скорость продвижения фронта заливания. Насыщенность в точке касания – это насыщенность на фронте вытеснения.

Насыщенность в точке пересечения касательной и горизонтальной прямой $f_w = 1$ – это средняя насыщенность от нагнетательной скважины до края заливания.

Таким образом, даже без построения модели, имея только ОФП и вязкости, можем многое рассказать о том, каким образом будет происходить вытеснение.

ОФП. Лабораторные исследования

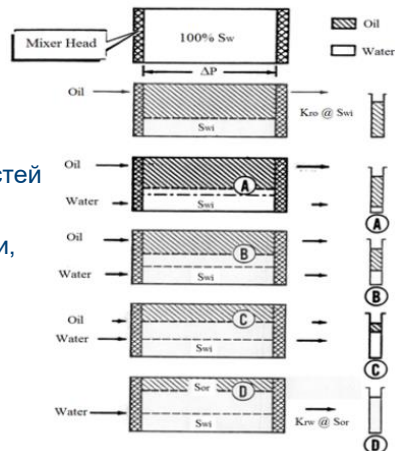
- **Установившийся режим.** При применении метода установившегося режима постоянная пропорция флюидов пропускается через тестовый образец до достижения равновесного состояния давления и насыщенности. Эффективная проницаемость каждой жидкой фазы вычисляется как функция насыщенности посредством прямого применения закона Дарси путем замеров объемного расхода жидкости, падения давления и насыщенности каждой отдельной фазы. За все эти годы было разработано и введено в обиход множество методов, при этом наибольшее распространение получили пенсильванский метод и метод Хасслера.
- **Неустановившийся режим.** Испытания этого типа проводятся посредством измерения общего объема потока на выходе из образца керна в ходе процесса принудительного вытеснения и расчета по результатам данных измерений коэффициента относительной проницаемости. Обычной функцией, применяемой для вычисления относительной проницаемости, является та или иная форма уравнения Баклея–Леверетта. Методы неустановившегося режима быстрее и дешевле методов установившегося режима.

© ООО «Газпромнефть НТЦ», 2020 г. | 79

Есть 2 режима лабораторных исследований: установившийся и неустановившийся.

ОФП. Лабораторные исследования

- Согласно единой отраслевой методики ОСТ 39-235-89 замеры проводятся на установившемся режиме
- Исследования проводятся на одиночном или составном образце
- Используются пластовые флюиды, в пластовых условиях
- Перед проведением испытания в образце (образцах если модель составная) водонасыщенность создается равной остаточной
- Определение ОФП проводится при изменении соотношения жидкостей в фильтрационном потоке от чистой нефти до чистой воды
- На каждом режиме достигают установившегося режима фильтрации, фиксируя показания дифференциального манометра
- После установления каждого режима определяют установившуюся насыщенность образца
- Замеры проводят не менее, чем в 5 точках: 0% воды в потоке, 25%, 50%, 75%, 100%

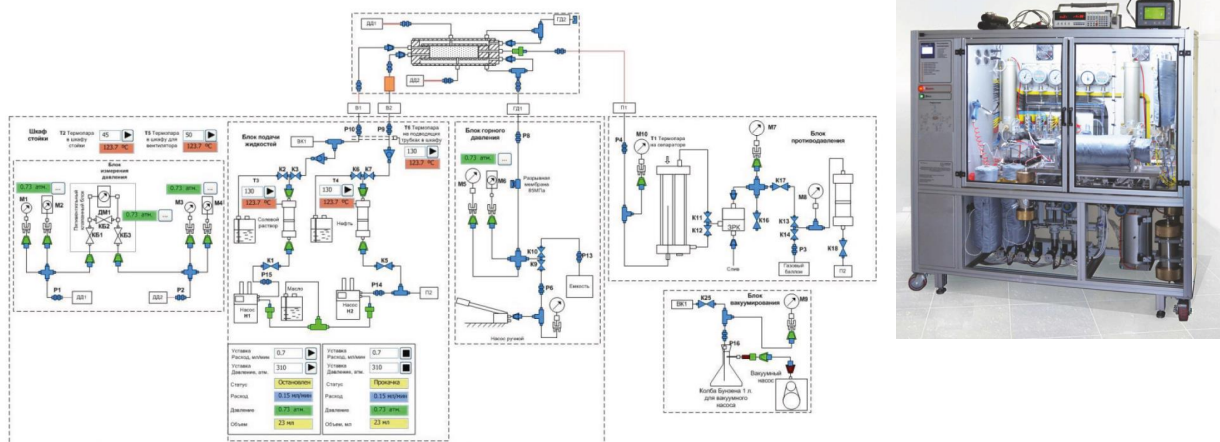


© ООО «Газпромнефть НТЦ», 2020 г. | 80

По стандартам все исследования должны проводиться на установившемся режиме. Минус такого подхода: для низкопроницаемых образцов время установления может занимать месяц или даже несколько месяцев. Это дорого. Поэтому иногда проводят быстрые исследования на неустановившемся режиме, но это менее точно и не соответствует стандартам.

ОФП. Лабораторные исследования

Схема установки для измерения двухфазных ОФП на керне



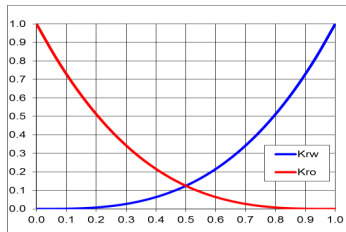
По материалам компании Геологика [10]

© ООО «Газпромнефть НТЦ», 2020 г. | 81

2.43 ОФП. Корреляции Corey и LET

ОФП

Для аппроксимации результатов лаб.исследований используются корреляции Corey или LET



Корреляция Corey

$$K_{ro}(S_w) = K_{ro}(S_{wc}) \left(\frac{1 - S_{or} - S_w}{1 - S_{or} - S_{wc}} \right)^{N_o}$$

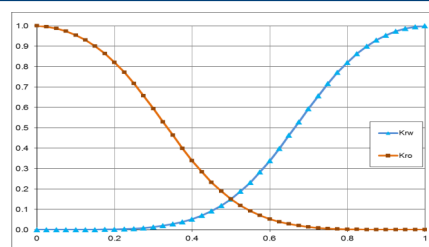
$$K_{rw}(S_w) = K_{rw}(S_{or}) \left(\frac{S_w - S_{wc}}{1 - S_{or} - S_{wc}} \right)^{N_w}$$

Корреляция LET

$$k_{row} = k_{ro}^x \frac{(1 - S_{wn})^{Lwo}}{(1 - S_{wn})^{Lwo} + E_o^w (S_{wn})^{Two}}$$

$$S_{wn} = \frac{S_w - S_{wi}}{1 - S_{wi} - S_{or}}$$

$$k_{rw} = k_{rw}^o \frac{(S_{wn})^{Low}}{(S_{wn})^{Low} + E_o^w (1 - S_{wn})^{Tow}}$$



© ООО «Газпромнефть НТЦ», 2020 г. | 82

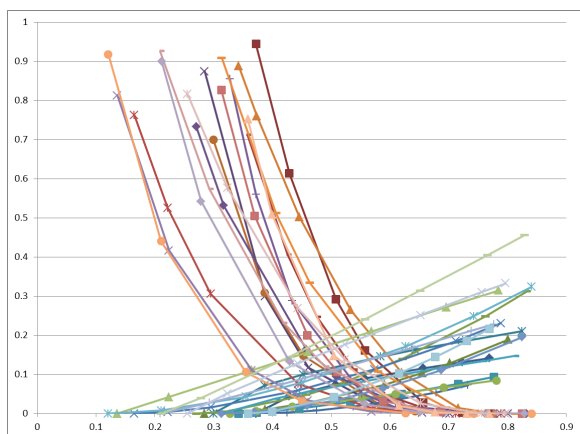
Аппроксимация проводится с целью удобства: необходимо, чтобы ОФП были гладкими функциями. Это позволяет легче находить решение при использовании численных схем.

Корреляция LET (появилась 15-20 лет) позволяет лучше описать лабораторные исследования: есть участки с разной выпуклостью/вогнутостью.

2.44 Как задать ОФП в ГДМ, если есть несколько исследований?

ОФП

Как задать ОФП в ГДМ, если есть несколько исследований?



1. Привести кривые к единым диапазонам (нормализовать)
2. Подобрать параметры функции аппроксимации (Corey, LET), соответствующие средним значениям (а лучше выбирать среднюю кривую по кривой фракционного потока)
3. Найти корреляцию остат.насыщенностей и концевых точек от ФЕС
4. Рассчитать кубы остат.насыщеностей и концевых точек от ФЕС в модели
5. Задать средние кривые ОФП

Если есть разделение на фации, HFU, петротипы, литотипы и т.п., то можно попробовать задать каждому типу свои ОФП (осреднять в пределах типа)

© ООО «Газпромнефть НТЦ», 2020 г. | 83

ОФП

Чтобы задать зависимость ОФП от свойств ячейки используется масштабирование

- 2-х точечное
- 3-х точечное

По результатам анализа керна:

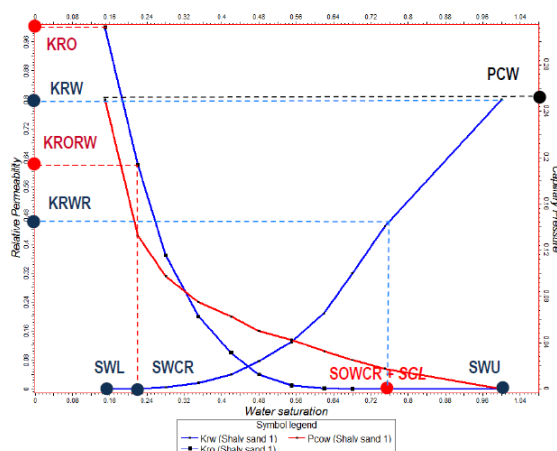
- Остаточные насыщенности и концевые точки ОФП задаются в зависимости от других свойств
- В модели задаются нормализованные кривые ОФП, а симулятор в соответствии с выбранными опциями растягивает и сжимает кривые ОФП в каждой ячейке модели на основе заданных в ней свойств остаточных насыщенностей и концевых точек

Таким образом, получается, что ОФП в каждой ячейке модели зависят от других ее свойств

© ООО «Газпромнефть НТЦ», 2020 г. | 84

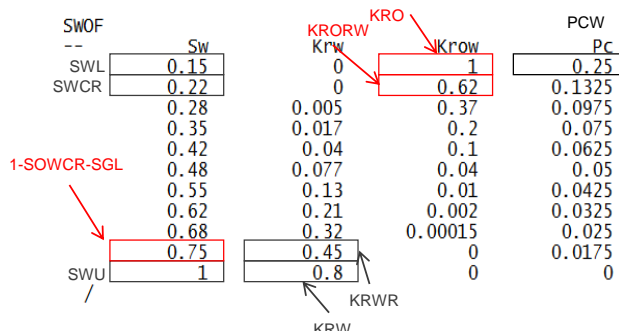
2.45 Концевые точки ОФП в системе нефть-вода

Концевые точки ОФП в системе нефть-вода



KRW – отн.проницаемость воды при макс. Sw
KRWR – отн.проницаемость воды при крит. So
KRORW – отн.проницаемость нефти при крит. Sw
KRO – отн.проницаемость нефти при макс. So

По материалам Schlumberger



SWL – связанная водонасыщенность

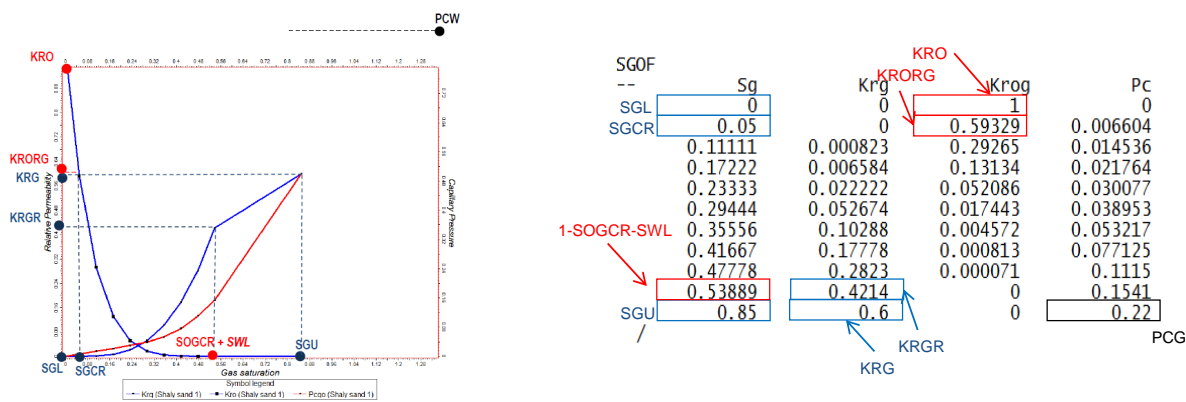
SWCR – критическая водонасыщенность

SWU – максимальная водонасыщенность

SOWCR – критическая нефть в переходной зоне нефть-вода

© ООО «Газпромнефть НТЦ», 2020 г. | 85

Концевые точки ОФП в системе нефть-газ



SGL – связанный газонасыщенность

SGCR – критическая газонасыщенность

SGU – максимальная газонасыщенность

SOGCR – критическая нефть в переходной зоне нефть-газ

KRG – отн.проницаемость газа при макс. \$S_g\$

KRGR – отн.проницаемость газа при крит. \$S_o\$

KRORG – отн.проницаемость нефти при крит. \$S_g\$

KRO – отн.проницаемость нефти при макс. \$S_o\$

По материалам Schlumberger

© ООО «Газпромнефть НТЦ», 2020 г. | 86

2.46 Масштабирование ОФП

Масштабирование ОФП

Без ключевого слова **SCALECRS**:

2-точечное

\$k_{rw}\$	\$SWCR \& SWU\$
\$k_{rg}\$	\$SGCR \& SGU\$
\$k_{row}\$	\$SOWCR \& (1-SWL-SGL)\$
\$k_{rog}\$	\$SOGCR \& (1-SWL-SGL)\$

С ключевым словом **SCALECRS**:

3-точечное

\$k_{rw}\$	\$SWCR, (1-SWCR-SGL) \& SWU\$
\$k_{rg}\$	\$SGCR, (1-SOGCR-SWL) \& SGU\$
\$k_{row}\$	\$SOWCR, (1-SWCR-SGL) \& (1-SWL-SGL)\$
\$k_{rog}\$	\$SOGCR, 1-SGCR-SWL) \& (1-SWL-SGL)\$

В водо-газовой модели

\$k_{rw}\$ \$SWCR, (1-SGCR)\$

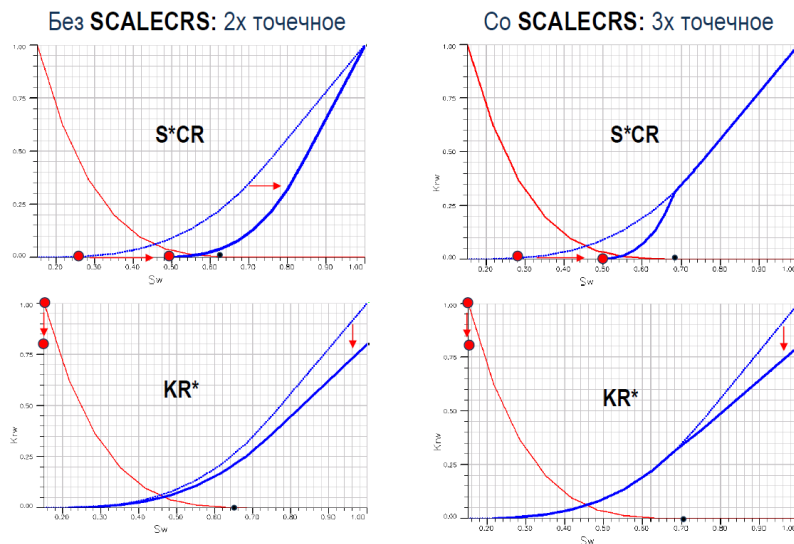
\$k_{rg}\$ \$SGCR, (1-SWCR) \& SGU\$

$$S'_w = S_{wcr} + \frac{(S_w - SWCR)(S_{wmax} - S_{wcr})}{SWU - SWCR}$$

По материалам Schlumberger

© ООО «Газпромнефть НТЦ», 2020 г. | 87

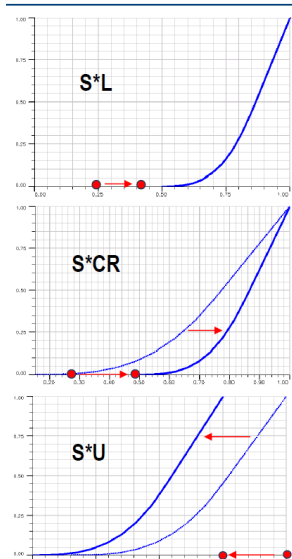
Масштабирование ОФП



По материалам Schlumberger

© ООО «Газпромнефть НТЦ», 2020 г. | 88

Масштабирование ОФП



По материалам Schlumberger

Изменение S^*L или S^*U :

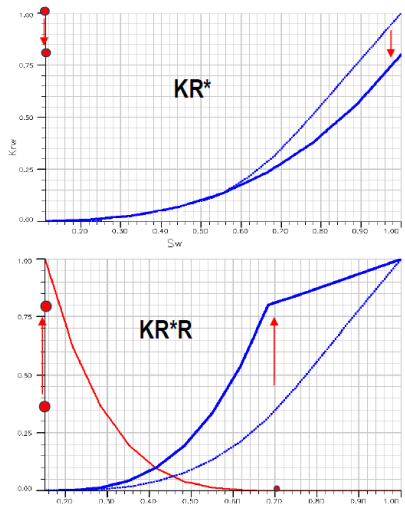
- Балансовые запасы
- Тип коллектора

Изменение S^*CR :

- Извлекаемые запасы
- Подвижность фазы в переходной зоне
- Продвижение фронта вытеснения
- Время прорыва фазы в скважину
- Интенсивность повышения насыщенности
- Коэффициент вытеснения фазы

© ООО «Газпромнефть НТЦ», 2020 г. | 89

Масштабирование ОФП



Изменение $\mathbf{KR^*}$:

- Подвижность фазы в области 100% насыщенности (для воды – ниже ВНК)
- Приемистость нагнетательных скважин
- Скорость продвижения фронта

Изменение $\mathbf{KR^*R}$:

- Фильтрация фазы в переходной зоне
- Распределение насыщенности на границе фронта вытеснения

$$K'_{rw} = K_{rw} \left(\frac{KRW}{K_{rw\ max}} \right)$$

По материалам Schlumberger

© ООО «Газпромнефть НТЦ», 2020 г. | 90

2.46.1 По горизонтали (по насыщенности)

Масштабирование ОФП по горизонтали (по насыщенности) [6]

$$S'_w = S_{wcr} + \frac{(SW - SWCR)(S_{wmax} - S_{wcr})}{SWU - SWCR}$$

Двухточечное:

[EQ 58.2]

so that K_{rw} is evaluated by lookup in the input table using

$K_{rw}(SW) = K_{rw}(S'_w)(table)$ for $SWCR \leq SW \leq SWU$. For $SW \leq SWCR$ then $K_{rw}(SW) = 0$ and for $SW \geq SWU$ then $K_{rw}(SW) = K_{rwmax}(table)$.

$SWCR \leq SW \leq SR$

$$S'_w = S_{wcr} + \frac{(SW - SWCR)(S_r - S_{wcr})}{SR - SWCR}$$

Трехточечное:

[EQ 58.3]

$SR \leq SW \leq SWU$

$$S'_w = S_r + \frac{(SW - SR)(S_{wmax} - S_r)}{SWU - SR}$$

[EQ 58.4]

and also for $SW \leq SWCR$ then $K_{rw}(SW) = 0$, and for $SW \geq SWU$ then

$K_{rw}(SW) = K_{rwmax}(table)$.

[EQ 58.5]

© ООО «Газпромнефть НТЦ», 2020 г. | 91

2.46.2 По вертикали

Масштабирование ОФП по вертикали [6]

$$K_{rw} = K_{rw}(\text{table}) \left(\frac{\text{KRW(grid block)}}{K_{rw \max}(\text{table})} \right) \quad \text{Двухточечное:} \quad [\text{EQ } 58.6]$$

The $K_{rw \ max}(\text{table})$ is taken to be the value at either the maximum saturation of the saturation table or at SWU if this has been specified.

$SR = 1 - \text{SOWCR-SGL}$ in water/oil or gas/oil/water runs

$SR = 1 - \text{SGCR}$ in gas/water runs

Hence the two cases are:

Трехточечное:

1 $SWCR \leq SW \leq SR$

$$K_{rw}(S) = K_{rw}(S') \frac{\text{KRWR(grid block)}}{K_{rw}(S_r)(\text{table})} \quad [\text{EQ } 58.7]$$

2 $SR \leq SW \leq SWU$

$$K_{rw}(S) = \text{KRWR} + \frac{(K_{rw}(S')(\text{table}) - K_{rw}(S_r)(\text{table}))}{(K_{rw \ max}(\text{table}) - K_{rw}(S_r)(\text{table}))} (\text{KRW} - \text{KRWR}) \quad [\text{EQ } 58.8]$$

© ООО «Газпромнефть НТЦ», 2020 г. | 92

2.47 Согласованность массивов в модели

Согласованность массивов в модели

1. $SWL \leq SWCR$ (связанная вода самая меньшая водонасыщенность которая может быть в пласте, эту проверку выполняет симулятор)
2. В чисто-водяной и переходной водо-нефтяной зоне подвижная вода больше либо равна 0. $\text{SWAT}-\text{SWL} \geq 0$
3. Выше ВНК (там где появляется первая подвижная нефть) коэффициент вытеснения не может быть отрицательным, по определению ВНК $\text{SOIL}-\text{SOWCR} \geq 0$

© ООО «Газпромнефть НТЦ», 2020 г. | 93

Согласованность массивов в модели

Т.к. $S_o + S_g + S_w = 1$, то

■ **$S_{GU} \leq 1.0 - SWL$ и $S_{GL} \leq 1.0 - SWU$**

- Если $SW(G)L + SG(W)U > 1$, например увеличена SWL без снижения S_{GU} , то увидите сообщение ниже:

```
@--WARNING AT TIME      0.0    DAYS ( 1-JAN-2004):
@ MAXIMUM GAS SATURATION EXCEEDS
@ (1.0-SWC0) IN GRID CELL
@ ( 1, 2, 6 ). SGMAX = 0.7000
@ (1.0-SwC0) = 0.6000
```

SCALECRS
NO /

- HO(!) если $SW(G)L + SG(W)U < 1$, то сообщения никакого не выйдет, но Вы получите нефть в водяной / газовой зоне.

■ **$SWU \geq (1-SOWCR-SGL)$**

- Уменьшаете SWU в трехточечном масштабировании, не увеличивая $SOWCR$ – получите предупреждение:

```
@--WARNING AT TIME      0.0    DAYS ( 1-JAN-1998):
@ MAXIMUM WATER SATURATION IS LESS THAN
@ (1.0-SOWCR-SGL) IN GRID CELL
@ ( 20, 4, 1 ). SWMAX = 0.6500
@ (1.0-SOWCR-SGL) = 0.7300
```

SCALECRS
YES /

По материалам Schlumberger

© ООО «Газпромнефть НТЦ», 2020 г. | 94

Согласованность массивов в модели

Т.к. $S_o + S_g + S_w = 1$, то

■ **SWL всегда $\leq SWCR$, и аналогично, SGL всегда $\leq SGCR$**

- Если $SWL > SWCR$, Вы увидите сообщение ниже

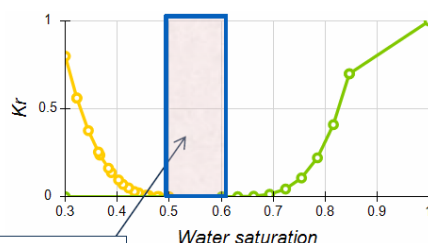
```
@-- ERROR AT TIME      0.0    DAYS ( 1-JAN-1998):
@ CONSISTENCY PROBLEM WITH WATER PHASE END
@ POINTS IN GRID CELL ( 5, 1, 2 )
@ CONNATE= 0.2000 CRIT= 0.1500 MAX= 1.0000
```

■ **$SOWCR + SWCR < 1.0$**

■ **$SOGCR + SGCR + SWL < 1.0$**

- В противном случае:

```
@--WARNING AT TIME      0.0    DAYS ( 1-JAN-1998):
@ SOCRW+SWCR IS GREATER THAN OR EQUAL TO 1.0
@ IN CELL ( 24, 21, 2 )
@ SOCRW= 0.2700 SWCR= 0.8500
```



Интервал Sw ,
где обе фазы
неподвижны

По материалам Schlumberger

© ООО «Газпромнефть НТЦ», 2020 г. | 95

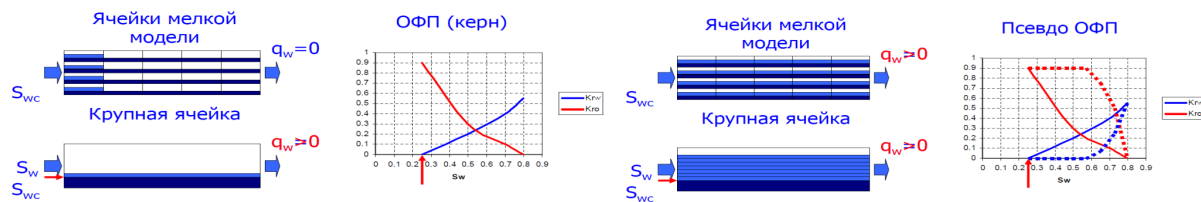
2.48 Ремасштабирование (2-х фазный апскелинг ОФП)

Ремасштабирование (2-х фазный апскелинг) ОФП

Для корректного учета двухфазного потока в больших ячейках необходимо проводить ремасштабирование ОФП и в модель закладывать псевдо-ОФП, которые учитывают ОФП по керну и размер ячеек

Динамические методы апскелинга ОФП:

- Методы на основе осреднения давления (наиболее известный метод Kyte & Berry)
- Методы на основе суммарной подвижности (наиболее известный метод Stone)
- ✓ Для ГДМ, адаптированных на историю обводнения скважин, эта процедура необязательна, т.к. ОФП в такой модели уже учитывают и историю обводнения и влияние размера ячеек
- ✓ Для новых активов без истории обводнения процедура 2-х фазного апскелинга ОФП настоятельно рекомендуется!



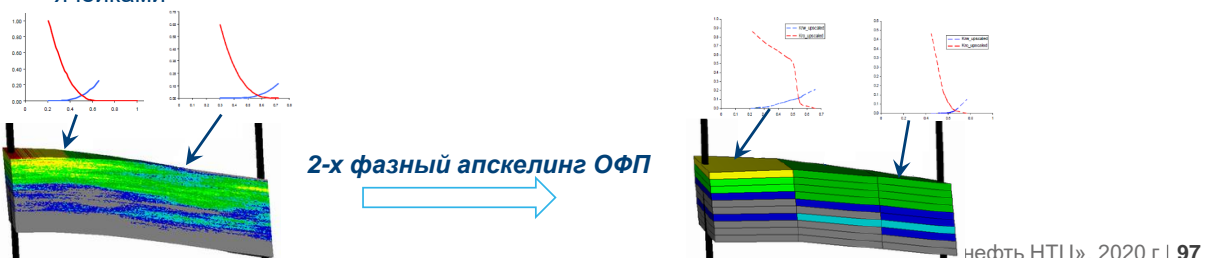
Рисунки взяты из [5]

© ООО «Газпромнефть НТЦ», 2020 г. | 96

Ремасштабирование (2-х фазный апскелинг) ОФП

Алгоритм 2-х фазного апскелинга

1. Выбрать участок модели с характерным распределением свойств между добывающей и нагнетательной скважиной
2. Построить модель с мелкой (размером с керн) сеткой (можно взять 2D разрез), задать в ней ОФП с керна и рассчитать
3. Записать динамику обводнения, дебиты и давления по результатам расчета
4. Укрупнить ячейки до размеров ячеек в ГДМ
5. Модифицируя ОФП (ручным подбором или с помощью алгоритмов) в модели с крупными ячейками, воспроизвести динамику обводнения, дебиты и давления как на модели с мелкими ячейками



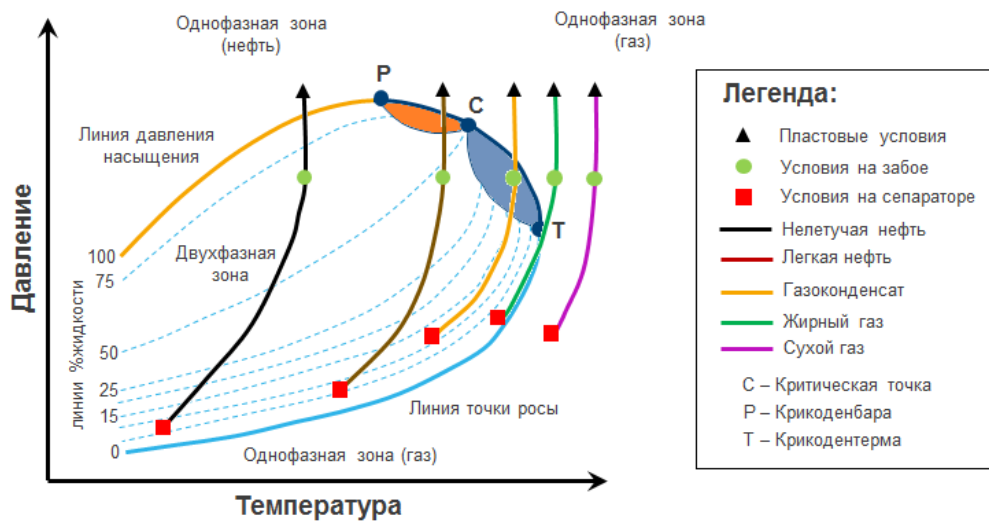
2.49 Типы флюидов

Типы флюидов

Параметр	Нефти				Газы		
	Тяже-лая	Обычная	Высокой скимаемости	Летучая	Жирный газоконденсат	Обычный конденсат	Жир-ный и сухой
Молекулярный вес первоначального флюида	150+	80-150	60-80	40-60	30-40	25-35	<23
Цвет товарной нефти	черный	от коричневого до темно-зеленый	от коричневатого до светло-зеленого	от зеленоватого до оранжевого	от оранжевого до желтого	от желтоватого до прозрачного	бесцветный
Плотность товарной нефти, API	5-15	15-40	35-45	42-55	42-55	45-60	45+
Содержание С7+, моль %	>50	30-50	25-35	10-30	6-12	1-6	0-1
Газовый фактор флюида, ст.м ³ /ст.м ³	0-35	35-125	125-200	200-600	600-1400	1400-5300	3600+
Первоначальный объемный коэффициент, β_0 , пласт. м ³ /ст. м ³	1.0-1.1	1.1-1.3	1.3-1.7	1.7-3.0	3.0-6.0	6.0-20.0	20.0+
Характерная пластовая температура, С	30-90	38-50	50-120	65-150	65-150	65-150	65-150
Характерное давление насыщения, МПа	0-3.5	2.1-3.5	14-35	20-50	20-60	10-60	-
Макс. объемный % жидкости при анализе на расширение при одинаковом составе	100	100	100	100	25-45	0-25	0
КИН	0-5	10-25	15-25	20-30	30-50	40-60	80-95
КИГ	0-70	50-75	60-80	65-85	70-85	75-85	80-95

© ООО «Газпромнефть НТЦ», 2020 г. | 98

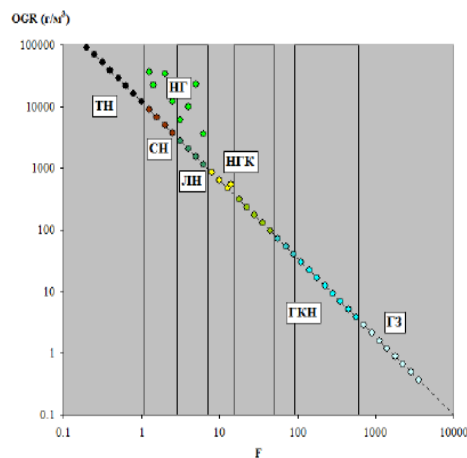
Типы флюидов [12]



© ООО «Газпромнефть НТЦ», 2020 г. | 99

2.50 Определение типа залежи по составу УВ

Определение типа залежи по составу УВ флюида [12]



$$F = \frac{C_1}{C_5} + \frac{C_2}{C_3} + \frac{C_2 + C_3 + C_4}{C_5}$$

ГЗ – газовая залежь,

ГКН – газоконденсатнонефтяная залежь,

НГК – нефтегазоконденсатная залежь,

НГ – нефтегазовая,

ЛН – легкая нефть,

СН – средняя нефть,

ТН – тяжелая нефть.

© ООО «Газпромнефть НТЦ», 2020 г. | 100

2.51 PVT-свойства

PVT-свойства

Основные PVT-свойства флюидов, задаваемые в модели:

- Давление насыщения нефти (P_b)
- Содержание растворенного газа в нефти (R_s)
- Объемный коэффициент нефти (B_o)
- Объемный коэффициент газа (B_g)
- Сжимаемость порового пространства (c_f)
- Сжимаемость воды (c_w)
- Вязкость нефти (μ_o)
- Вязкость газа (μ_g)
- Вязкость воды (μ_w)

$$B_g = \frac{V_{Rgas}}{V_{SCgas}} \left[\frac{Rm^3}{Sm^3} \right]$$

$$B_o = \frac{V_{Roil}}{V_{SCoil}} \left[\frac{Rm^3}{Sm^3} \right]$$

$$R_V = \frac{V_{Soil}}{V_{Sgas}} \left[\frac{Sm^3}{Sm^3} \right]$$

$$R_S = \frac{V_{SCgas}}{V_{SCoil}} \left[\frac{Sm^3}{Sm^3} \right]$$

$$C_o = -\frac{1}{V} \left(\frac{\partial V}{\partial P} \right)_T \left[\frac{1}{bar} \right]$$

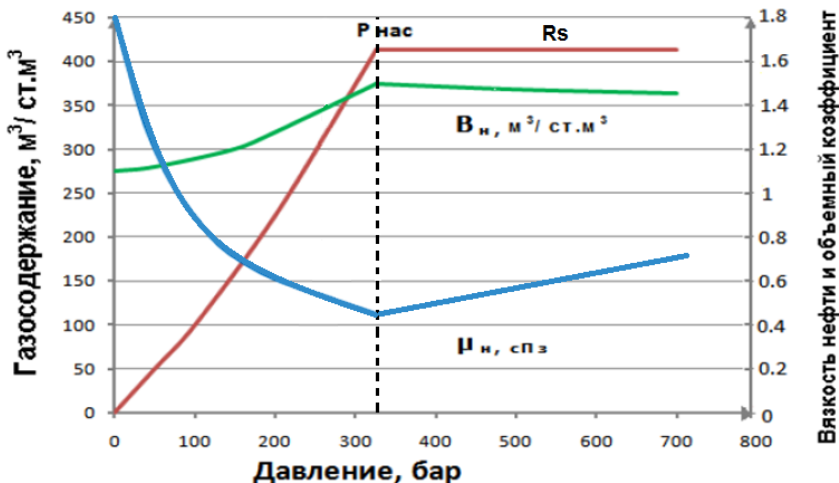
$$c_o dP = -\frac{dB_o}{B_o} \longrightarrow B = B(P_b) \cdot e^{-c_o(P - P_b)}$$

© ООО «Газпромнефть НТЦ», 2020 г. | 101

2.52 PVT-свойства нефти

PVT-свойства нефти [12]

Типичные кривые свойств нефти



При снижении давления ниже $P_{\text{нас}}$ из нефти начинает выделяться газ, газосодержание снижается, увеличивается вязкость нефти, уменьшается её объем.

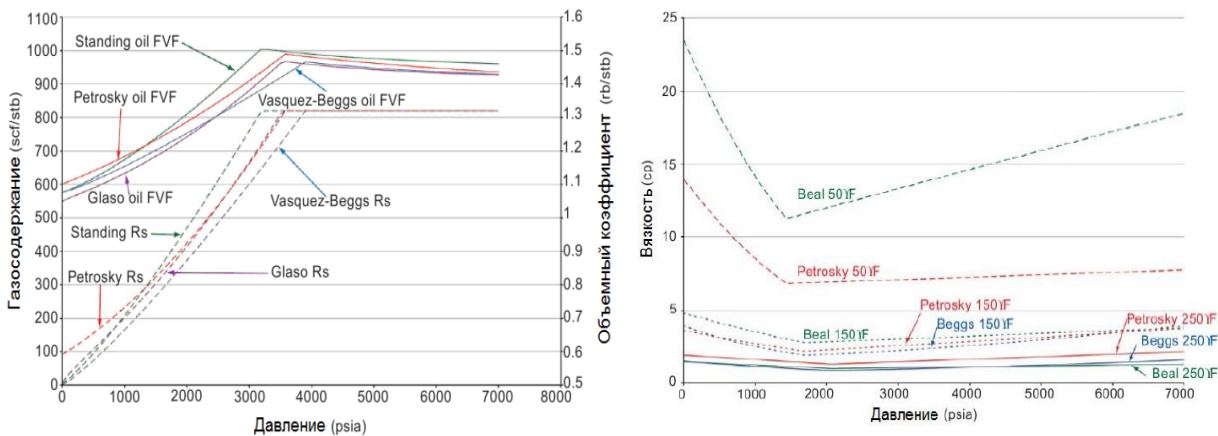
При повышении давления выше $P_{\text{нас}}$ газ перестает растворяться в нефти – газосодержание постоянное. Объем нефти в пластовых условиях снижается, вязкость увеличивается за счёт сжатия нефти под давлением

$$B = B(P_b) \cdot e^{-c_o(P - P_b)}$$

© ООО «Газпромнефть НТЦ», 2020 г. | 102

2.53 PVT-свойства нефти. Корреляции

PVT-свойства нефти. Корреляции [12]



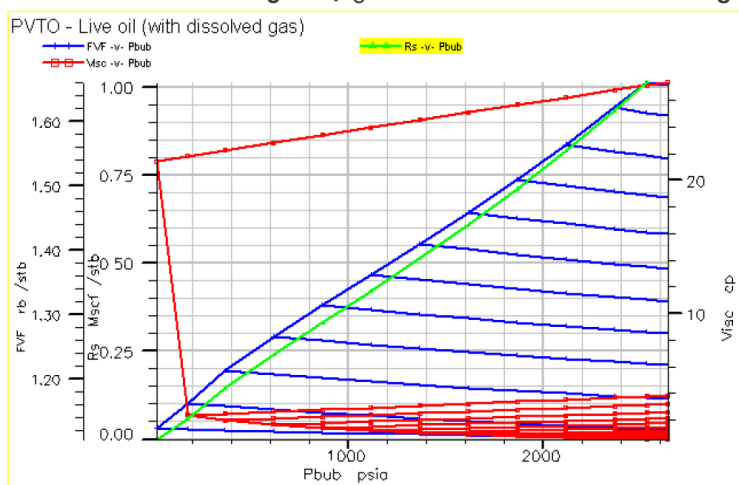
Когда данных для построения полноценной PVT-модели недостаточно, используют корреляции, по которым можно вычислить необходимые зависимости

© ООО «Газпромнефть НТЦ», 2020 г. | 103

2.54 PVT-свойства «живой нефти»

PVT-свойства «живой нефти»

Различные B_o и μ_o в зависимости от R_s



При снижении давления ниже Рнас из нефти выделяется газ, газосодержание снижается. Если увеличить давление, то зависимости объемного к-та и вязкости от давления будут уже другими, т.к. изменился состав флюида.

Таблица PVTO описывает зависимости объемного к-та и вязкости от давления при различных значениях газосодержания

© ООО «Газпромнефть НТЦ», 2020 г. | 104

2.55 Варианты описания PVT в моделях Black Oil

Варианты описания PVT в моделях Black Oil

- В модели отсутствует свободный газ, на протяжении всего периода разработки (лучше рассматривать модель как DEAD OIL)

Eclipse

Фазы: OIL, WATER

Кл.слова для задания PVT-свойств: RSCONST, PVDO

- В модели отсутствует свободный газ, на протяжении всего периода разработки в приближении нефти с постоянной сжимаемостью (лучше рассматривать модель как DEAD OIL)

Eclipse

Фазы: OIL, WATER

Кл.слова для задания PVT-свойств: RSCONST, PVCDO

- В модели присутствует свободный “сухой” газ (Dry gas)

Eclipse

Фазы: OIL, WATER, GAS, DISGAS

Кл.слова для задания PVT-свойств: PVTO, PVDG

© ООО «Газпромнефть НТЦ», 2020 г. | 105

Варианты описания PVT в моделях Black Oil

- В модели присутствует свободный сухой газ (Dry gas), в приближении постоянной сжимаемости нефти выше P_b

Eclipse

Фазы: OIL, WATER, GAS, DISGAS

Кл. слова для задания PVT-свойств: PVCO, PVDG

- В модели присутствует свободный “жирный” газ (Wet gas) (с летучей нефтью)

Eclipse

Фазы: OIL, WATER, GAS, DISGAS, VAPOIL

Кл. слова для задания PVT-свойств: PVTO, PVTG

- В модели присутствует свободный “жирный” газ (Wet gas) (с летучей нефтью), в приближении постоянной сжимаемости нефти выше P_b

Eclipse

Фазы: OIL, WATER, GAS, DISGAS, VAPOIL

Кл. слова для задания PVT-свойств: PVCO, PVTG

© ООО «Газпромнефть НТЦ», 2020 г. | 106

2.56 Сжимаемость порового пространства

Сжимаемость порового пространства

$$c_{pv} = -\frac{1}{V_{pv}} \frac{\Delta V_{pv}}{\Delta P}$$

$$c_{pv} \phi + c_{cage} (1 - \phi) = c_{rock} = \frac{3(1 - 2\nu)}{E}$$

$$c_{cage} \ll c_{pv} \rightarrow c_{pv} \approx c_{rock}/\phi$$

где ν - коэффициент Пуассона

E – модуль Юнга

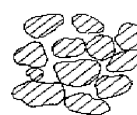
ϕ - пористость

c_{rock} – сжимаемость породы

c_{cage} – сжимаемость скелета

c_{pv} – сжимаемость объема порового пространства

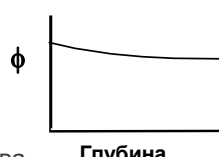
Пористость



Осадочная порода на поверхности
Высокая пористость



Осадочная порода на глубине
Уплотнение
Ранняя цементация
Редуцированная пористость



Порода на большой глубине
Обширная цементация
Возможное растворение
Сильно редуцированная пористость

Фактическая сжимаемость объема порового пространства

© ООО «Газпромнефть НТЦ», 2020 г. | 107

Сжимаемость порового пространства

Типичные сжимаемости породы и флюидов (по Craft, Hawkins and Terry, 1991)

Флюид или порода	Сжимаемость (10^{-5} атм $^{-1}$)
Материнская порода, $c_{\text{порода}}$	4 - 14
Вода, c_w	3 - 6
Недонасыщенная нефть, c_o	7 - 15
Газ при 68 атм, c_g	1300 - 1900
Газ при 340 атм. c_g	73 - 300

Сжимаемость порового пространства:

• Dake (2008) – $4-90 \cdot 10^{-5}$ бар $^{-1}$, Гиматутдинов (1971) – $2,5-27,5 \cdot 10^{-5}$ бар $^{-1}$ (при горных давлениях 960-80 бар соответственно) для терригенных пород, $0,3-2,5 \cdot 10^{-5}$ бар $^{-1}$ (при горных давлениях 520-885 бар) для трещинных известняков

• Есть редкие примеры коллекторов со сжимаемостью до $145 \cdot 10^{-5}$ бар $^{-1}$ (Ekofisk field at North Sea), до $217,5 \cdot 10^{-5}$ бар $^{-1}$ (Valhall field at North Sea). Основной механизм добычи на таких пластах именно за счет сжимаемости порового пространства

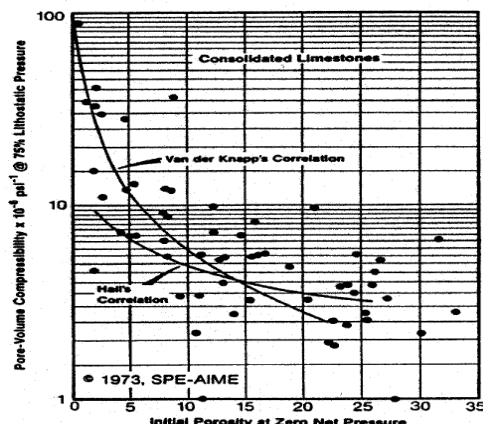
$$C = -\frac{1}{\phi} \left. \frac{\partial \phi}{\partial p} \right|_T \quad \phi = \phi_0 \exp(C[p - p_0]) \quad \phi = \phi_0 (1 + C[p - p_0])$$

© ООО «Газпромнефть НТЦ», 2020 г. | 108

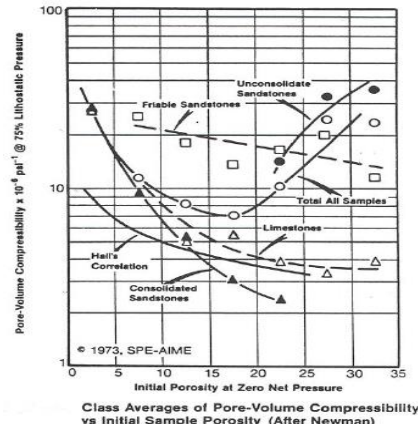
2.57 Сжимаемость порового пространства. Корреляции

Сжимаемость порового пространства. Корреляции

Корреляции Hall и Van der Knapp



Корреляции Newman



Легко заметить, что корреляции c_{pv} от пористости невысокого качества, поэтому рекомендуется их использовать только в случае полного отсутствия других данных по геомеханическим свойствам породы

© ООО «Газпромнефть НТЦ», 2020 г. | 109

2.58 Упражнение 1. Упражнения на обработку и подготовку исходных данных

Упражнение на обработку и подготовку исходных данных

PVT-свойства

- Порода:

Слабосцементированный песчаник

$$P_{\text{пл}}=159.6 \text{ бар} \quad T_{\text{пл}}=88 \text{ }^{\circ}\text{C} \quad \Phi_{\text{cp}}=25.7\%$$

- Нефть

$$\rho_{\text{oil}}=860 \text{ кг/м}^3 \quad C_o=1.16 \cdot 10^{-4} \text{ бар}^{-1} \quad P_b=34 \text{ бар}$$

$$R_s=20 \text{ м}^3/\text{м}^3 \quad B_o(P_b)=1.06 \text{ м}^3/\text{м}^3 \quad \mu_{\text{oil}}=9 \text{ мПа}\cdot\text{s}$$

- Вода

Минерализация воды 12000 ppm

Найти:

- C_{pv}
- ρ_w, C_w, B_w, μ_w
- $B_o(P), \mu_o(P)$

© ООО «Газпромнефть НТЦ», 2020 г. | 110

Упражнение на обработку и подготовку исходных данных

Корреляции для вязкости нефти:

- Standing

$$\mu_o = \mu_{ob} + 0.14504(p - p_b)(0.024\mu_{ob}^{1.6} + 0.038\mu_{ob}^{0.56})$$

- Beal ($0.9 > \gamma_o > 0.85$)

$$\mu_o = \mu_{ob} + \delta(p - p_b)$$

$$\delta = \begin{cases} 0.0114\mu_{ob} & \text{при } \mu_{ob} < 5 \text{ мПа}\cdot\text{s} \\ 0.057 + 0.023(\mu_{ob} - 5) & \text{при } 5 \leq \mu_{ob} < 10 \text{ мПа}\cdot\text{s} \\ 0.171 + 0.031(\mu_{ob} - 10) & \text{при } 10 \leq \mu_{ob} < 25 \text{ мПа}\cdot\text{s} \\ 0.643 + 0.045(\mu_{ob} - 25) & \text{при } 25 \leq \mu_{ob} < 45 \text{ мПа}\cdot\text{s} \\ 1.539 + 0.058(\mu_{ob} - 45) & \text{при } 45 \leq \mu_{ob} < 75 \text{ мПа}\cdot\text{s} \\ 3.286 + 0.100(\mu_{ob} - 75) & \text{при } 75 \leq \mu_{ob} < 85 \text{ мПа}\cdot\text{s} \end{cases}$$

где μ_{ob} - вязкость нефти при давлении насыщения P_b

Давление в формулах в МПа (1 МПа=10 бар)

В файле



calculator_WaterPVT_RockCompressibility.xls
Лист Microsoft Excel 97-2003

внесены корреляции для расчета PVT-свойств породы и воды

© ООО «Газпромнефть НТЦ», 2020 г. | 111

Упражнение на обработку и подготовку исходных данных

Анизотропия проницаемости:

Файл  labdata_Anisotropy.xlsx
Лист Microsoft Excel
404 КБ

- Файл  labdata_Anisotropy.xlsx – в таблице собраны результаты исследований керна с поинтервальным литологическим описанием и значениями газопроницаемости вдоль и перпендикулярно напластованию.

Найти:

- Среднее значение анизотропии проницаемости k_v/k_h

© ООО «Газпромнефть НТЦ», 2020 г. | 112

Упражнение на обработку и подготовку исходных данных

ОФП:

Файл  labdata_Relative permeabilities.xlsx
Лист Microsoft Excel
23.1 КБ

- Файл  labdata_Relative permeabilities.xlsx – в таблице приведены результаты специальных исследований керна по определению ОФП нефти и воды

Задача:

- Аппроксимировать лабораторные данные кривыми Corey (найти показатели степеней No , Nw) по каждому образцу
- Собрать в таблицу по образцам значения пористости, проницаемости, остаточных насыщенностей, концевых точек ОФП, показателей степеней Corey
- Найти корреляцию параметров ОФП со свойствами образцов (пористость, проницаемость)
- Нормализовать измеренные в лаборатории ОФП
- Аппроксимировать нормализованные кривые корреляцией Corey

© ООО «Газпромнефть НТЦ», 2020 г. | 113

3 Лекция 13.09.2022 (Кайгородов С.В.)

3.1 Анализ разработки перед построением модели

Анализ разработки перед построением модели

- **Оценка работы пласта и параметров аквифера**
(по материальному балансу)
- **Анализ взаимовлияния скважин и источников обводнения**
(по динамике работы, характеристикам вытеснения, кривым падения, графикам Чена, ГДИС, ПГИ, трассерным исследованиям, минерализации воды, CBL)
- **Оценка загрязнения призабойной зоны**
(по динамике работы, проведенным ГТМ, ГДИС, ПГИ)
- **Оценка наличия трещин авто-ГРП на нагнетательных скважинах**
(по динамике забойного давления, графику Холла)
- **Оценка анизотропии проницаемости**
(по динамике работы скважин, анализу керновых данных)

© ООО «Газпромнефть НТЦ», 2020 г. | 114

Перед построением модели необходимо провести анализ разработки, чтобы понимать, какие скважины друг на друга влияют, откуда они обводняются, есть ли загрязнения призабойной зоны, есть ли трещины авто-ГРП на нагнетательных скважинах.

Другими словами, необходимо проанализировать, как работает месторождение, как работают скважины, чтобы это учесть при построении модели.

3.2 Матбаланс

Матбаланс

Материальный баланс является простейшей формой динамической модели месторождения и может быть применен для подсчета запасов нефти или газа, для оценки и прогнозирования пластового давления, а также для оценки активности и величины аквифера

$$(G_p - G_i)B_g + N_p(B_o - B_g R_s) + (W_p - W_i)B_w = \\ = G_{fgi}(B_g - B_{gi}) + N_{foi}(B_o - B_{oi}) + \frac{(G_{fgi}B_{gi} + N_{foi}B_{oi})}{(1 - S_{wc})}(c_f + S_{wc}c_w)\Delta P + W$$

где N_p , W_p , G_p -накопленные величины добычи нефти, воды, газа (stm3),

W_i – накопленная закачка воды (stm3),

W_e – приток воды из контурной области (аквифера) (stm3),

$B_o(P)$, $B_w(P)$ – объемный коэффициент воды, нефти (гм3/stm3),

B_{oi} – объемный коэффициент нефти в начале разработки (гм3/stm3),

C_w , C_f – сжимаемость воды, скелета породы (1/атм),

S_{wc} – водонасыщенность,

B_g – объемный коэффициент газа (гм3/stm3),

R_s – газосодержание (stm3/stm3),

P_i – давление на начало разработки (атм),

N_{foi} – начальные запасы нефти (stm3),

G_{fgi} – начальные запасы свободного газа (stm3),

© ООО «Газпромнефть НТЦ», 2020 г. | 115

Матбаланс

Входные данные:

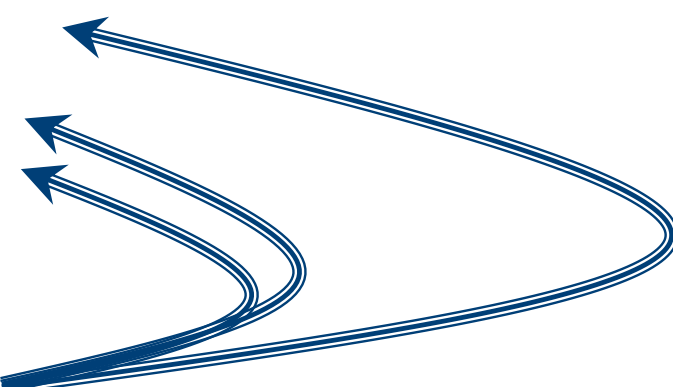
- Начальное пластовое давление
- PVT-свойства
- Точная история отбора и закачки
- ФЕС коллектора и аквифера
- Объем начальных запасов

Расчет

- Динамика пластового давления

Настройка на замеры Рпл

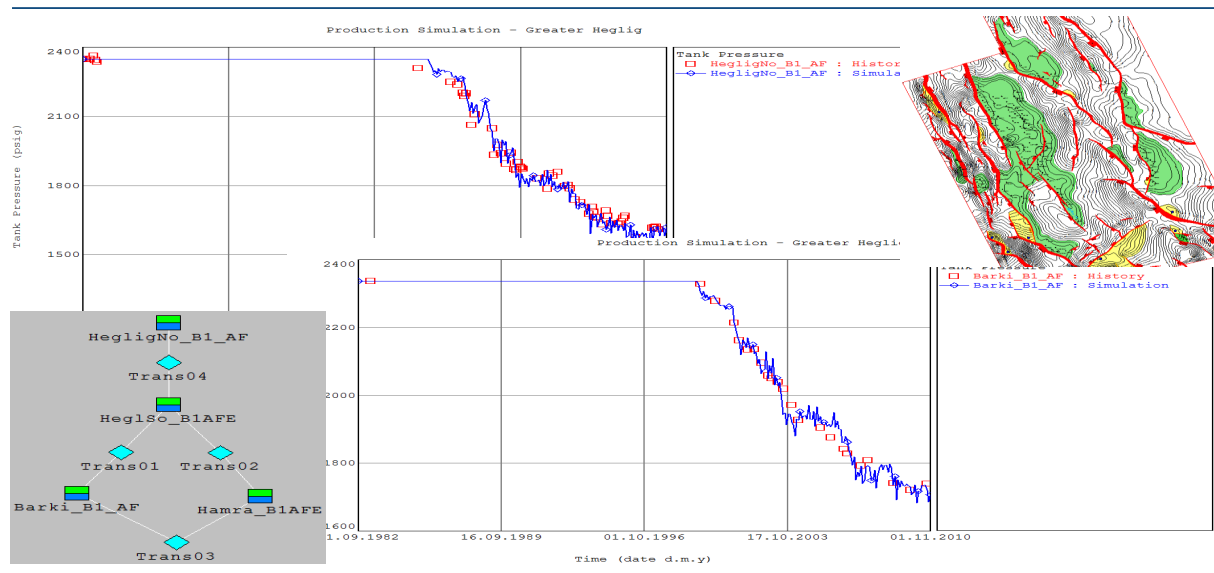
- Вариация наиболее неопределенных параметров



© ООО «Газпромнефть НТЦ», 2020 г. | 116

3.3 Матбаланс. Пример использования

Матбаланс. Пример использования



© ООО «Газпромнефть НТЦ», 2020 г. | 117

Делали проект разработки группы месторождений. Площадь большая, и поэтому возник вопрос: связаны ли все эти залежи нефти (отмечены зелёным на карте) между собой? Красным на карте отмечены разломы.

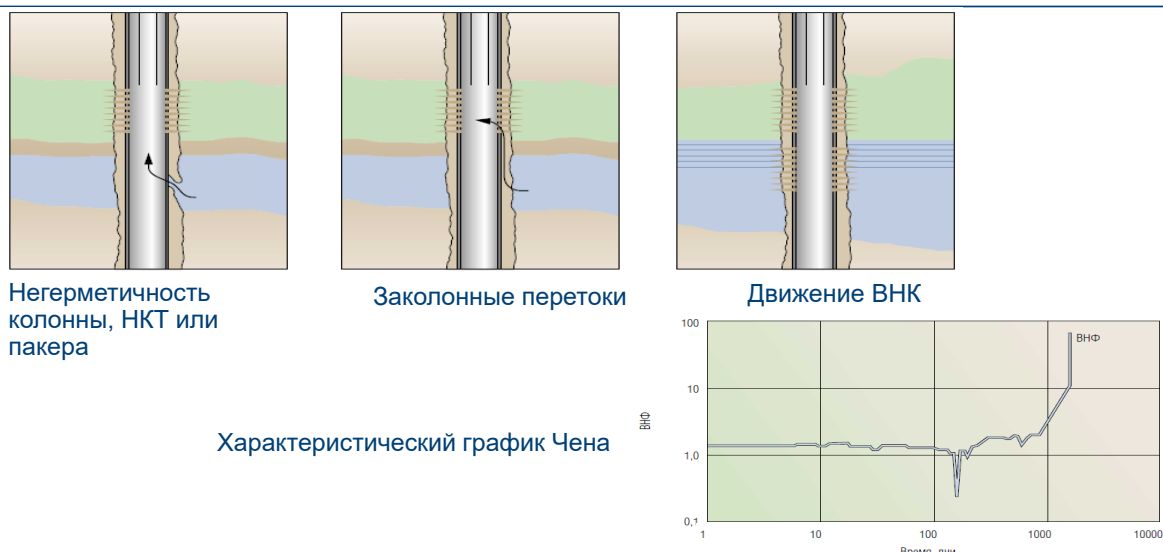
Если строить одну большую модель, расчёт будет идти долго. Поэтому необходимо проверить, можно ли разрезать рассматриваемый участок на несколько отдельных участков, чтобы построить несколько отдельных моделей.

Построили несколько простых моделей материального баланса: каждая залежь представлялась отдельной бочкой и между этими бочками рисовалась связь (отмечена голубыми ромбиками). Далее проводился расчёт и производилась настройка параметров связности между различными залежами. На графиках синим обозначены рассчитанные значения динамики пластового давления, а красные квадратики – фактические замеры.

Оказалось, что наилучшую настройку показали модели, в которых часть из этих залежей не связаны. Это позволило разделить рассматриваемую группу месторождений на отдельные части, моделировать их отдельно и соответственно ускорить расчёты; другими словами, за ограниченное время проекта сделать больше расчётов.

3.4 Анализ источников обводнения

Анализ источников обводнения [8]

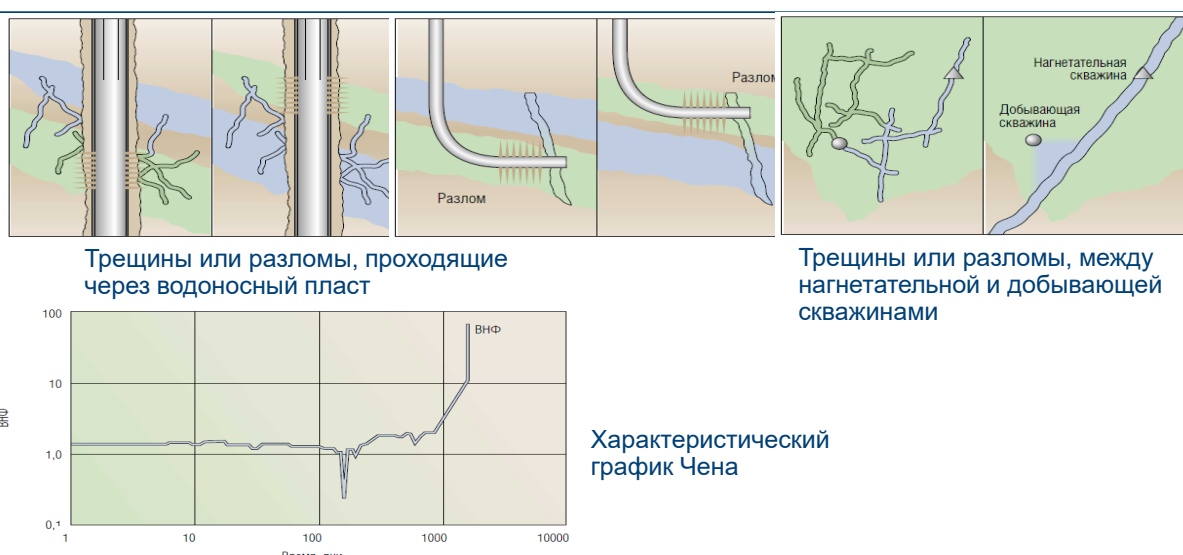


© ООО «Газпромнефть НТЦ», 2020 г. | 118

По виду характеристических графиков Чена можно определить, откуда в скважину попала вода. Строится график водонефтяного фактора (ВНФ, WOR = отношение добытой воды к добытой нефти) от времени в логарифмических координатах.

Замечание. За рубежом более популярен ВНФ, у нас обычно используют обводнённость.

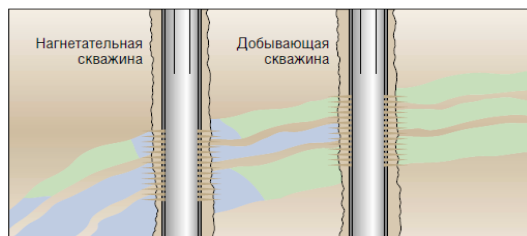
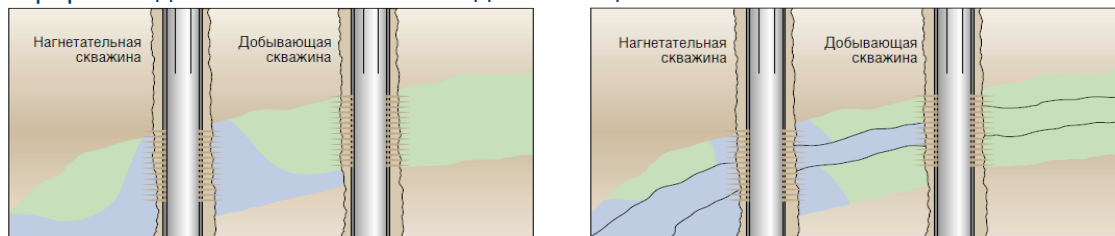
Анализ источников обводнения [8]



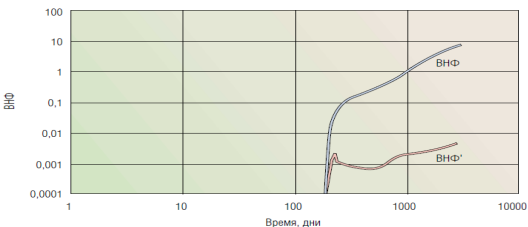
© ООО «Газпромнефть НТЦ», 2020 г. | 119

Анализ источников обводнения [8]

Прорыв воды от нагнетательной к добывающей скважине

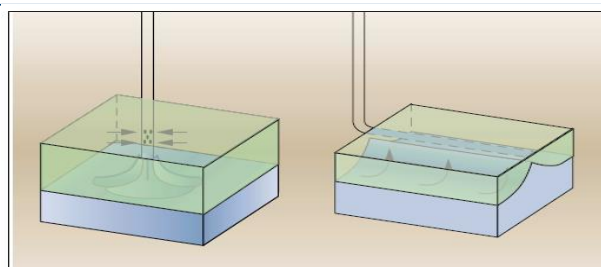


Характеристический график Чена

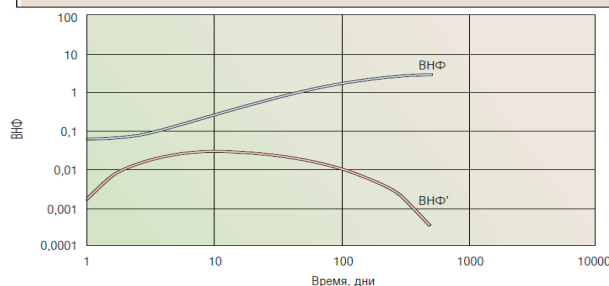


© ООО «Газпромнефть НТЦ», 2020 г. | 120

Анализ источников обводнения [8]



Конусообразование



Характеристический график Чена

© ООО «Газпромнефть НТЦ», 2020 г. | 121

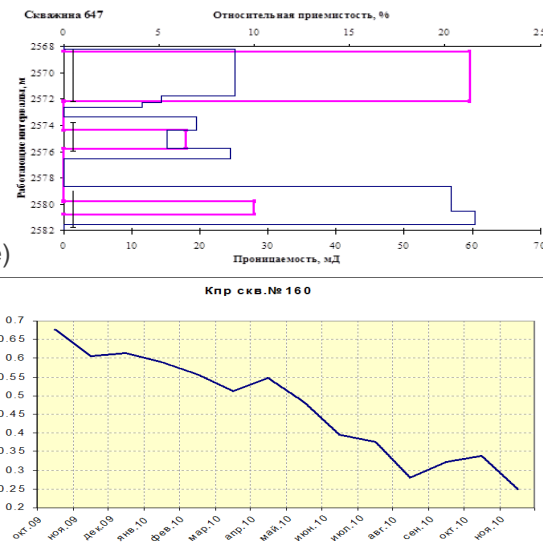
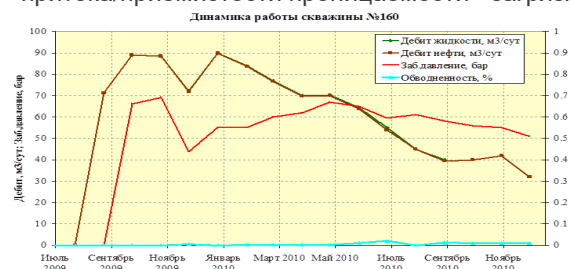
К сожалению, не всегда удаётся увидеть эти закономерности на фактических данных (т.к. фактические данные часто бывают зашумлены, есть погрешности измерений и т.д.). Но иногда это срабатывает, и графики Чена дают действительно полезную информацию об источнике обводнения.

3.5 Оценка загрязнения призабойной зоны

Оценка загрязнения призабойной зоны

Источники данных:

- Динамика работы (снижение дебитов и Кпрод при стабильной обводненности и Рпл)
- Проведенные ГТМ и ремонты скважины (ОПЗ, ГРП снижают скринеры, глушение скважины при ремонтах может вызывать кольматацию ПЗП)
- ГДИС (скринеры, Рпл)
- ПГИ (несоответствие профилей притока/приемистости проницаемости - загрязнение)

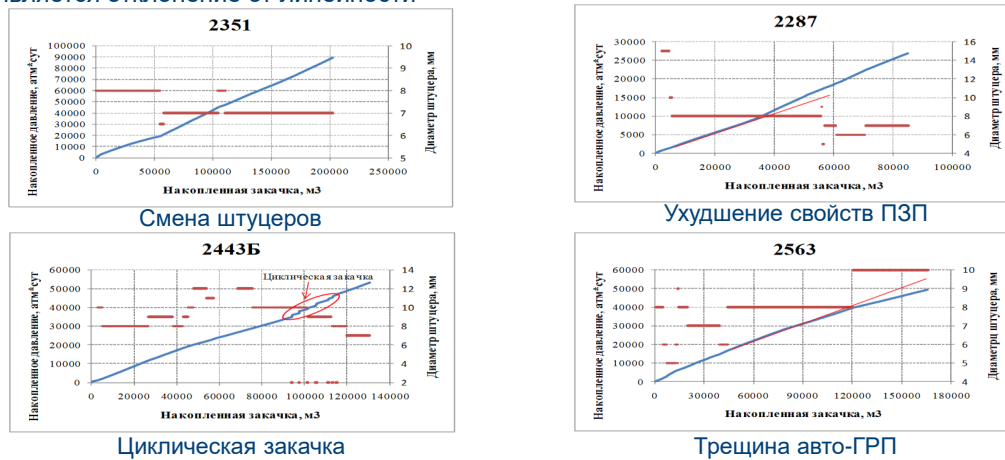


© ООО «Газпромнефть НТЦ», 2020 г. | 122

3.6 Оценка наличия трещин авто-ГРП на нагнетательных скважинах

Оценка наличия трещин авто-ГРП на нагнетательных скважинах

График Холла – график суммы давления закачки, умноженного на время, в декартовых координатах, как функцию общего нагнетаемого объема воды. Диагностическим параметром является отклонение от линейности



© ООО «Газпромнефть НТЦ», 2020 г. | 123

Если график отклоняется вверх от диагональной прямой (т.е. для закачки такого же объема воды требуется большее давление), то это говорит нам об ухудшении свойств призабойной зоны. Если график отклоняется вниз от диагональной прямой (т.е. для закачки такого же объема воды требуется меньшее давление), то это говорит нам о трещине авто-ГРП (улучшение проницаемости в призабойной зоне).

Дребезжание на графике Холла отражает поведение при циклической закачке.

Отклонения на графике Холла могут быть вызваны не только изменением свойств призабойной зоны, но и изменением диаметра штуцера (при смене штуцеров). Этот факт важно учитывать при анализе графиков Холла, чтобы не сделать ошибочные выводы.

3.7 Исходные данные по скважинам

Исходные данные по скважинам

По каждой скважине необходима информация

- Траектория (координаты устья, инклинометрия)
- Принадлежность к группе*
- Добыча и закачка
- Дата, интервал перфорации
- Данные по проведенным ГТМ (дата, интервал, скин)
- Данные ГДИС (Рпл, скин, проницаемость)
- Данные по ПГИ (профиль притока/приемистости, ЗКЦ)

© ООО «Газпромнефть НТЦ», 2020 г. | 124

Принадлежность к группе создаётся, если хотим отслеживать, как работают отдельные кусты скважин или скважины, относящиеся к одной какой-либо группе - например, к одной ДНС (дожимной насосной станции).

3.8 Моделирование притока к скважине

Моделирование притока к скважине

Радиальный поток

$$q_o = \frac{2\pi k_{ro} k_{abs} h (\textcolor{red}{P}_e - P_{wf})}{\mu_o B_o [\ln(\textcolor{red}{r}_e/r_w) + S_{field}]}$$

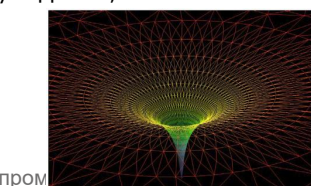
Компьютерная модель

$$q_{oi} = \frac{2\pi k_{ro,i} k_{abs,i} \Delta Z_i N T G_i (\textcolor{red}{P}_{o,i} - P_{wf})}{\mu_{o,i} B_{o,i} [\ln(\textcolor{red}{r}_p/r_w) + S_{model}]}$$

Для расчёта притока в скважину из ячейки, которую она вскрывает, вместо давления на контуре питания используется давление в этой ячейке, а вместо радиуса контура питания используется расстояние от скважины, на котором давление (с учетом воронки депрессии) будет равно среднему давлению в ячейке. Это расстояние называется радиусом Писмана. Чтобы дебит в модели совпадал с рассчитанным по формуле Диююи, изменяется также и скин.

r_p - радиус Писмана - вычисляется из соображений, что переток через границу ячейки, рассчитанный по закону Дарси, будет равен притоку к скважине

Это радиус контура питания, на котором давление равно давлению в ячейке, которую вскрывает скважина



© ООО «Газпром»

Моделирование притока к скважине

Peaceman вывел следующие уравнения для эквивалентного радиуса, используемые в современных симуляторах

Анизотропный пласт

$$r_p = 0.28 \sqrt{\sqrt{\frac{k_y}{k_x}} \Delta x^2 + \sqrt{\frac{k_x}{k_y}} \Delta y^2}$$

Изотропный пласт

$$k_x = k_y$$

$$r_p = 0.14 \sqrt{\Delta x^2 + \Delta y^2}$$

$$\Delta x = \Delta y$$

$$r_p = 0.198 \Delta x$$

© ООО «Газпромнефть НТЦ», 2020 г. | 126

3.9 Способы инициализации модели в симуляторах

Способы инициализации модели в симуляторах

- Неравновесный
(явное задание Pressure и Swat либо из рестартов)
- Равновесный
- Равновесный с соблюдением начальной насыщенности

© ООО «Газпромнефть НТЦ», 2020 г. | 127

Фактически при инициализации модели задаём начальные условия.

3.9.1 Неравновесный

Способы инициализации модели в симуляторах

Неравновесный

Не требует слова **EQUIL**, явное задание начальных условий:

массив **PRESSURE**

+

массив **SWAT**

либо

массив **SWAT**

+

PRVD

PRVD (давление в нефт фазе)

2133.6 159.3

2438.4 182.1

2743.2 206.2

3048.0 233.8 /

ПОСЛЕ ИНИЦИАЛИЗАЦИИ МОГУТ НАЧАТЬСЯ ПЕРЕТОКИ!

© ООО «Газпромнефть НТЦ», 2020 г. | 128

Неравновесный: задаются значения давления и насыщенности на начальный момент времени во всех ячейках. На начальный момент времени залежь не находится в равновесии. После инициализации могут начаться перетоки даже в том случае, если в модели нет никаких скважин. Такой способ инициализации на практике практически не встречается (ведь всегда предполагается, что залежь формировалась долгое время, за которое все флюиды пришли в гидростати-

ческое равновесие).

3.9.2 Равновесный

Способы инициализации модели в симуляторах

Равновесный

Обязательно использовать ключевое слово **EQUIL**

давление нефтяной фазы в точке отсчета	ECLIPSE										глубина ВНК/FWL
точка отсчета	2180	226	2179.5	0.0	2150.0	0.0	2*	-5	/	глубина ГНК	
	2180	226	2176.0	0.0	2150.0	0.0	2*	10	/	параметр определяющий точность расчета запасов (на сколько частей разбивается ячейка на контакте по формуле $2 N +1$ для $N<0$ и N , если $N>0$)	
	2180	226	2160.0	0.0	2150.0	0.0	2*	0	/		
	/		капиллярное давление на ВНК/FWL		капиллярное давление на ГНК						

© ООО «Газпромнефть НТЦ», 2020 г. | 129

На практике обычно используют равновесный способ инициализации.

Способы инициализации модели в симуляторах

Равновесный Каким образом симулятор инициализирует модель (если точка отсчета лежит в пределах водонефтяной зоны)?

1. Вычисляется давление в нефтяной фазе (P_{oil}) вверх и вниз от точки отсчета
2. Таким образом получается давление P_{oil} на заданном контакте
3. Давление в водяной фазе на контакте (P_{water}) получается отниманием капиллярного давления заданного на контакте ($P_{water}=P_{oil}-P_{cap}$)
4. После чего давление в водяной фазе вычисляется вверх и вниз от точки контакта согласно гидростатике
5. Далее, после того, как рассчитаны давления фаз согласно таблице $P_c(S_w)$, заданной, например, в слове **SWOF**, находится значение S_w в каждой ячейке согласно разнице давлений фаз $P_c(S_w)=P_{oil}-P_{water}$

© ООО «Газпромнефть НТЦ», 2020 г. | 130

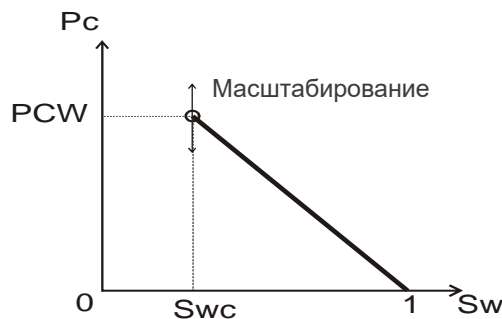
3.9.3 Равновесный с соблюдением начальной насыщенности

Способы инициализации модели в симуляторах

Равновесный с соблюдением начальной насыщенности

Ключевые слова **EQUIL+SWATINIT**

У каждой ячейке симулятор масштабирует кривую капиллярного давления, так чтобы соблюсти заданную насыщенность **SWATINIT**



грид масштабных коэффициентов
можно посмотреть:

RPTRST

BASIC=2 FIP KRW (PCOW PPCW)

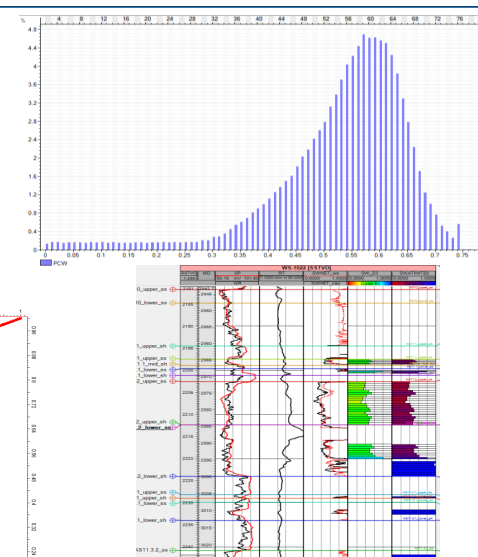
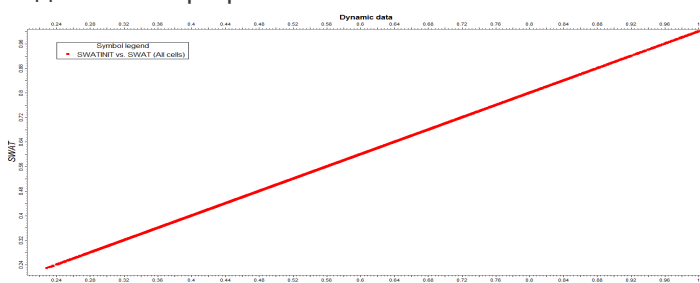
© ООО «Газпромнефть НТЦ», 2020 г. | 131

3.10 Оценка корректности инициализации ГДМ

Оценка корректности инициализации ГДМ

Как убедиться в корректности инициализации?

1. SWAT(0)=SWATINIT
2. PCW в пределах заданных значений
3. Запасы в ГДМ совпадают с геомоделью $\pm 1\%$
4. Отсутствие изменений насыщенности и давления при расчете без скважин



© ООО «Газпромнефть НТЦ», 2020 г. | 132

1. Можно сравнить насыщенность на начальный шаг с заданной насыщенностью
2. Можно оценить диапазоны изменения куба капиллярного давления после инициализации и сравнить их с теми, которые получали при исследовании на керне
3. Можно оценить, совпадают ли запасы в ГДМ с геомоделью

4. Можно провести расчёт модели без скважин и убедиться в отсутствии изменений насыщенности и давления (для равновесных инициализаций)

3.11 Аналитический аквифер

Аналитический аквифер

Точное решение Hurst van Everdingen

аквифер конечных размеров

$$P(t_D) = \frac{2}{(r_D^2 - 1)} \left(\frac{1}{4} + t_D \right) - \frac{(3r_D^4 - 4r_D^4 \log_e r_D - 2r_D^2 - 1)}{4(r_D^2 - 1)^2}$$

$$+ 2 \sum_{n=1}^{\infty} \frac{e^{-\beta_n^2 t_D} J_1^2(\beta_n r_D)}{\beta_n^2 [J_1^2(\beta_n r_D) - J_1^2(\beta_n)]}$$

$$t_D = \frac{kt}{\phi \mu c r_o^2}$$

безразмерное время

$P(t_D)$ – безразмерное решение уравнения диффузии

k – проницаемость аквифера

t – время с начала разработки

μ – вязкость воды в пластовых условиях

© ООО «Газпромнефть НТЦ», 2020 г. | 133

Переходим к граничным условиям.

На границах, если есть водоносный горизонт, то его можно задать в модели.

Есть точное решение Hurst van Everdingen, которое описывает приток из аквифера конечных размеров.

Но в модели такое точное решение не задать.

Аналитический аквифер

Модель Carter-Tracy (AQUCT)

$$\overline{Q}_{ai} = \alpha_i \{ a - b [p_i(t + \Delta t) - p_i(t)] \}$$

$$a = \frac{1}{T_c} \left\{ \frac{\beta \Delta p_{ai} - W_a(t) PI_D'(t + \Delta t)_D}{PI_D(t + \Delta t)_D - t_D PI_D'(t + \Delta t)_D} \right\}$$

$$b = \frac{\beta}{T_c [PI_D(t + \Delta t)_D - t_D PI_D'(t + \Delta t)_D]}$$

$$\Delta p_{ai} = p_{a0} + \rho g (d_i - d_a) - p_i(t)$$

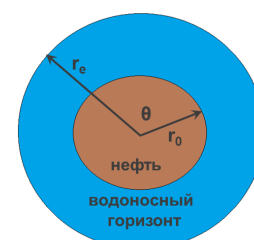
$$T_c = \frac{\mu_w \phi C_f r_o^2}{k_a c_1}$$

$$\alpha_i = \frac{m_i A_i}{\sum m_i A_i}$$

$$\beta = c_2 h \theta \phi C_f r_o^2$$

$$p_{a0} - \bar{p} = \frac{Q_a}{\beta} PI_D(t_D)$$

$$t_D = \frac{t}{T_c}$$



- Результаты по модели Carter-Tracy близки к аналитическому решению Hurst and van Everdingen
- Модель описывает переход из неустановившегося в псевдо-установившийся режим течения
- Недостатком метода является его привязка к геометрии модели

r_0 – радиус контура нефтеносности

Параметры аквифера:

θ – угол влияния аквифера

r_e – внешний радиус аквифера

ФЕС аквифера, общая сжимаемость системы, площадь контакта аквифера с залежью

© ООО «Газпромнефть НТЦ», 2020 г. | 134

Поэтому Carter-Tracy разработали модель притока из аквифера, результаты расчётов по которой близки к аналитическому решению Hurst van Everdingen.

Модель Carter-Tracy задаётся в ГДМ симуляторах с помощью ключевого слова AQUST.

Модель Carter-Tracy рекомендуется использовать либо для больших залежей, либо для низко-проницаемых залежей (другими словами, для залежей, на которых режим течения устанавливается не быстро).

Аналитический аквифер

Модель Fetkovich ([AQUFET](#))

$$q_w = \frac{dWe}{dt} = J(\bar{p}_a - p)$$

q_w – дебит воды

J – продуктивность аквифера

\bar{p}_a - среднее давление аквифера

p – среднее давление нефтеносного горизонта

- Вычисления по модели Fetkovich не привязаны к какой-либо геометрии пласта
- Простое решение уравнения диффузии

Недостаток:

- Уравнение **не описывает неустановившегося режима** притока воды

© ООО «Газпромнефть НТЦ», 2020 г. | 135

Для высокопроницаемых или маленьких залежей есть более простая модель Fetkovich, которая моделирует приток из аквифера просто в виде произведения продуктивности аквифера и разницы давлений.

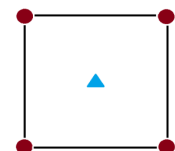
Для больших или низкопроницаемых залежей модель Fetkovich использовать не рекомендуется.

В этом случае лучше использовать модель Carter-Tracy.

3.12 Упражнение 2. Создание синтетической ВОХ-модели

Упражнение 2. Создание синтетической ВОХ-модели

- Создать ВОХ-модель с декартовой сеткой 61*114*40 ячеек 100*100*0.2м, глубина кровли 2000 м, ЗСВ 2008 м
- Пористость 0.2, проницаемость по X,Y 100 мД, по Z - 1мД
- ОФП и PVT-свойства взять по результатам Упражнения 1
- Разместить скважины по 5-точечной схеме (хотя бы один элемент)



© ООО «Газпромнефть НТЦ», 2020 г. | 136

3.13 Упражнение 3. Инициализация ГДМ

Упражнение 3. Инициализация ГДМ

- Дополнить модель из Упражнения 2 гридами структуры, пористости, активных ячеек
- Проницаемость задать по зависимости от пористости (по керну), анизотропию проницаемости по керну, ЗСВ 1252 м
- Проинициализировать модель различными способами:
 - EQUIL + P_c (задать различные величины P_c на контакте)**
 - EQUIL + SWATINIT**
- Понять как меняется начальное распределение насыщенности (и запасы) в модели в зависимости от способа инициализации

© ООО «Газпромнефть НТЦ», 2020 г. | 137

3.14 Задание истории работы скважин

Задание истории работы скважин

WELSPECS определяет новую скважину

COMPDAT определяет местоположения и параметры перфорации скважины

WCONHIST определяет фактические дебиты и давления при воспроизведении истории

WCONINJH определяет фактические приемистости и давления при воспроизведении истории

WEOPEN используется для открытия и закрытия скважин / перфораций

WEFAC определяет коэффициент эксплуатации скважины

WELPI, WPIMULT изменяет коэффициент продуктивности

DATES определяет дату отчетного шага, до которой будет идти расчет

TSTEP определяет длину следующего временного шага

END знаменует окончание расчета

© ООО «Газпромнефть НТЦ», 2020 г. | 138

Здесь перечислены ключевые слова для задания истории работы скважин.

3.15 Упражнение 4. Подготовка SCHEDULE-секции

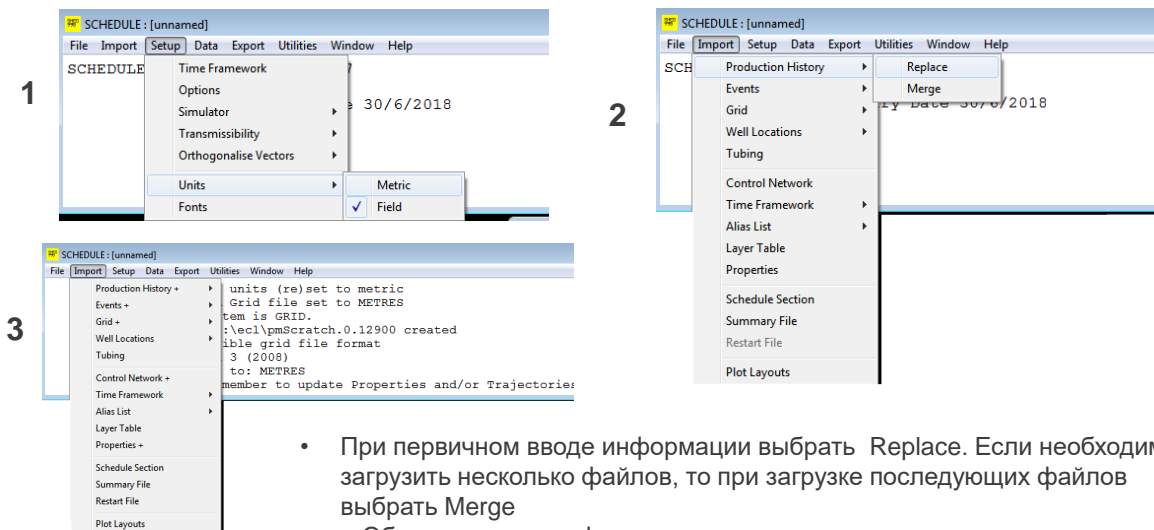
Упражнение 4. Подготовка Schedule-секции

- Собрать секцию SCHEDULE на основе подготовленных данных по траекториям скважин, перфорациям, замерам давления, добыче, распределении скважин по группам и модели из Упражнения 3

© ООО «Газпромнефть НТЦ», 2020 г. | 139

3.16 Алгоритм работы в ПО SCHEDULE

Алгоритм работы в ПО Schedule

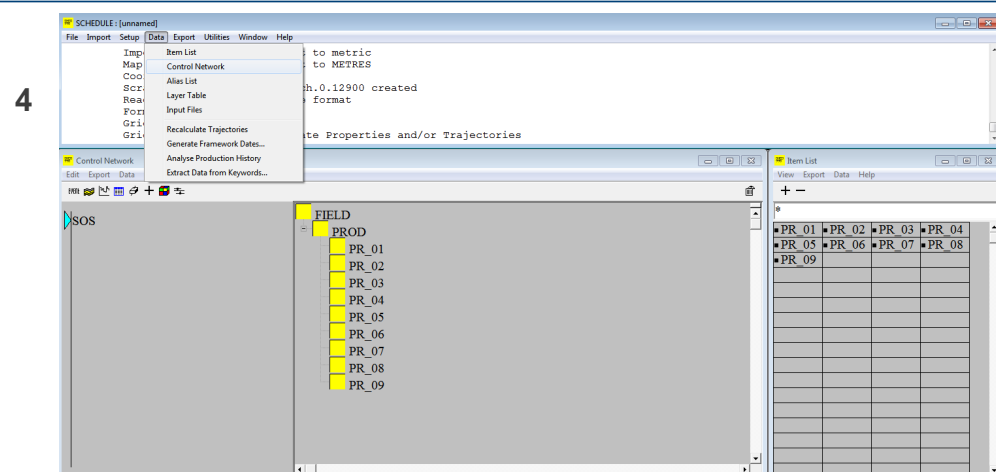


© ООО «Газпромнефть НТЦ», 2020 г. | 140

На слайдах показан процесс работы в ПО SCHEDULE. Раньше поставлялось в пакете Schlumberger вместе с Eclipse, сейчас практически не используется.

Информация на слайдах будет полезна, если вдруг появится необходимость работы с ПО SCHEDULE.

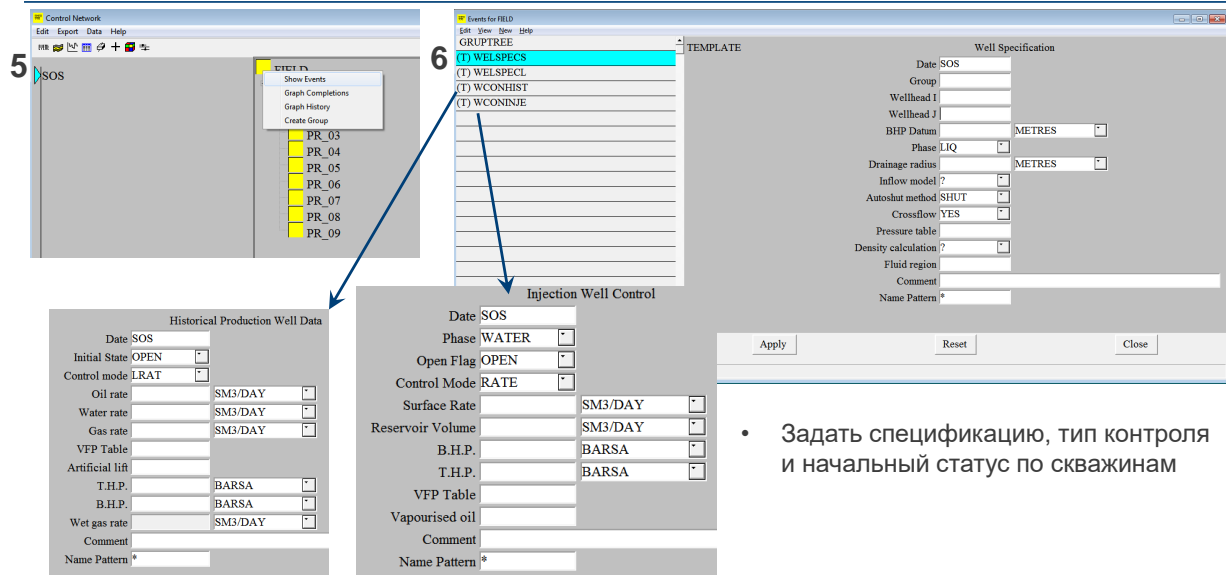
Алгоритм работы в ПО Schedule



- После загрузки всей информации, открыть Item List и Control Network
- Если в Item List отсутствует квадратик перед скважиной, значит не вся информация подгружена
- В Control Network проверить корректность отнесения скважин к группам

© ООО «Газпромнефть НТЦ», 2020 г. | 141

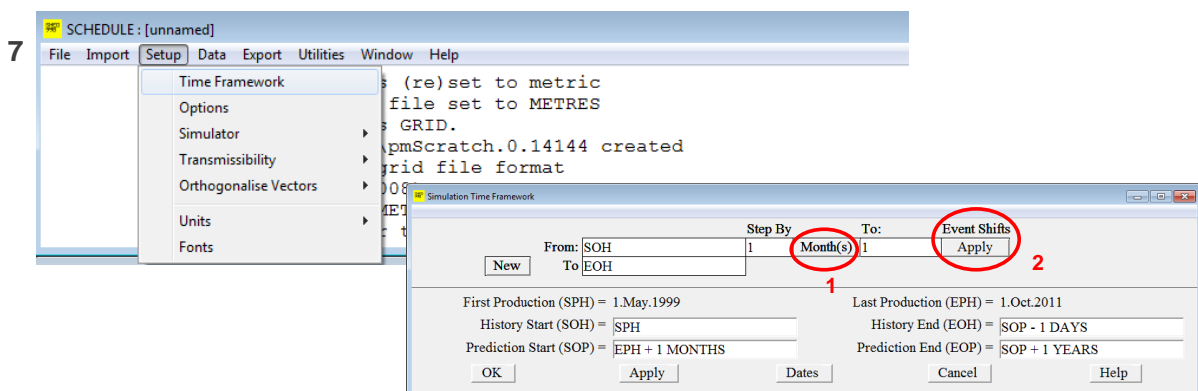
Алгоритм работы в ПО Schedule



- Задать спецификацию, тип контроля и начальный статус по скважинам

© ООО «Газпромнефть НТЦ», 2020 г. | 142

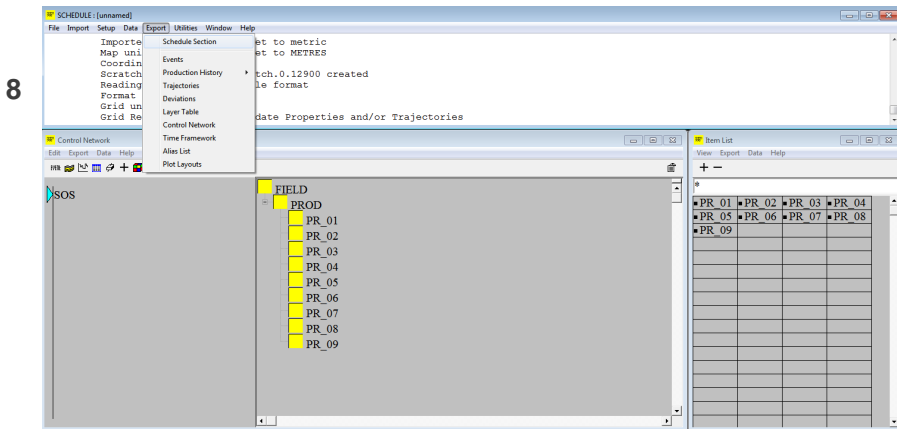
Алгоритм работы в ПО Schedule



- Задать шаг моделирования (рис.1 – день, месяц или год)
- Если события на скважинах (перфорации, изоляции) указаны на точные даты, а добыча на первое число месяца, то выбрать Apply (рис.2). Если все события указаны в одном формате, то выбрать Ignore (рис.2).
- Задать начало и окончание истории и прогноза

© ООО «Газпромнефть НТЦ», 2020 г. | 143

Алгоритм работы в ПО Schedule

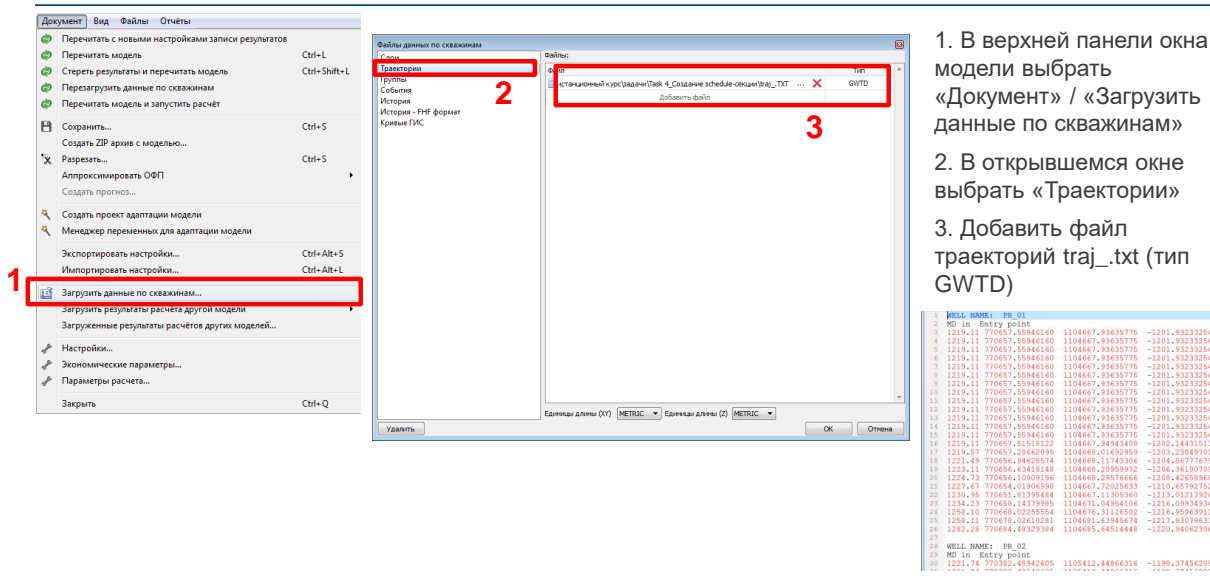


- Выгрузить Schedule-секцию для data-файла в формате Eclipse

© ООО «Газпромнефть НТЦ», 2020 г. | 144

3.17 Загрузка истории эксплуатации

Загрузка истории эксплуатации

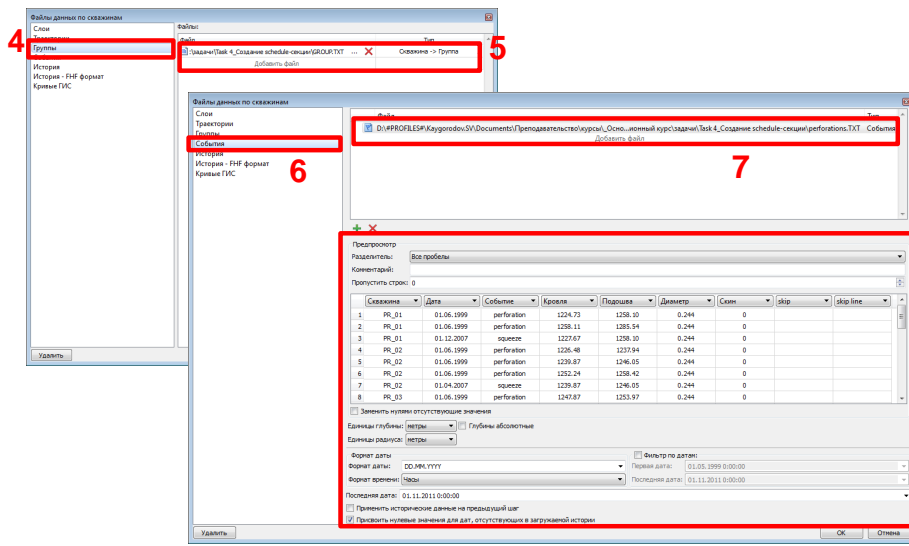


- В верхней панели окна модели выбрать «Документ» / «Загрузить данные по скважинам»
- В открывшемся окне выбрать «Траектории»
- Добавить файл траекторий traj_.txt (тип GWTD)

© ООО «Газпромнефть НТЦ», 2020 г. | 145

Можно сформировать SCHEDULE секцию с помощью tNavigator. Для этого необходимо воспользоваться опцией: Загрузить данные по скважинам... И далее действовать по алгоритму на слайдах.

Загрузка истории эксплуатации



4. Выбрать «Группы»
5. Добавить файл распределения скважин по группам GROUP.TXT

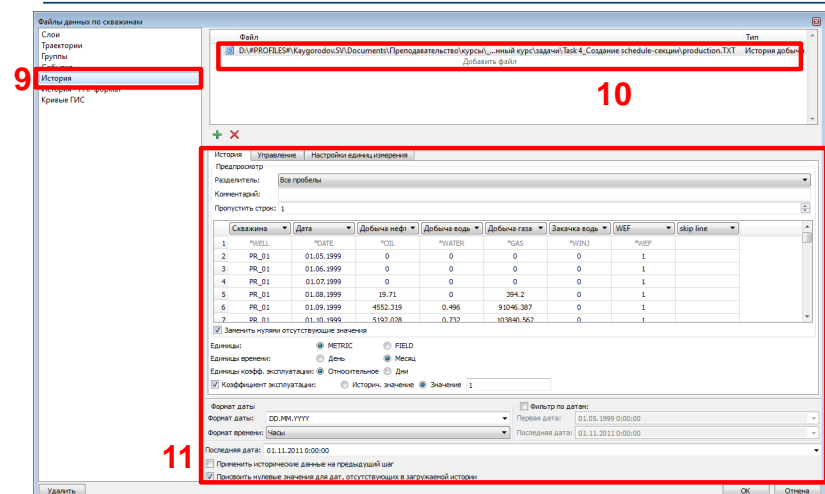
6. Выбрать «События»
7. Добавить файл с событиями на скважине Events.TXT

8. Указать настройки считывания файла

1	'PR_01'	'PROD'
2	'PR_02'	'PROD'
3	'PR_03'	'PROD'
4	'PR_04'	'PROD'
5	'PR_05'	'PROD'
6	'PR_06'	'PROD'
7	'PR_07'	'PROD'
8	'PR_08'	'PROD'
9	'PR_09'	'PROD'

© ООО «Газпромнефть НТЦ», 2020 г. | 146

Загрузка истории эксплуатации



9. Выбрать «История»
10. Добавить файл истории работы скважин History.TXT
11. Указать настройки считывания файла

*	*WELL	*DATE	*OIL	*WATER	*GAS	*WINJ	*WEF
1	PR_01	01.05.1999	0.0	0.0	0.0	0.0	0.0
2	PR_01	01.06.1999	0.0	0.0	0.0	0.0	0.0
3	PR_01	01.06.1999	0	0	0	0	0
4	PR_01	01.07.1999	0	0	0	0	0
5	PR_01	01.08.1999	19.71	0	394.2	0	1
6	PR_01	01.09.1999	4552.319	0.496	91046.387	0	1
7	PR_01	01.10.1999	5192.028	0.732	103840.562	0	1

© ООО «Газпромнефть НТЦ», 2020 г. | 147

Загрузка истории эксплуатации

12. В настройках считывания файла выбрать вкладку «Управление»
 13. Указать режим работы Добывающих скважин
 14. Указать режим работы Нагнетательных скважин
 15. Нажать «OK»
 16. Во всплывшем окне нажать «Yes»

В папке с моделью создалась папка USER, в которой создан файл истории эксплуатации скважин на основе загруженных данных TASK_4_schedule_0000_User wells events.inc

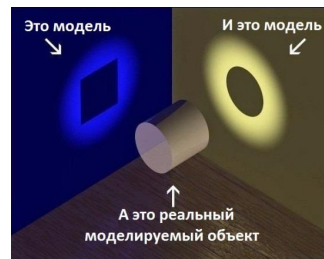
© ООО «Газпромнефть НТЦ», 2020 г. | 148

3.18 Адаптация модели

Адаптация модели

Адаптация модели – изменение параметров модели, обладающих неопределенностью, с целью минимизации отклонения расчетных параметров работы скважин и месторождения от фактически замеренных

Задача адаптации ГДМ – обратная задача восстановления параметров геологического строения пласта по данным истории добычи, решается методами теории обратных задач и **имеет множество «правильных» решений**



Обычный подход – ручная корректировка параметров модели на основе опыта и представлений о физике пласта

Различные программные комплексы позволяют осуществлять **автоадаптацию** на основе алгоритмов локальной и глобальной оптимизации

© ООО «Газпромнефть НТЦ», 2020 г. | 149

После указания всех данных в модели можем поставить её на расчёт и обнаружить, что результат расчёта не совпал с фактическими замерами, которые мы в модель занесли. Почему это происходит?

Во-первых, данных недостаточно.

Во-вторых, имеющиеся данные обладают неопределенностью: у нас данные точечные (только по скважинам), а в межскважинном пространстве геолог стохастическими методами распределил свойства – даже в скважинах измеренные данные обладают погрешностью, а в межс匮乏-

жинном пространстве эта погрешность тем более есть.

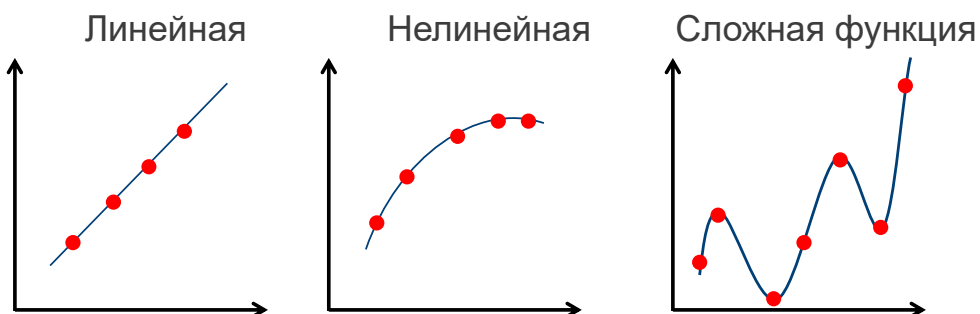
Перед тем как использовать построенную модель её нужно настроить на факт. Другими словами, необходимо провести адаптацию модели.

Но существует бесконечное множество сочетаний параметров модели, при которых результат расчёта этой модели будет с заданной точностью совпадать с фактом, замеренным по скважинам.

Задача оптимизационных алгоритмов: варьируя параметры модели, устремить целевую функцию к нулю.

3.18.1 Обратные задачи

Обратные задачи

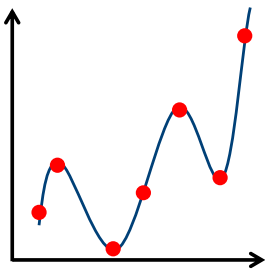


© ООО «Газпромнефть НТЦ», 2020 г. | 150

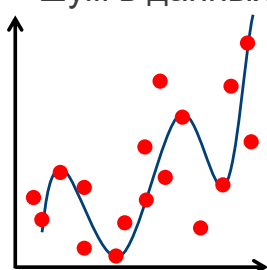
Здесь ясно, как аппроксимировать имеющиеся замеры.

Обратные задачи

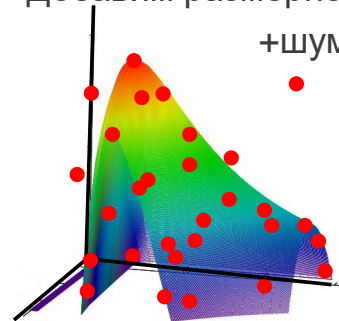
Сложная функция



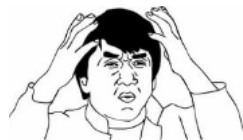
Та же функция
+шум в данных



Добавим размерность
+шум



и ещё размерности...



© ООО «Газпромнефть НТЦ», 2020 г. | 151

Но если есть шум и несколько размерностей, то задача подбора нужной поверхности становится нетривиальной и может иметь бесконечное множество разумных решений. В этом случае очень сложно вручную подобрать параметры; необходимо осуществлять автоадаптацию и проверять найденные решения на разумность и физичность с точки зрения рассматриваемой ГД-модели.

3.18.2 Адаптация модели на разных стадиях разработки

Адаптация модели на разных стадиях разработки

I. Период до начала добычи

- Настройка на ГДИС
- Уточнение проницаемости и анизотропии

II. Период безводной добычи

- Настройка на ГДИС, динамику добычи и давления
- Уточнение проницаемости и анизотропии, параметров аквифера, сжимаемости, Кпрод по скважинам, проводимости разломов

III. Период обводненной добычи

- Настройка на ГДИС, динамику добычи и давления, обводненность
- Уточнение проницаемости и анизотропии, параметров аквифера, сжимаемости, Кпрод по скважинам, проводимости разломов, ОФП, остаточных насыщенностей, источников обводнения

© ООО «Газпромнефть НТЦ», 2020 г. | 152

На разных периодах разработки месторождения настраиваем разные параметры модели.

Период до начала добычи = blue field.

Период безводной добычи = green field.

Период обводнённой добычи = brown field.

Адаптация модели

1. Адаптация по отборам жидкости
2. Адаптация по пластовому давлению
3. Адаптация по соотношению нефть/вода
4. Адаптация по коэффициенту продуктивности и Рзаб

Любая перестановка пунктов приведет к двойной работе



© ООО «Газпромнефть НТЦ», 2020 г. | 153

Обычно адаптация идёт от крупного к мелкому (от месторождения к скважинам).

Сначала настраиваем энергетическое состояние залежи: матбаланс по скважинам и пластовое давление.

После настройки энергетики, переходим к настройке по соотношению нефть/вода или нефть/газ. Т.е. к настройке по отборам конкретных флюидов.

И финально производится настройка по коэффициентам продуктивности и забойным давлениям.

3.18.3 По отборам жидкости и пластовому давлению

Адаптация по отборам жидкости и пластовому давлению

Параметры, изменяемые для адаптации:

- Абсолютная проницаемость
- Параметры аквифера
- Вертикальная и латеральная связность пласта (ГМ)
- Распределение добычи и закачки по пластам
- Учет перетоков, ЗКЦ
- Сжимаемость порового пространства*

*Сжимаемость порового пространства, как правило, оказывает слабое влияние на динамику Рпл

© ООО «Газпромнефть НТЦ», 2020 г. | 154

Если говорить о месторождениях в Западной Сибири, то там пласти имеют сжимаемость по-

рядка 10^{-5} атм $^{-1}$, что приводит к тому, что сжимаемость фактически не оказывает ощутимого влияния на динамику пластового давления.

3.18.4 По соотношению нефть/вода

Адаптация по соотношению нефть/вода

Параметры, изменяемые для адаптации:

- ОФП
- Остаточные насыщенности*
- Абсолютная проницаемость
- Анизотропия проницаемости
- Проводимость разломов
- Вертикальная и латеральная связность пласта (ГМ)
- Параметры аквифера
- Распределение добычи и закачки по пластам
- Учет перетоков, ЗКЦ
- Вертикальная неоднородность (поинтервальный приток по ПГИ)

*Необходимо ограничивать диапазоны вариации параметров пределами, которые оценены по фактическим данным. Особенно важно обращать внимание на ост.насыщенности, т.к. они напрямую влияют на запасы и Квыт

© ООО «Газпромнефть НТЦ», 2020 г. | 155

При варьировании остаточных насыщенностей гораздо легче испортить модель, чем при варьировании, например, абсолютной проницаемости.

3.18.5 По коэффициенту продуктивности и Рзаб

Адаптация по коэффициенту продуктивности и Рзаб

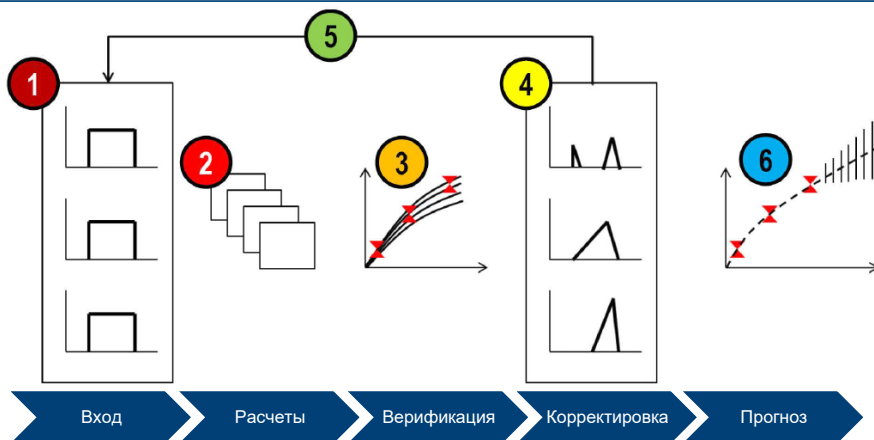
Параметры, изменяемые для адаптации:

- Скин-фактор и Кпрод (с учетом ГДИС, ПГИ и предварительного анализа работы скважин)
- Абсолютная проницаемость вблизи скважины

© ООО «Газпромнефть НТЦ», 2020 г. | 156

3.19 Уточнение распределений параметров при адаптации модели

Адаптация модели



Результатом адаптации модели должно стать уточнение распределений параметров, обладающих неопределенностью и влияющих на результаты расчета (если найдено несколько решений, удовлетворяющих допустимым интервалам расхождения с фактом)

По материалам Schlumberger NExT

© ООО «Газпромнефть НТЦ», 2020 г. | 157

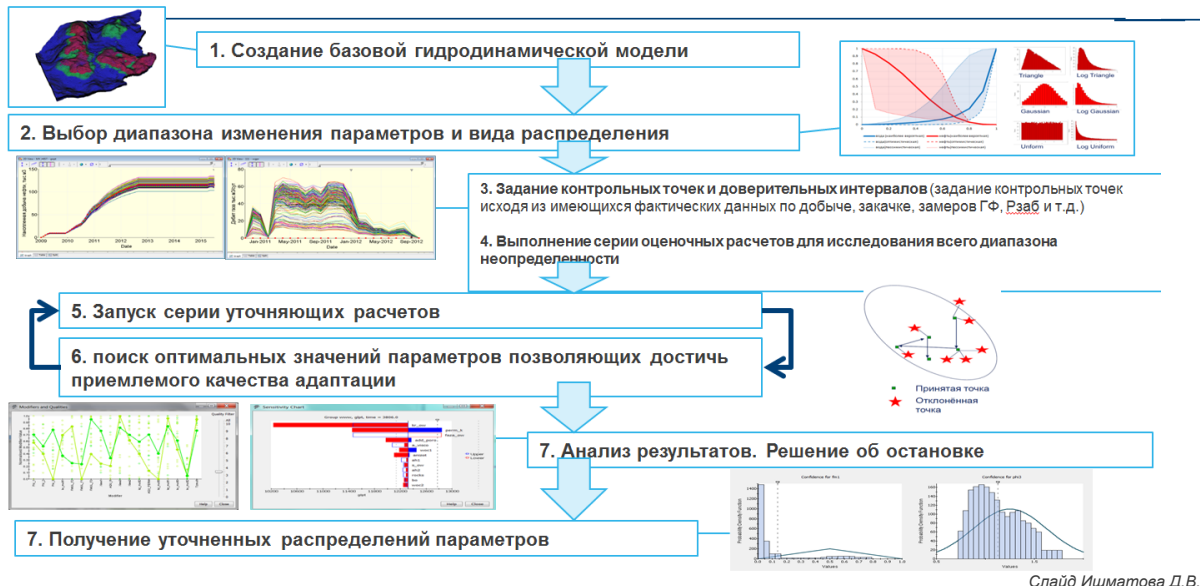
Можно воспринимать адаптацию модели, как уточнение исходных распределений параметров, т.е. на начальный момент времени у нас есть параметры, обладающие неопределённостями в каком-то диапазоне, но сами виды распределений (какие значения параметра наиболее вероятны или менее вероятны) мы не знаем.

Из-за отсутствия информации о виде распределения обычно задают равномерное распределение возможных значений параметра в заданном диапазоне. Далее проводится расчёт модели со значениями параметров в рассматриваемых диапазонах, и мы видим, что какие-то из результатов расчётов не будут соответствовать фактическим замерам (даже с учётом допустимой погрешности). Это позволит нам сузить диапазоны вариации исходных данных и уточнить виды распределения. Например, от равномерных распределений можем прийти к нормальным или треугольным распределениям.

Другими словами, адаптацию можно рассматривать в качестве проверки, в каких диапазонах исходные данные (значения параметров) могут находиться и какие значения этих параметров наиболее вероятны.

3.19.1 Алгоритм проведения автоадаптации

Алгоритм проведения автоадаптации



Слайд Ишматова Д.В.

© ООО «Газпромнефть НТЦ», 2020 г. | 158

3.19.2 Программы автоадаптации

Программы автоадаптации

Большого распространения эти программы не получили, большинство специалистов по ГДМ используют ручные/ «полуручные» методы

Недостатки:

- Математическое решение (м.б. нефизичным/ негеологичным)
- Длительность подготовки графа адаптации
- Длительность расчетов

Популярное ПО для автоадаптации:

- SimOpt (Schlumberger)
- MEPO (SPT Group / Schlumberger)
- Enable (Roxar)
- Автоадаптация (RFD tNavigator)
- CMOST (CMG)

© ООО «Газпромнефть НТЦ», 2020 г. | 159

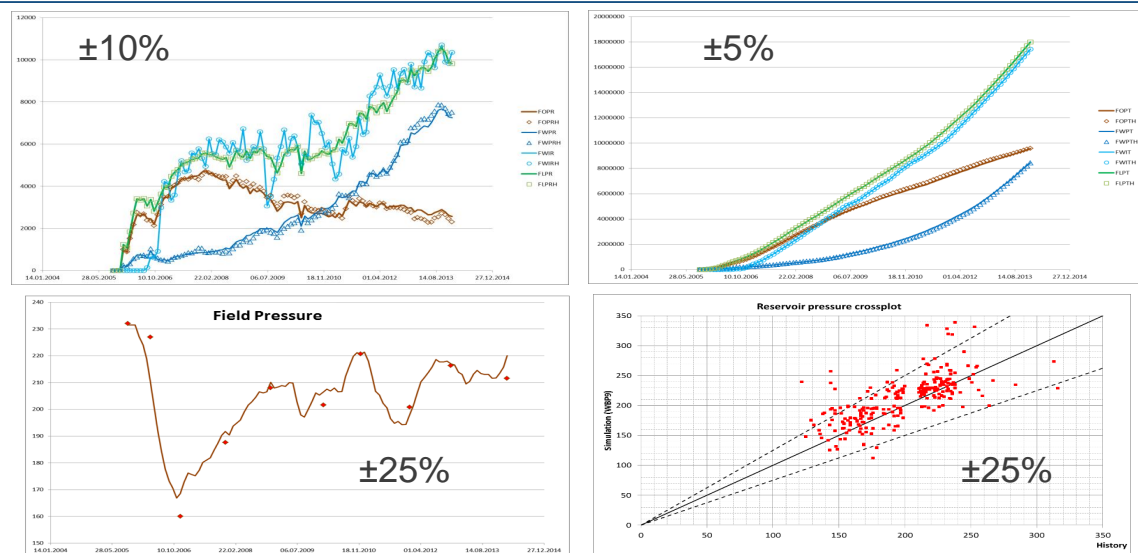
Сейчас программы автоадаптации используются в качестве вспомогательного инструмента, чтобы быстрее найти решение / сузить диапазоны поиска значений параметров.

После проведения автоадаптации всё равно необходимо проводить дополнительный анализ на физичность / геологичность найденных сочетаний параметров. Другими словами, на данный момент программы автоадаптации решают чисто оптимизационную задачу и не способны самостоятельно учесть всевозможные нефизичности найденных сочетаний параметров.

Но есть проекты когнитивной автоадаптации, в которых пытаются контролировать физическую / геологическую обоснованность всех параметров и их сочетаний в автоматическом режиме. Адаптация модели является самым времязатратным периодом работы с моделью (может занимать несколько месяцев работы до окончательной настройки модели).

3.19.3 Критерии адаптации

Критерии адаптации



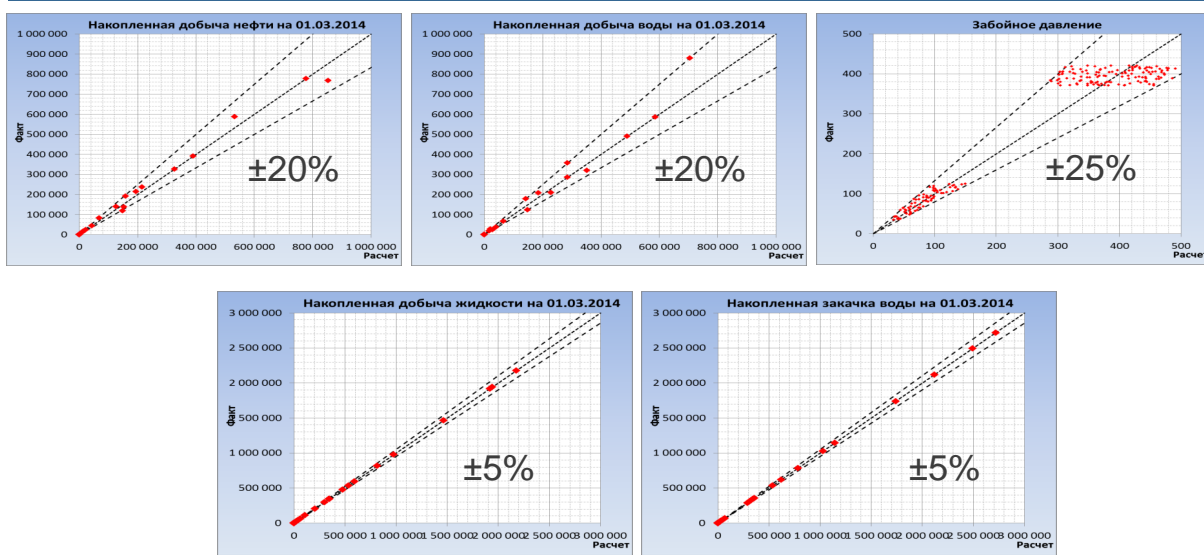
© ООО «Газпромнефть НТЦ», 2020 г. | 160

Критерии адаптации, если смотрим в целом по месторождению (сумму по всем скважинам). По дебитам воды, нефти, жидкости, газа ошибка не должна превышать 10%.

По накопленной добыче воды, нефти, жидкости, газа ошибка не должна превышать 5%.

По пластовым давлениям по регламенту ошибка не должна превышать 25%, но обычно стараются добиться меньшего диапазона вариации.

Критерии адаптации



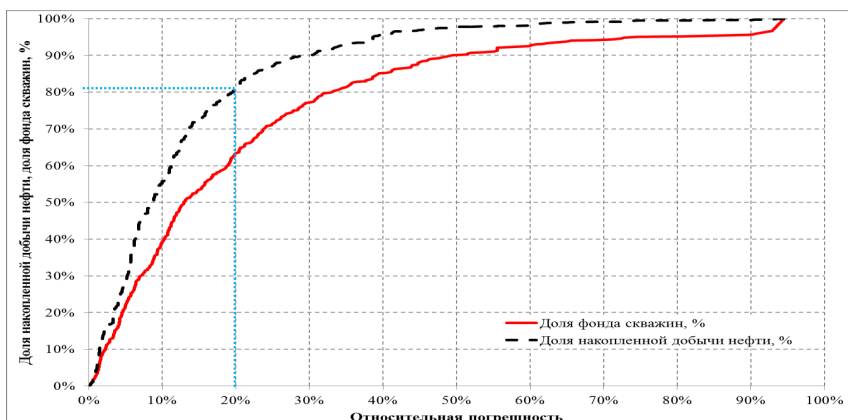
© ООО «Газпромнефть НТЦ», 2020 г. | 161

Критерии адаптации, если смотрим отдельно по скважинам.

Строятся кроссплоты расчёт-факт (отмечаются все скважины) по накопленной добыче нефти на определённую дату.

Допустимые ошибки: 20% по нефти; 20% по воде; 25% по давлению; 5% по жидкости; 5% по закачке.

Критерии адаптации



Отклонение расчетной накопленной добычи нефти не должно превышать 20% по сравнению с историей для скважин, которые обеспечивают 80% накопленной добычи нефти

© ООО «Газпромнефть НТЦ», 2020 г. | 162

Чтение представленного на слайде графика: видим, что доля фонда скважин с относительной погрешностью расчёт-факт, не превышающей 20%, составляет около 63%. И при этом эти 63% скважин обеспечивают накопленную добычу нефти чуть больше 80%.

Принцип Паретто: 20% усилий дают 80% результата; чтобы получить оставшиеся 20% резуль-

тата приходится приложить 80% усилий.

Для задач, где не требуется настройка каждой скважины (необходимо понимать только поведение месторождения в целом, например, для проектно-технологических документов), обычно требуют настройку в пределах 20% только для тех скважин, которые суммарно дают 80% накопленной добычи по месторождению.

3.19.4 «Запрещённые» и нежелательные приёмы адаптации

- #### «Запрещенные» и нежелательные приемы адаптации
-
- Умножение порового объема ячеек в нефтенасыщенной зоне
 - Задание множества необоснованных регионов ОФП, РВТ, уровней контактов
 - Необоснованное изменение остаточных насыщенностей
 - Чрезмерное увеличение проницаемости
 - Негеологичные способы модификации параметров («заплатки»)
 - Необоснованное рисование барьеров
 - Необоснованное использование несоседних соединений (NNC, PINCH)
 - Изменение входных данных (истории работы, координат скважин)

Основная цель гидродинамического моделирования – прогноз дальнейшей динамики работы месторождения при различных сценариях разработки. Использование некорректных методов адаптации модели сделает её непригодной для прогнозных расчётов.

© ООО «Газпромнефть НТЦ», 2020 г. | 163

Стоит помнить, что целью модели является прогноз дальнейшей динамики работы месторождения при различных сценариях. Если будем использовать некорректные методы адаптации, то это сделает модель непригодной для дальнейших прогнозов.

3.20 Упражнение 5. Расчёт моделей с разными наборами исходных данных

Упражнение 5. Расчет моделей с разными наборами исх.данных

Получаемый при моделировании результат чувствителен к исходным данным. Проверим как изменится расчет при отсутствии или некорректности некоторых данных.

- Нет исследований анизотропии проницаемости. Расчет с анизотропией 0.1
- В наличии только одно исследование ОФП. Расчет с ОФП Sample 4
- Взятая ранее для расчетов проба оказалась некондиционной (частично разгазированной). Новая уточненная глубинная проба нефти:

$$\rho_{\text{oil}}=836 \text{ кг}/\text{м}^3 \quad C_o=1.46 \cdot 10^{-4} \text{ бар}^{-1} \quad P_b=58 \text{ бар}$$
$$R_s=40 \text{ м}^3/\text{м}^3 \quad B_o(P_b)=1.18 \text{ м}^3/\text{м}^3 \quad \mu_{\text{oil}}=5.2 \text{ мПа}\cdot\text{s}$$

© ООО «Газпромнефть НТЦ», 2020 г. | 164

3.21 Упражнение 6. Адаптация ГДМ

Упражнение 6. Адаптация ГДМ

- Просчитать модель, определить основные невязки
- Варьируя различные параметры, садаптировать модель

Кто первый садаптирует – получит приз –
лицензионный ECLIPSE!

© ООО «Газпромнефть НТЦ», 2020 г. | 165

3.22 Упражнение 6. Адаптация ГДМ. Обсуждение результатов

Упражнение 6. Адаптация ГДМ. Обсуждение результатов

- Сравнение методов адаптации, использованных участниками
- Поочередное выступление всех участников

© ООО «Газпромнефть НТЦ», 2020 г. | 166

3.23 Групповая дискуссия

Групповая дискуссия

Группы дают ответы на вопросы (подготовка 10 мин, доклад 5 мин):

- «Какую аналитическую информацию может дать модель?»
- «Какие мероприятия по оптимизации разработки можно просчитать на модели?»

© ООО «Газпромнефть НТЦ», 2020 г. | 167

3.24 Инструменты для оптимизации разработки месторождения

Инструменты для оптимизации разработки месторождения

Карты

Анализ карт остаточных подвижных запасов нефти и пластового давления является основой для подбора кандидатов на ЗБС, уплотняющее бурение, оптимизацию ППД

Линии тока

Позволяют получать распределение потоков нефти и воды для каждой скважины на каждый шаг расчета, что открывает возможности для оптимизации системы ППД



© ООО «Газпромнефть НТЦ», 2020 г. | 168

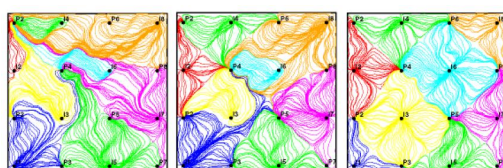
После создания и настройки модели её можно использовать для подбора вариантов разработки, оптимизации текущей разработки месторождения.

Для этого нужно провести анализ этой настроенной модели, получить из неё карты остаточных подвижных запасов нефти, карты пластового давления, карты проницаемости.

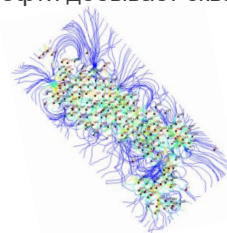
С помощью линий тока можем оценить, насколько эффективно работает каждая из нагнетательных скважин (насколько эффективно она вытесняет нефть, воду; насколько эффективно поддерживает давление).

3.25 Линии тока

- Линии тока представляют собой линии, касательные к которым в любой точке совпадают с вектором скорости течения. На каждый шаг времени распределение линий тока может меняться
- Модель линий тока рассчитывается быстрее сеточной, т.к. для определения распределения насыщенности решается одномерная задача (для давления задача остается трехмерной)
- Начало и конец линий тока – обязательно это скважины, источником и стоком может быть, например, водоносный горизонт
- Линии тока визуализируют потоки в пласте, показывая его охват заводнением
- Ещё один результат вычисления модели линий тока – таблицы (матрицы дренирования), показывающие взаимосвязь скважин в модели (например, сколько нефти добывает скважина за счёт соседней нагнетательной)



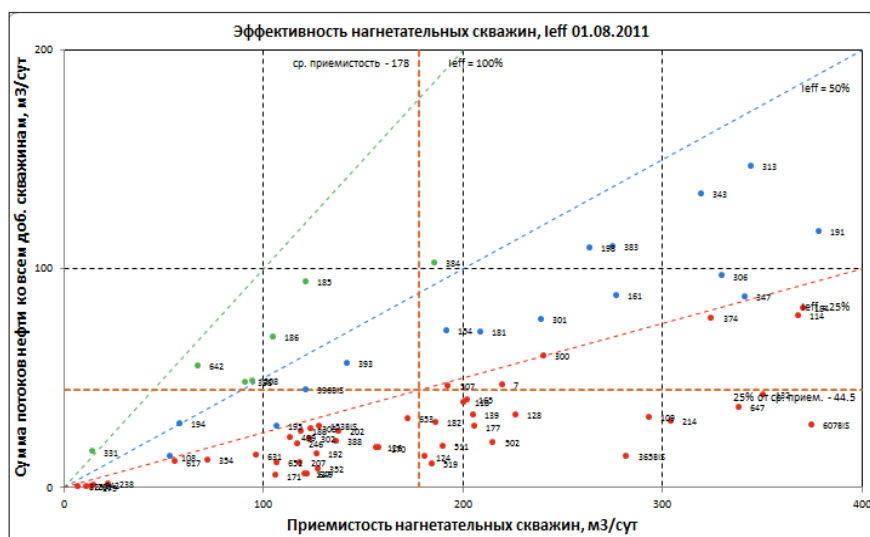
Балансировка заводнения



© ООО «Газпромнефть НТЦ», 2020 г. | 169

3.26 Оптимизация ППД на основе матриц дренирования

Оптимизация ППД на основе матриц дренирования



$$I_{eff} = \frac{\text{Добыча нефти [м}^3/\text{сут]}}{\text{закачка воды [м}^3/\text{сут]}}$$

Сколько нефти добыто в результате закачки 1м³ воды

Низкие значения I_{eff} показывают какие нагнетательные скважины **неэффективно** вытесняют нефть

Перераспределение закачки в более эффективные скважины позволит увеличить эффективность заводнения и увеличить дебит нефти

© ООО «Газпромнефть НТЦ», 2020 г. | 170

Оптимизация ППД на основе матриц дренирования



$$Iwcut = \frac{\text{Добыча воды [м}^3/\text{сут]}}{\text{закачка воды [м}^3/\text{сут]}}$$

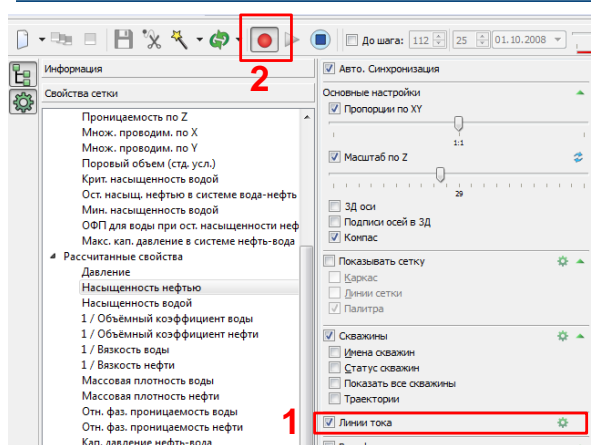
Сколько воды добыто в результате закачки 1 m^3 воды

Высокие значения Iwcut
показывают нагнетательные скважины, которые «гоняют воду по кругу»

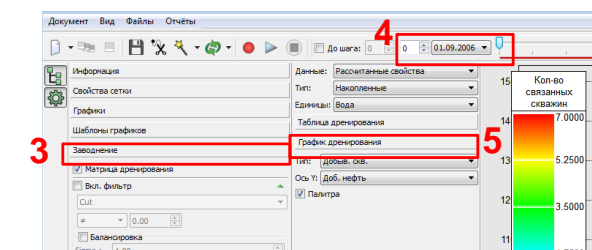
Перераспределение закачки в более эффективные скважины позволит увеличить эффективность заводнения и снизить обводненность

3.27 Прогнозные расчёты. Анализ таблиц дренирования

Прогнозные расчеты. Анализ таблиц дренирования



- На панели настройки отображения нажать галочку «Линии тока»
- Рассчитать модель
- После окончания расчета щелкнуть на левой панели параметров «Заводнение»
- Перетащить слайдер времени на 0 шаг
- На панели настройки выбрать «График дренирования»
- Нажать кнопку **Вычислить** под графиком



© ООО «Газпромнефть НТЦ», 2020 г. | 172

В т-навигаторе тоже есть функционал анализа линий тока.

Прогнозные расчеты. Анализ таблиц дренирования

Сколько нефти добыто в результате закачки 1м³ воды

Соотн.: 0.80

 Отклонение: 0.30

Сколько жидкости добыто в результате закачки 1м³ воды

Таблица дренирования

Сводная таблица по результатам вычисления линий тока. Можно группировать по доб. и нагн. скважинам, в абсолютных и относительных величинах

Скважина	Добыч. оск.	Влияние от нагнетательных скважин	
		Жидкость, пласт.нз	Нефть, ст.нз
1530	3.476129	0	
1559	3.476119	0	
1650	4.31254	0	
1710	2.14301	0	
1769	10.0663	0	
1771	4.88358	0	
1830	7.36849	0	
1831	4.52591	0	
1832	1.74677	0	
1859	3.22258	0	
1877	1.95153	0	
1924	7.04561	0	
1938	0.842451	0	
1939	1.72143	0	
1949	2.96835	0	
1953	1.98528	0	
1954	4.67621	0	
2010	3.78178	0	
2012	2.03093	0	
2066	2.91139	0	
2077	4.17685	0	
2089	4.14088	0	
2070	6.22834	0	
2096	0.377771	0	
2127	9.74198	0	
1530	4923.5	3039.43	Резервуар
1559	11491.7	59331.07	Резервуар
1560	34759	24044.3	Резервуар
			76.278
			22.742
			23.7995
			26.7045
			26.2647
			73.2955
			73.7353
			18.3669
			18.4721
			45.2065
			45.0581
			36.4266
			36.4697

© ООО «Газпромнефть НТЦ», 2020 г. | 173

Анализ таблиц дренирования проводится с целью оптимизации системы ППД.

3.28 Подготовка и проведение прогнозных расчётов

Подготовка и проведение прогнозных расчетов

Чтобы сэкономить время и не пересчитывать историю при расчете прогнозов, можно использовать рестарты

- **Гибкий (полный) рестарт**
 - Происходит перечитывание модели, пересчитываются некоторые данные (например, проводимости)
 - Можно вносить некоторые изменения в базовую модель
 - Рестарт возможен с помощью файлов, записанных в более ранних версиях ECLIPSE
- **Быстрый рестарт**
 - Данные хранятся в обработанной форме, не нужно перечитывать модель
 - Нельзя вносить изменения в базовую модель
 - Должны быть сгенерированы в текущей версии ECLIPSE

© ООО «Газпромнефть НТЦ», 2020 г. | 174

Подготовка и проведение прогнозных расчетов

Гибкий (полный) рестарт

1. При расчете базовой модели убедиться в выводе результатов расчета на нужный шаг (контролируется мнемоникой BASIC=n ключевого слова **RPTRST** в секции SCHEDULE)

2. Для запуска рестарта:

2.1. Скопировать data-файл базовой модели в файл рестарта

2.2. В секции SOLUTION удалить все, что связано с инициализацией и аквиферами.
Вставить

RESTART

'имя базовой модели' номер шага /

2.3. Вставить **SKIPREST** в секцию SCHEDULE

2.4. Добавить дополнительные даты, на которые необходим вывод результата

© ООО «Газпромнефть НТЦ», 2020 г. | 175

Подготовка и проведение прогнозных расчетов

Быстрый рестарт

1. При расчете базовой модели убедиться в выводе результатов расчета на нужный шаг (**RPTRST** и **SAVE** в секции SCHEDULE)

2. Для запуска рестарта:

2.1. Скопировать data-файл базовой модели в файл рестарта

2.2. Удалить всё до секции SUMMARY или SCHEDULE

2.3. Вставить ключевые слова **LOAD** и **RESTART**

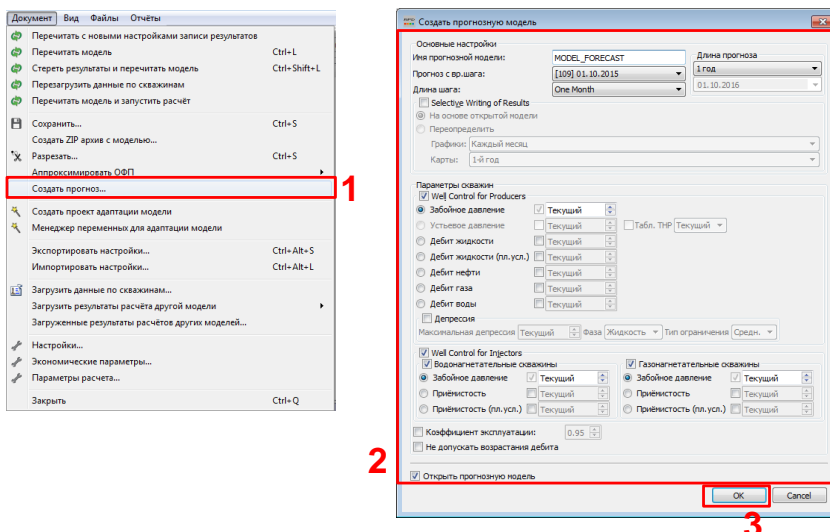
2.4. Вставить **SKIPREST** в секцию SCHEDULE

2.5. Добавить дополнительные даты, на которые необходим вывод результата

© ООО «Газпромнефть НТЦ», 2020 г. | 176

3.29 Создание рестартов из GUI tNavigator

Создание рестартов из GUI tNavigator



1. В верхней панели окна модели выбрать «Документ» / «Создать прогноз»
2. Во всплывшем окне указать настройки для прогнозного варианта
3. Нажать «OK»

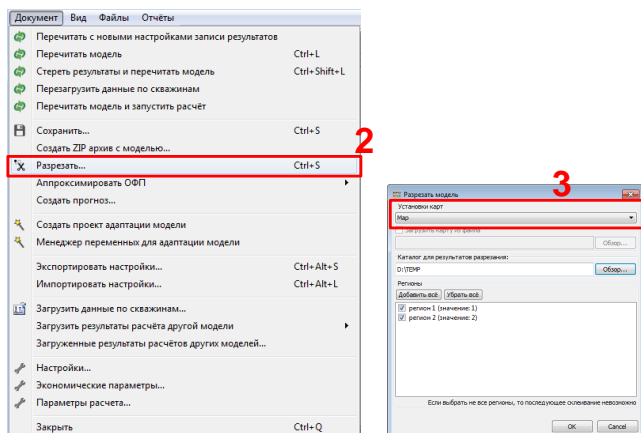
В папке с моделью будут созданы data-файл рестарта для прогнозного варианта и файл schedule с режимами работы скважин на прогноз

© ООО «Газпромнефть НТЦ», 2020 г. | 177

3.30 Вырезание сектора

Вырезание сектора

Рекомендуется разрезание модели по областям с наименьшими перетоками (можно посмотреть по линиям тока)
Скважина не должна попасть в 2 сектора



1. В группе свойств «Карты» создать регионы (кисточкой, арифметикой или профилем)
2. В верхней панели окна модели выбрать «Документ» / «Разрезать»
3. Во всплывающем окне выбрать по какой карте разрезать модель
В папке с моделью будут созданы папки с секторными моделями
4. Открыть модель с расширением .patterns и рассчитать, чтобы записать граничные условия по секторам. После этого можно открывать каждый сектор отдельно

© ООО «Газпромнефть НТЦ», 2020 г. | 178

3.31 Подготовка и проведение прогнозных расчётов

Подготовка и проведение прогнозных расчетов

Контроль по скважинам (дебит, Рзаб, Руст+VFP-таблицы)

WCONPROD

```
--name status ctrl oil wat gas liq liq_r BHP THP VFP#
'P_1' 'OPEN' 'BHP' 1* 1* 1* 200 1* 70 1* 1* /
```

WCONINJE

```
--name type status ctrl rate_s rate_r BHP THP VFP#
'INJ1' 'WATER' 'OPEN' 'THP' 500 1* 1* 170 1 /
```

Групповой контроль

GCONPROD

```
--name ctrl oil wat gas liq extra 6* rate_r pr/inj
'FIELD' 'RESV' 11* 10000 1 /
/
```

GCONINJE

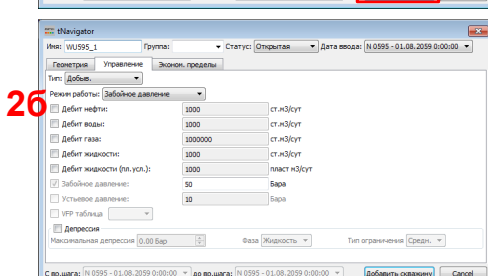
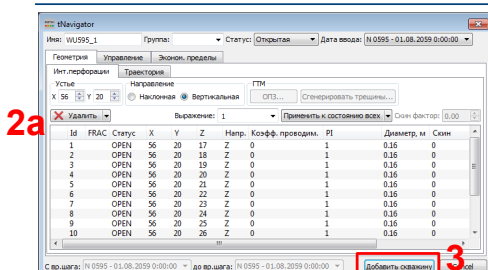
```
--name type ctrl rate_s rate_r reinj compens
'FIELD' 'WATER' 'VREP' 9000 10000 1.0 1.0 /
/
```

© ООО «Газпромнефть НТЦ», 2020 г. | 179

3.32 Прогнозные расчёты

3.32.1 Расстановка ВС

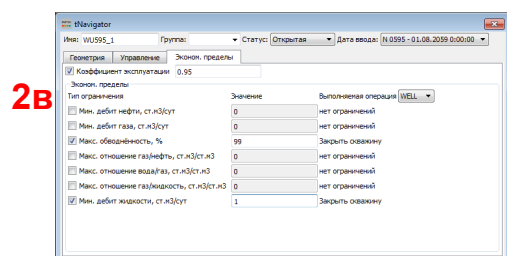
Прогнозные расчеты. Расстановка ВС



Как добавить вертикальную скважину

1. Alt + ЛКМ на ячейке в 2Д или 3Д окне
2. Во всплывшем окне задать а) параметры вскрытия новой скважины, б) параметры управления, в) экономические ограничения
3. Нажать «Добавить скважину». В папке с моделью будет создана папка USER, в которой создан файл с ключевыми словами задания новой скважины.

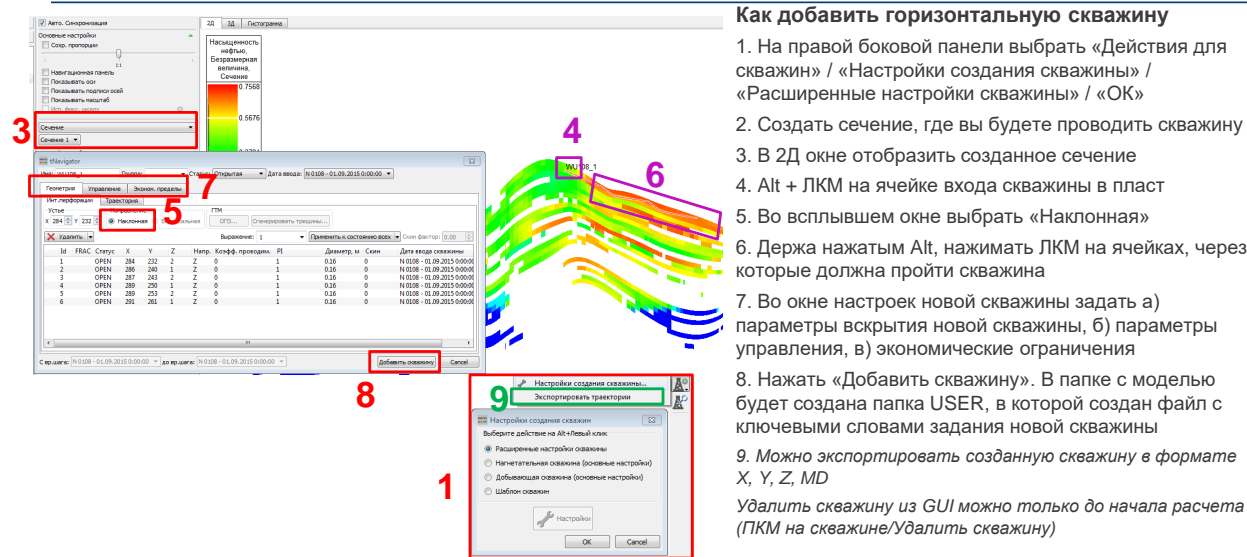
Удалить скважину из GUI можно только до начала расчета (ПКМ на скважине/Удалить скважину)



© ООО «Газпромнефть НТЦ», 2020 г. | 180

3.32.2 Расстановка ГС/ННС

Прогнозные расчеты. Расстановка ГС/ННС



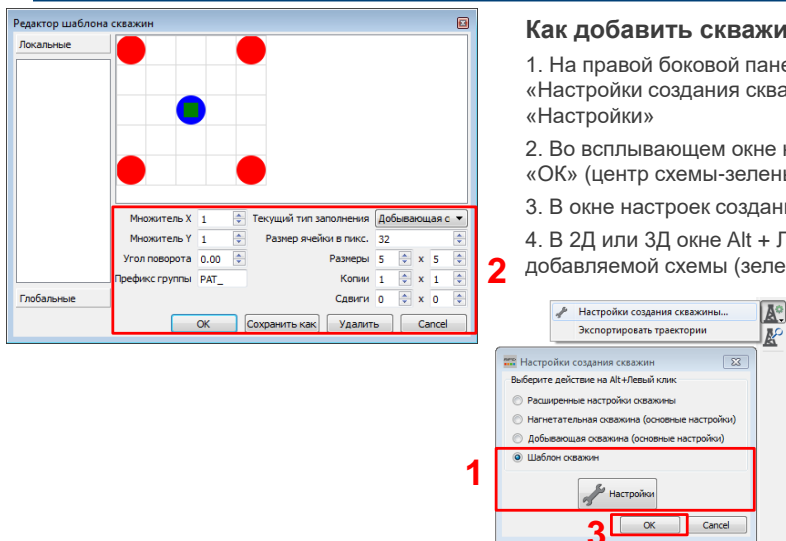
Как добавить горизонтальную скважину

1. На правой боковой панели выбрать «Действия для скважин» / «Настройки создания скважины» / «Расширенные настройки скважины» / «ОК»
 2. Создать сечение, где вы будете проводить скважину
 3. В 2Д окне отобразить созданное сечение
 4. Alt + ЛКМ на ячейке входа скважины в пласт
 5. Во всплывающем окне выбрать «Наклонная»
 6. Держа нажатым Alt, нажимать ЛКМ на ячейках, через которые должна пройти скважина
 7. Во окне настроек новой скважины задать а) параметры вскрытия новой скважины, б) параметры управления, в) экономические ограничения
 8. Нажать «Добавить скважину». В папке с моделью будет создана папка USER, в которой создан файл с ключевыми словами задания новой скважины
 9. Можно экспортовать созданную скважину в формате X, Y, Z, MD
- Удалить скважину из GUI можно только до начала расчета (ПКМ на скважине/Удалить скважину)

© ООО «Газпромнефть НТЦ», 2020 г. | 181

3.32.3 Расстановка скважин по сетке

Прогнозные расчеты. Расстановка скважин по сетке



Как добавить скважины по сетке (шаблону)

1. На правой боковой панели выбрать «Действия для скважин» / «Настройки создания скважины» / «Шаблон скважин» и нажать «Настройки»
2. Во всплывающем окне настроить параметры сетки скважин, нажать «ОК» (центр схемы-зеленый квадрат переносится Alt + ЛКМ)
3. В окне настроек создания скважины нажать «ОК»
4. В 2Д или 3Д окне Alt + ЛКМ на ячейке, в которой будет центр добавляемой схемы (зеленый квадрат в шаблоне)

Если при расстановке скважин по шаблону включить фильтр, то скважины будут проперфорированы только на отображаемые ячейки. По умолчанию перфорируются все ячейки

© ООО «Газпромнефть НТЦ», 2020 г. | 182

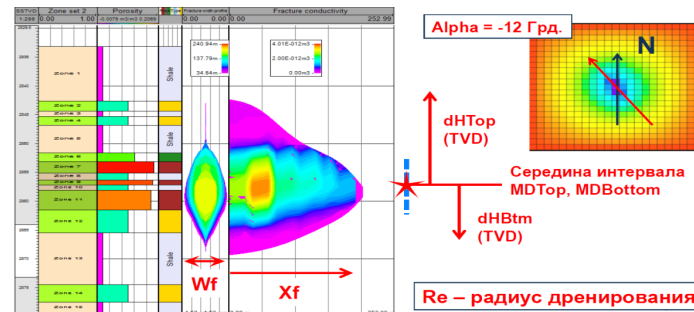
3.32.4 Моделирование ГТМ

Прогнозные расчеты. Моделирование ГТМ

Моделирование ГРП посредством плагина EasyFrac для Petrel

Трещины ГРП моделируются на основании следующего набора данных:

- траектория скважины
- глубина центра трещины (в MD)
- диаметр ствола скважины
- полудлина трещины
- ширина трещины
- азимут простирания трещины
- высота трещины от центра вверх/вниз
- проводимость пропанта
- время вырождения трещины
- конечный множитель трещины
- набор коэффициентов для «настройки»



Выходные данные – schedule-секция с дополнительными ключевыми словами COMPDAT, содержащими соединения скважин с пластом и их параметры (CF, оценочный скин).

Вырождение трещины описывается через связку ключевых слов ACTIONX и WPIMULT.

Слайд Кожемякина С.С.

© ООО «Газпромнефть НТЦ», 2020 г. | 183

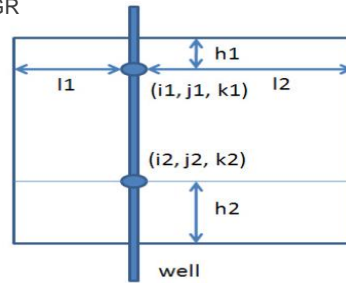
Прогнозные расчеты. Моделирование ГТМ

Моделирование ГРП посредством функционала tNavigator

Семейство ключевых слов WFRAC/WFRACP/COMPFRAC и их аналоги для LGR

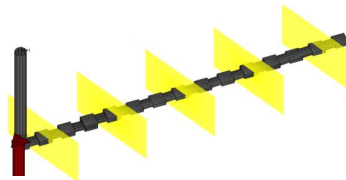
Входные данные:

- модель скважины (соединения)
- координаты трещины в модельной нотации (i,j,k)
- полудлина трещины
- ширина трещины
- азимут/зенит простирания трещины
- высота трещины от верхнего/нижнего коннекшена
- проводимость пропанта
- функция вырождения трещины
- «адаптационные» коэффициенты



WFRACP

```
-well i j k i j k az zen xf1 xf2 h1 h2 w propname func phase mult ijkbound1 ijkbound2 Vprop
3011 112 81 47 112 81 47 115 0 100 100 10 10 0.03 1000 2* 5 /
3011 115 81 43 115 81 43 115 0 100 100 10 10 0.03 1000 2* 5 /
3011 118 81 42 118 81 42 115 0 100 100 10 10 0.03 1000 2* 5 /
3011 121 81 41 121 81 41 115 0 100 100 10 10 0.03 1000 2* 5 /
3011 124 81 42 124 81 42 115 0 100 100 10 10 0.03 1000 2* 5 /
/
```



Фактически в модели создаются дополнительные соединения скважины с пластом, не отображаемые явно

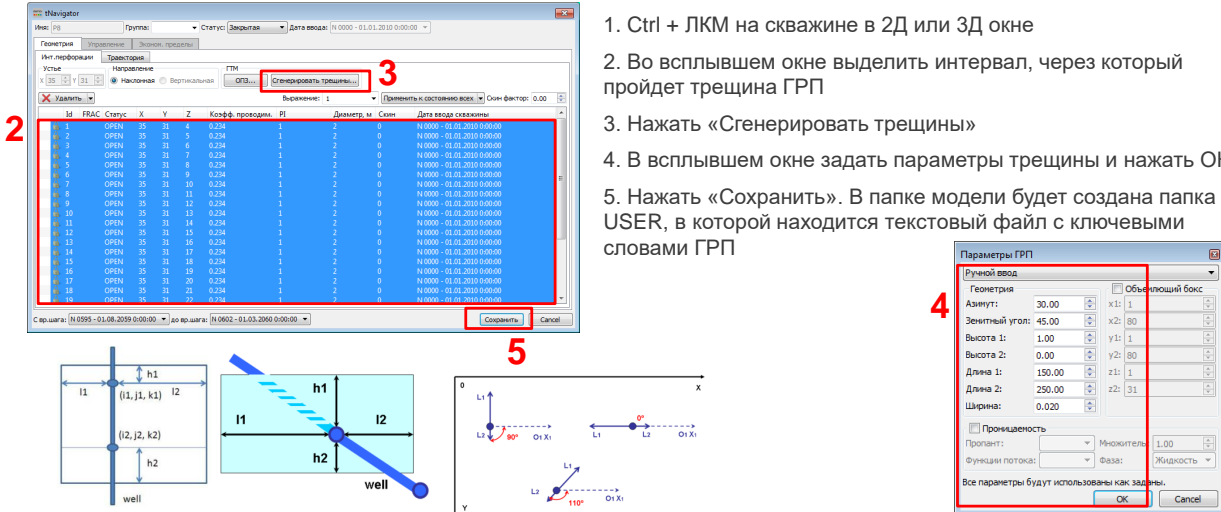
Слайд Кожемякина С.С.

© ООО «Газпромнефть НТЦ», 2020 г. | 184

3.32.5 Задание ГРП

Прогнозные расчеты. Задание ГРП

Можно задавать ГРП ключевыми словами (WFRACP) вручную в data-файле, а можно через GUI



© ООО «Газпромнефть НТЦ», 2020 г. | 185

3.32.6 Оценка адекватности результатов

Прогнозные расчеты. Оценка адекватности результатов

После окончания расчета необходимо проверить адекватность полученных результатов:

- Соответствие прогнозных дебитов и обводненностей новых скважин работе окружения
- Отсутствие на графиках для «старых» скважин скачков дебитов на первый шаг прогноза
- Изменение добычи по скважинам со временем (при заданном постоянном Рзаб)
- Адекватное распределение дебитов скважин при групповом контроле

© ООО «Газпромнефть НТЦ», 2020 г. | 186

3.32.7 Анализ чувствительности

Прогнозные расчеты. Анализ чувствительности

Анализ степени влияния параметров модели на расчетные показатели

1. Поочередная независимая оценка параметров (OVAT – One Value At a Time)

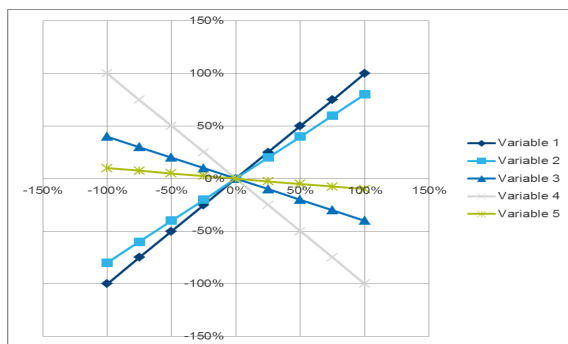


Диаграмма чувствительности
(Spider diagram)

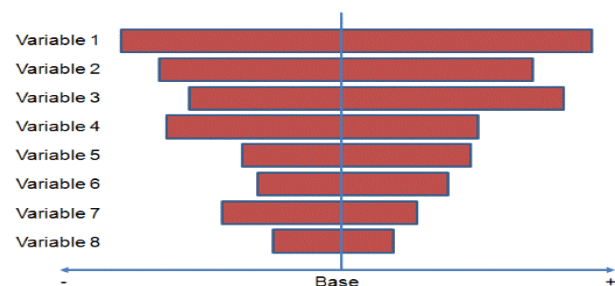


График «торнадо»
(Tornado chart)

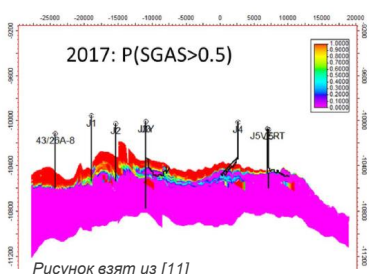
© ООО «Газпромнефть НТЦ», 2020 г. | 187

Прогнозные расчеты. Анализ чувствительности

2. Оценка влияния на результат с учетом варьирования нескольких параметров одновременно

Для сокращения количества расчетных вариантов используется методы дизайна эксперимента (DoE, Design of Experiment). Например:

- ✓ Латинской гиперкуб (набор варьируемых параметров по принципу судоку)
 - ✓ Plackett-Burman (оценка только граничных значений параметров)
 - ✓ Fractional factorial design (ограничения по кол-ву одновременно изменяемых параметров)
- а также прокси и суррогатное моделирование



3.33 Упражнение 7. Прогнозные расчёты

Упражнение 7. Прогнозные расчёты

Анализ карт на основе садаптированной модели, подбор вариантов оптимизации и проведение расчетов:

1. Базовый вариант. Расчет прогноза на 5 лет с последним Рзаб на скважинах.
2. Перевод существующей скважины в ППД
3. Ввод новых скважин ППД
4. *Расстановка новых скважин по сетке

© ООО «Газпромнефть НТЦ», 2020 г. | 189

3.34 Регламенты по созданию ГДМ

Регламенты по созданию ГДМ

- Регламент по созданию ПДГТМ нефтяных и газонефтяных месторождений РД 153-39.0-047-00, 2000г.
- Положение «О порядке приемки и экспертизы трехмерных цифровых геологических и гидродинамических моделей, создаваемых при подсчете и пересчете запасов месторождений углеводородного сырья», ГКЗ, 2010г.
- Временный регламент оценки качества и приемки трехмерных цифровых геолого-гидродинамических моделей, представляемых пользователями недр в составе технических проектов разработки месторождений углеводородного сырья на рассмотрение ЦКР Роснедр по УВС, 2012г.

© ООО «Газпромнефть НТЦ», 2020 г. | 190

3.35 Сравнительная характеристика ПО для ГДМ

Сравнительная характеристика ПО для ГДМ

- При большом числе программных средств гидродинамического моделирования результаты по одинаковым моделям не совпадают
- Тесты SPE для сравнительной оценки результатов расчета симулятором с некоторым набором эталонных расчетов
- Тесты ЦКР (2007) для дополнительной оценки некоторых особенностей расчета
- В РД по проектированию и моделированию оговаривается необходимость выполнения тестов SPE1 и SPE7

© ООО «Газпромнефть НТЦ», 2020 г. | 191

3.35.1 Тесты SPE

Сравнительная характеристика ПО для ГДМ. Тесты SPE

№	Название	Автор и год
1	Моделирование трехфазной фильтрации	Aziz Odeh 1981
2	Моделирование эффекта конусообразования	Khalid Aziz 1982, модифицирован Weinstein et al. 1986
3	Моделирование ретроградной конденсации и ресайклинга	Kenyon и Behie 1987
4	Моделирование нагнетания пара	Aziz et al. 1985
5	Смешивающееся заводнение	Killough и Kossack, 1987
6	Модель двойной пористости	Firoozabadi и Thomas, 1990
7	Моделирование горизонтальной скважины	Ngheim et al., 1991
8	Моделирование различных сеток	Quandalle, 1993
9	Моделирование сложной геологии – большой модели	Killough, 1995
10	Сопоставление техник ремасштабирования	Christie и Blunt, 2001

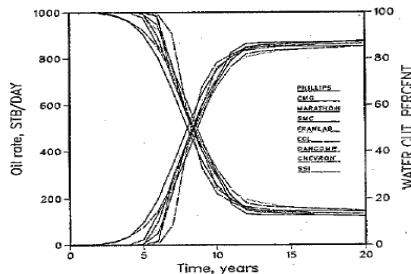
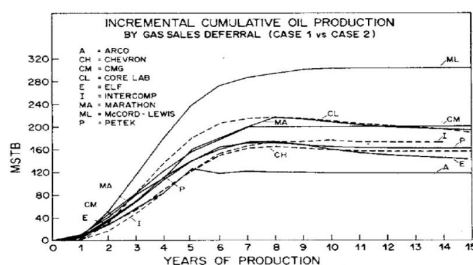
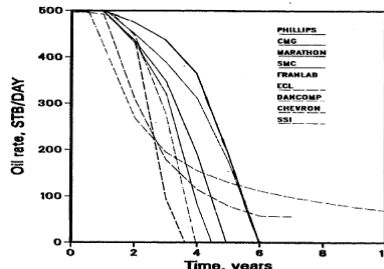
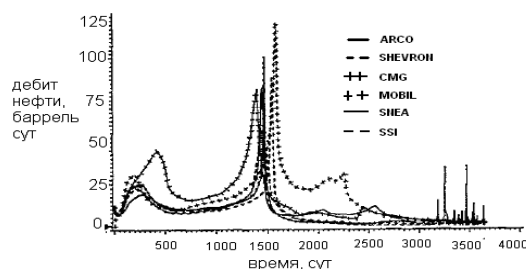
© ООО «Газпромнефть НТЦ», 2020 г. | 192

Сравнительная характеристика ПО для ГДМ. Тесты SPE

Компания	Симулятор	1	2	3	4	5	6	7	8	9	10
Amoco Production Co	noname	да									
AEA Technology	TechSIM									да	
Arco Oil and Gas Co	ARCO		да	да	да	да					да
ARTEP (Research association of Institut Francais du Petrole, Elf Aquitaine, Total-CFP and Gas de France)	Sigma-Core							да			да
British Petroleum (BP)	noname										
Chevron Oil Field Research Co	CRS-3D, NFRS, CHEARS						да				
Computer modeling group of Calgary (CMG)	STAR5, ISCOM, IMEX	да									
Core Laboratories Inc.	noname										
D&S Research Development Ltd	D&S		да								
Dancomp A/S	DANCOMP/RISO						да				
Energy Resource Consultants Limited (ERC)	TIGRESS							да		да	
Exploration Consultants Ltd. (ECL), INTERA Information Technologies(INT)	ECLIPSE 100/200						да	да	да	да	да
Exxon Production Research Co	GPSIM	да									
Franlab Consultant, S. A. (Beicip-Franlab)	FRAGOR		да				да				
Gulf Research and Development Co	noname		да								
Harwell	PORES		да				да				
HOT Engineering (HOT)	SURE							да			
Integrated technologies (INTECH)	VIP-ENCORE							да			
Intercomp Resource Development and Engineering Inc (SSI)	BETA II, SIMBEST II	да	да	да	да	да	да				
J. S. Nolen and Assocs.	VIP	да									
Japan National Oil corporation (JNOC)	noname							да			
Japan Oil Engineering Co. (JOE)	noname							да			
Mobil Oil Co	noname							да			
McCord Lewis Energy Services	noname							да			
Mobil Research and development Corp	ALPURS	да	да								
Petek, The Petroleum Technology Research Inst.	noname										
Philippe Petroleum Co.	noname							да			
Reservoir Simulation Research Corp (RSRC)	noname							да			
Scientific Software Corp (SSC)	noname							да			
Coats Engineering Inc.	SENSOR	да	да								
Shell Development Co	noname	да	да								
Simulation and Modeling Consultancy Ltd. (SMC)	GENESYS	да	да					да			
Societe Nationale Elf Aquitaine	noname							да			
Stanford University	META							да			
Todd, Dietrich, and Chase, Inc. (TDC)	BLOS							да			
Western Atlas Software	Desktop-VIP							да			
GeoQuest	ECLIPSE 100 and FRONTNSIM										
Landmark	VIP									да	
Roxar	Nextwell									да	
Streamsim	RMSsimgrin									да	

© ООО «Газпромнефть НТЦ», 2020 г. | 193

Тесты SPE



© ООО «Газпромнефть НТЦ», 2020 г. | 194

3.35.2 О недостатках тестов SPE

- ## О недостатках тестов SPE
-
- **Границные условия** на границе пласта в первом и седьмом тестах – **только 2го рода**. Не рассматривается возможность и корректность задания в симуляторе граничных условий 1-го рода (постоянное давление на границе)
 - Численное решение зависит от метода решения. Из-за большой разницы в плотности газа и нефти довольно большую роль играет гравитационное разделение фаз. Разные симуляторы могут моделировать этот процесс с разной точностью, причем **точность эталонных симуляторов остаётся неизвестной**
 - **Скважины находятся слишком близко к границе**. Точнее, скважины отстоят от границы всего на половину ширины ячейки А это, в свою очередь, ведет к заметному искажению кривых, используемых впоследствии в качестве эталонов при тестировании новых симуляторов
 - **Маленькое количество ячеек в модели**. Первый тест SPE осуществлен 25 лет назад. За это время вычислительные возможности рабочих станций значительно увеличились, современные модели могут состоять из миллиона ячеек

© ООО «Газпромнефть НТЦ», 2020 г. | 195

О недостатках тестов SPE

- Кроме того, придуманы новые и усовершенствованы старые способы аппроксимации продуктивности, течения жидкости и газов в стволе скважины, потерю давления из-за неполного вскрытия и т.д.
- Даже в современных моделях при плотном разбуривании минимальное расстояние между соседними скважинами редко превышает 10 ячеек, то есть тестирование симулятора на грубой сетке остается актуальным
- Вместе с тем, правильность заложенных в программу аппроксимаций можно оценить (при отсутствии аналитического решения задачи) только при довольно большом измельчении сетки. Поэтому, было бы целесообразно изучать также зависимости решений симуляторов от количества ячеек в разностной сетке
- Современная методика тестирования программ по гидродинамическому моделированию не является объективной по отношению ко всем авторам. Произвольным образом было выбрано 7-14 программных продуктов, которые затем стали считаться эталонными. При этом некоторые из таких симуляторов не прошли бы лицензирование, если бы они не были включены в число эталонов (на графиках выше - самые высокие или низкие кривые). Всё это приводит к необходимости поиска иных методов тестирования

© ООО «Газпромнефть НТЦ», 2020 г. | 196

3.35.3 Тесты ЦКР

Тесты ЦКР

1. Моделирование на неортогональных сетках типа параллелограмм
2. Моделирование на неортогональных сетках типа трапеция
3. Двухфазная фильтрация в сложных анизотропных геологических объектах
4. Двухфазная фильтрация в анизотропных геологических объектах с проницаемостью, описываемой полным тензором
5. Расчет дегазации нефти в рамках стандартной модели black-oil
6. Моделирование фильтрации в пластах, описываемых неструктурированными сетками
7. Моделирование физически неустойчивых течений
8. Учет притоков в скважину из неоднородных пластов
9. Ремасштабирование геологических моделей

Методы тестирования:

- Сравнение результатов расчетов с известными точными аналитическими решениями
- Сравнение результатов расчетов с эталонными физическими решениями
- Сравнение результатов расчетов с опытными данными

© ООО «Газпромнефть НТЦ», 2020 г. | 197

3.36 Основные проблемы моделирования

Основные проблемы моделирования

Групповая дискуссия:

«Какие основные проблемы моделирования Вы можете выделить? Как их решать?»

© ООО «Газпромнефть НТЦ», 2020 г. | 198

3.37 Выводы

ВЫВОДЫ

- При создании модели необходимо исходить из принципов целесообразной экономичности
- До создания ГДМ необходимо провести анализ разработки и верификацию данных
- На каждом этапе создания модели (сейсмика, петрофизика, геомодель) необходима валидация результатов на данные фактической эксплуатации
- Методы, используемые при адаптации модели на историю разработки, должны быть обоснованы с точки зрения геологии и физики пласта
- Существует множество «правильных» вариантов адаптации модели
- Результаты моделирования должны соответствовать критериям точности и адекватности

© ООО «Газпромнефть НТЦ», 2020 г. | 199

Термины, определения, сокращения

ASP – Alkaline-Surfactant-Polymer – заводнение с добавлением смеси щелочи, ПАВ и полимера

BHP – Bottom Hole Pressure – забойное давление

CBL – Cement Bond Log – каротаж качества цемента

CF – Connection Factor – коэффициент проводимости соединения скважина-ячейка

FWL – Free Water Level – зеркало свободной воды

LGR – Local Grid Refinement – локальное измельчение сетки

MD – Measured Depth – измеренная глубина вдоль ствола скважины

NNC – Non Neighbor Connection – несоседнее соединение

NTG – Net-to-Gross Ratio – песчанистость

PEBI – Perpendicular Bisector – перпендикулярный бисектор или сетка Вороного

PVT – Pressure, Volume, Temperature – свойства флюидов и породы, зависящие от термобарических условий

QA/QC – Quality Analysis/ Quality Control – контроль и анализ качества данных

SCAL – Special Core Analysis - специальный анализ керна

© ООО «Газпромнефть НТЦ», 2020 г. | 202

Термины, определения, сокращения

SPE – Society of Petroleum Engineers – Общество инженеров нефтяников

THP – Tubing Head Pressure – устьевое давление

VFP – Vertical Flow Performance – таблица потерь давления по стволу скважины (таблица работы подъемника)

WAG – Water-Alternating-Gas Injection – водогазовое воздействие

ВНК – водонефтяной контакт

ВСП – вертикальное сейсмопрофилирование

ГДИС – гидродинамические исследования скважин

ГДМ – гидродинамическая модель

ГНК – газонефтяной контакт

ГРП – гидроразрыв пласта

ГСР – геолого-статистический разрез

ГТМ – геолого-технологические мероприятия

ГФ – газовый фактор

© ООО «Газпромнефть НТЦ», 2020 г. | 203

Термины, определения, сокращения

ЗБС – забуривание бокового ствола

ЗКЦ – заколонная циркуляция

ЗСВ – зеркало свободной воды

КИГ – коэффициент извлечения газоконденсата

КИН – коэффициент извлечения нефти

КРС – капитальный ремонт скважин

МЭР – месячный эксплуатационный рапорт

НКТ – насосно-компрессорная труба

ОФП – относительные фазовые проницаемости

ПАВ – поверхностно-активные вещества

ПГИ – промыслово-геофизические исследования

ПДГГДМ – постоянно-действующая геолого-гидродинамическая модель

ПДГТМ – постоянно-действующая геолого-технологическая модель

© ООО «Газпромнефть НТЦ», 2020 г. | 204

Термины, определения, сокращения

ПЗП – призабойная зона пласта
ПО – программное обеспечение
ППД – поддержание пластового давления
ПТОС – паротепловые обработки скважин
РД – регламентирующий документ
РИГИС – результаты интерпретации геофизических исследований скважин
УВ – углеводороды
УВС – углеводородное сырье
ФЕС – фильтрационно-емкостные свойства
ЦКР – Центральная комиссия по разработке месторождений РФ

© ООО «Газпромнефть НТЦ», 2020 г. | 205

Список литературы и источников информации

1. Уёмов А.И. Логические основы метода моделирования, М.: Мысль, 1971. – 311 с
2. ISO/IEC/IEEE 24765:2010 Systems and software engineering – Vocabulary
3. IEEE Std 1233-1998 (R2002) IEEE Guide for Developing System Requirements Specifications
4. Хорошев А. Н. Введение в управление проектированием механических систем: Учебное пособие. – Белгород, 1999. – 372 с.
5. Reservoir Simulation Manual – Heriot Watt University, Edinburgh, 2005
6. Eclipse Technical Description – Schlumberger, 2011
7. Marco R. Thiele, Rod P. Batycky Water Injection Optimization Using a Streamline-Based Workflow, SPE 84040
8. Б.Бейли, М.Крабтри, Д.Тайри, Ф.Кучук, К.Романо, Л.Рудхарт, Д.Элфрик Диагностика и ограничение водопритоков /ж-л «Нефтегазовое обозрение», Весна 2001г.
9. Дон Уолкотт Разработка и управление месторождениями при заводнении М.: ЮКОС, Schlumberger, 2011
10. <http://www.geologika.ru/images/pik-ofp.pdf>
11. SPE-185877-MS
12. М-01.05.25-02 Методический документ «Создание цифровых гидродинамических моделей», Спб: ОАО «Газпром нефть», 2015
13. Практические советы по гидродинамическому моделированию / С. В. Кайгородов, С. А. Кириченко, Д. А. Самоловов, Л. И. Акмадиева, Н. Н. Плешанов. — М.—Ижевск : Институт компьютерных исследований, 2019. — 188 с.

© ООО «Газпромнефть НТЦ», 2020 г. | 206

4 Практика 14.09.2022 (Базыров И.Ш.)

4.1 Закон Дарси

В XIX веке наука во Франции была передовой. В 1856 году в работе Дарси «Les fontaines publiques de la ville de Dijon. Paris 1856» (Общественные фонтаны города Дижон. Париж 1856) опубликованы результаты опытов по фильтрации воды в песке. Опубликован закон, связывающий скорость фильтрации жидкости в пористой среде с градиентом давления. Является основополагающим законом, который используется в гидродинамике.

До Дарси считалось, что поток в трубе не зависит от диаметра трубы и шероховатости её стенок. Это большое заблуждение, которое опровергли Дарси и Вейсбах. На самом деле, потери напора в трубе связаны со скоростью в квадрате и есть коэффициент местного сопротивления (коэффициент потерь), который показывает изменение потерей напора на всём протяжении трубы (эти потери прямо пропорциональны длине трубы и обратно пропорциональны диаметру трубы). Закон Дарси применим для фильтрации жидкостей, подчиняющихся закону вязкого трения Ньютона (закону Навье-Стокса). Для фильтрации ньютоновских жидкостей (например, некоторых нефтей) связь между градиентом давления и скоростью фильтрации может быть нелинейной или вообще неалгебраической (например, дифференциальной).

Для ньютоновских жидкостей область применения закона Дарси ограничивается малыми скоростями фильтрации (числа Рейнольдса, рассчитанные по характерному размеру пор, меньше или порядка единицы). При больших скоростях зависимость между градиентом давления и скоростью фильтрации нелинейна (хорошее совпадение с экспериментальными данными даёт квадратичная зависимость – закон фильтрации Форхгеймера).

Основные допущения закона Дарси:

- 1) постоянный дебит;
- 2) ламинарное течение;
- 3) гомогенная среда фильтрации;
- 4) поровое пространство насыщено одной фазой;
- 5) отсутствие химического взаимодействия между породой и флюидом.

4.1.1 Линейное течение

4.1.2 Радиальное течение. Формула Дюпюи

Приравняв значение потоковой скорости, найденное из геометрии пласта, к значению, найденному из закона Дарси, получим дифференциальное уравнение притока флюида к скважине.

Дюпюи составил и решил это дифференциальное уравнение для случая границы в виде цилиндрической области (для радиального режима течения).

$$\frac{Q}{A} = \frac{k}{\mu} \frac{dP}{dx} \Rightarrow \frac{Q}{2\pi h} \int_{r_w}^{r_e} \frac{dr}{r} = \frac{k}{\mu} \int_{P_w}^{P_e} dp \Rightarrow Q = \frac{2\pi k h}{\mu} \frac{P_e - P_w}{\ln\left(\frac{r_e}{r_w}\right)} \quad (10)$$

Формула получена в СИ. При пересчёте в промысловые единицы измерения формула Дюпюи примет следующий вид:

$$Q = \frac{kh}{18.41 \cdot \mu} \frac{P_e - P_w}{\ln \left(\frac{r_e}{r_w} \right)} \quad (11)$$

4.2 Скин-фактор

Для корректной оценки притока (калибровки модели к реальным данным) необходимо также учесть дополнительный перепад давления в призабойной зоне, то есть скин-фактор:

$$S = \frac{\Delta P_s}{Q\mu} \frac{2\pi kh}{(12)}$$

$$P_{wf} = P_e - \frac{Q\mu}{2\pi kh} \left(\ln \left(\frac{r_e}{r_w} \right) + S \right) \quad (13)$$

В дальнейшем скин-фактор используется инженерами для учёта не только перепада давления в призабойной зоне.

4.3 Формула Дюпюи с учётом скин-эффекта

$$Q = \frac{kh}{18.41 \cdot \mu} \frac{P_e - P_w}{\ln \left(\frac{r_e}{r_w} \right) + S} \quad (14)$$

4.4 Определение дебита по формуле Дюпюи, анализ чувствительности

kh	Проводимость пласта, мД·м	100
P_e	Пластовое давление, атм	250
P_{wf}	Забойное давление, атм	100
r_e	Радиус дренирования, м	500
r_w	Радиус скважины, м	0,108
μ	Вязкость флюида, сПз	1,5
S	Скин-фактор, безр.	0

Здесь P_e – пластовое давление на границе области дренирования.

$$Q = \frac{kh}{18.41 \cdot \mu} \frac{P_e - P_w}{\ln \left(\frac{r_e}{r_w} \right) + S} = \frac{100 \text{ мД} \cdot \text{м}}{18.41 \cdot 1.5 \text{ сПз}} \frac{250 \text{ атм} - 100 \text{ атм}}{\ln \left(\frac{500 \text{ м}}{0.108 \text{ м}} \right) + 0} \approx 64 \frac{\text{м}^3}{\text{сут}} \quad (15)$$

4.5 Задача 1

Задача 1

- Определить давление на расстоянии x_1 (м) и x_2 (м) от скважины при плоско-радиальном движении несжимаемой жидкости по линейному закону фильтрации, считая, что проницаемость пласта k (Да), мощность пласта h (м), давление на забое скважины p_w (атм), радиус скважины r_w (см), вязкость нефти μ_0 (сПз),
 1.1 объемный дебит скважины q (м³/сут)
 1.2 Построить зависимость давления от расстояния
 Написать макрос/скрипт, который при запуске будет выводить
 1.3* построенный выше график
 1.4 Сделать анализ чувствительности закона Дарси-Дюпюи
 1.5 Вывод уравнений Дарси, Дарси-Дюпюи

Вариант	x_1 , м	x_2 , м	k , Да	h , м	p_w , атм	r_w , см	μ_0 , сПз	q , м ³ /сут
1	6	40	10	11	85	9	1	249
2	67	21	4	12	74	13	3	61
3	24	35	8	14	69	13	9	232
4	77	89	4	28	59	18	9	211
5	93	61	7	15	75	17	9	87
6	6	32	8	12	100	15	1	114
7	86	61	4	8	56	11	9	184
8	57	54	8	18	63	16	10	204
9	32	32	6	6	77	14	8	124
10	45	56	10	5	90	16	10	256
11	52	20	7	26	82	13	9	118
12	46	35	1	20	77	17	10	135
13	33	8	10	7	53	12	6	176
14	78	40	6	15	71	12	7	53
15	22	41	9	5	81	10	9	193
16	73	83	9	13	71	10	3	65
17	53	23	7	14	98	19	9	158
18	94	87	9	14	63	12	9	231
19	18	49	1	9	99	14	3	118
20	37	10	10	14	61	15	9	73
21	97	50	9	17	93	15	7	264
22	54	68	5	26	62	12	8	68
23	14	19	2	8	89	14	8	93
24	30	17	4	30	96	18	8	214
25	57	80	4	24	66	9	10	250

Вариант 16.

Давление на расстоянии x_1 :

$$P_{x_1} = P_w + \frac{18.41 \cdot Q\mu}{kh} \left(\ln \left(\frac{x_1}{r_w} \right) + S \right) = \\ = 71 \text{ атм} + \frac{18.41 \cdot 65 \frac{\text{м}^3}{\text{сут}} \cdot 3 \text{ сПз}}{9000 \text{ мД} \cdot 13 \text{ м}} \left(\ln \left(\frac{73 \text{ м}}{0.1 \text{ м}} \right) + 0 \right) \approx 71.2023 \text{ атм} \quad (16)$$

Давление на расстоянии x_2 :

$$P_{x_2} = P_w + \frac{18.41 \cdot Q\mu}{kh} \left(\ln \left(\frac{x_2}{r_w} \right) + S \right) = \\ = 71 \text{ атм} + \frac{18.41 \cdot 65 \frac{\text{м}^3}{\text{сут}} \cdot 3 \text{ сПз}}{9000 \text{ мД} \cdot 13 \text{ м}} \left(\ln \left(\frac{83 \text{ м}}{0.1 \text{ м}} \right) + 0 \right) \approx 71.2062 \text{ атм} \quad (17)$$

График зависимости давления от расстояния построен по ссылке: [Open in Colab](#).

4.6 Что такое гидродинамическое моделирование?

См. вводную лекцию.

4.7 Уравнение пьезопроводности (без упругости пласта)

См. вводную лекцию.

4.8 Решение линейного стока/источника в однородном бесконечном коллекторе

Для вывода решения используются безразмерные переменные. Например, безразмерные радиус, время и давление:

$$r_D = \frac{r}{r_w}; \quad t_D = \frac{kt}{\varphi c_t r_w^2}; \quad P_D = \frac{2\pi k h}{q B \mu} (p_i - p) \quad (18)$$

Преимущества использования безразмерных переменных:

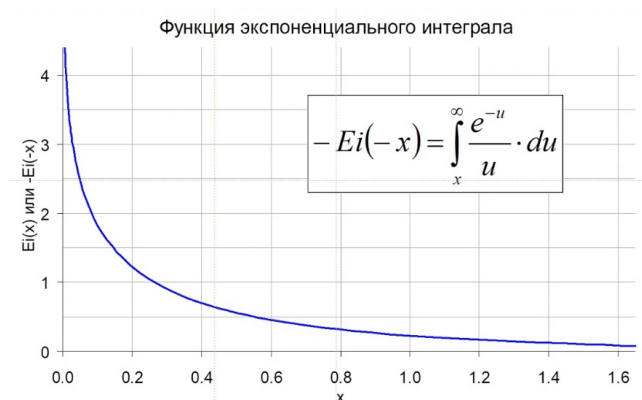
- 1) вид уравнений упрощается;
- 2) полученное один раз решение можно использовать для самых разных конфигураций;
- 3) безразмерные переменные – основа для метода палеточной интерпретации.

Решение в безразмерных переменных, записанное через интегральную показательную функцию:

$$P_D(r_D, t_D) = -Ei\left(-\frac{r_D^2}{4t_D}\right), \quad (19)$$

где

$$-Ei(-x) = \int_x^\infty \frac{e^{-u}}{u} du. \quad (20)$$



Логарифмическая аппроксимация решения при условии $\frac{r_D^2}{4t_D} \leq 0.01$:

$$P_D(r_D, t_D) \approx -\frac{1}{2} \left[\ln \frac{\gamma r_D^2}{4t_D} \right] = \frac{1}{2} \left[\ln \frac{t_D}{r_D^2} + 0.80907 \right]. \quad (21)$$

Решение линейного стока:

$$P(r, t) = p_i - \frac{q B \mu}{2 \pi k h} \left[-\frac{1}{2} Ei \left(-\frac{\varphi \mu c_t r^2}{4 k t} \right) \right]. \quad (22)$$

Логарифмическая аппроксимация решения при условии $\frac{kt}{\varphi \mu c_t r^2} \geq 25$:

$$P(r, t) \approx p_i - \frac{1}{2} \frac{qB\mu}{2\pi kh} \left[\ln \frac{kt}{\varphi \mu c_t r^2} + 0.80907 \right]. \quad (23)$$

4.9 Что такое модель, или зачем нужно решать уравнение пьезопроводности?

$$P(r, t) \approx p_i - \frac{1}{2} \frac{qB\mu}{2\pi kh} \left[\ln \frac{kt}{\varphi \mu c_t r^2} + 0.80907 \right]. \quad (24)$$

Уравнение пьезопроводности – основа аналитических моделей пласта, использующихся в различных симуляторах (например, в Saphir).

4.10 Задача 2

Задача 2

- 1.1 Определите радиус исследований
Решить обратную задачу. Задать начальный радиус исследований (более приближенный к реальности), приблизиться к решению, меняя параметры.
- 1.2 Решить обратную задачу. Задать начальный радиус исследований (более приближенный к реальности), приблизиться к решению, меняя параметры, используя методы оптимизации
- 1.3* Вывод уравнения пьезопроводности без упругости пласта
- 1.4 Вывод уравнения пьезопроводности с упругостью пласта
- 1.5* Вывод уравнения пьезопроводности с упругостью пласта

Вариант	k, мДа	t, мин	kр, %	ти0, сПз	ct, 10 ⁻⁴ атм ⁻¹
1	86	1781	22	4	13
2	30	3984	17	6	3
3	91	9682	17	5	15
4	60	2775	21	1	20
5	70	1305	26	3	6
6	7	887	23	10	5
7	3	1520	20	2	4
8	73	8261	22	4	5
9	25	54	26	8	20
10	64	1423	30	9	14
11	71	7600	23	7	10
12	59	5890	11	5	5
13	12	9645	21	9	11
14	85	97	21	1	16
15	49	9645	11	4	2
16	32	7343	14	10	20
17	14	465	19	4	1
18	99	4763	20	8	9
19	94	7593	14	8	3
20	82	8266	13	4	1
21	48	7462	22	8	14
22	74	1046	26	1	16
23	73	8173	19	1	13
24	42	1202	28	10	19
25	11	1841	18	1	10

Вариант 16.

$$r_{inv} = 0.037 \sqrt{\frac{kt}{\varphi \mu c_t}} = 0.037 \sqrt{\frac{0.032 \text{ Да} \cdot 7343 \cdot 60 \text{ с}}{0,14 \cdot 0.10 \text{ Пз} \cdot 20 \cdot 10^{-4} \frac{1}{\text{атм}}}} \approx 830 \text{ см} = 8.3 \text{ м} \quad (25)$$

График зависимости радиуса исследования от произведения проницаемости и времени построен по ссылке: [Open in Colab](#).

4.11 Вывод уравнения пьезопроводности без упругости пласта (от Шеля Е.В.)

Запишем ЗСМ для флюида:

$$\frac{\partial r_f}{\partial t} + \partial_i (r_f v_i^f) = 0 \quad (26)$$

Закон Дарси в «школьной» форме:

$$Q = -\frac{\Delta p}{L} \frac{k}{\mu} S \quad (27)$$

Закон Дарси в дифференциальной форме:

$$W_i = -\frac{k_{ij}}{\mu} \partial_j p, \quad (28)$$

где $W_i = \varphi v_i^f$ – потоковая относительная скорость флюида.

Учитывая связь эффективной и истинной плотностей ($r_f = \varphi \rho_f$), перепишем ЗСМ для флюида:

$$\frac{\partial (\rho_f \varphi)}{\partial t} + \partial_i (\rho_f \varphi v_i^f) = 0 \quad (29)$$

Подставляя (28) в (29), получаем:

$$\frac{\partial (\rho_f \varphi)}{\partial t} - \partial_i \left(\rho_f \frac{k_{ij}}{\mu} \partial_j p \right) = 0 \quad (30)$$

Замыкающее соотношение (связь плотности флюида и давления):

$$\rho_f = \rho_f^0 (1 + c_f (p - p_0)), \quad (31)$$

где c_f – сжимаемость флюида (1/Па).

Замыкающее соотношение (связь пористости и давления):

$$\varphi = \varphi^0 + c_n (p - p_0), \quad (32)$$

где c_n – сжимаемость пор (не равно сжимаемости породы).

Продифференцируем по времени замыкающее соотношение (31):

$$\frac{\partial \rho_f}{\partial t} = c_f \rho_f^0 \frac{\partial p}{\partial t} \quad (33)$$

Продифференцируем по пространству замыкающее соотношение (31):

$$\partial_i \rho_f = c_f \rho_f^0 \partial_i p \quad (34)$$

Продифференцируем по времени замыкающее соотношение (32):

$$\frac{\partial \varphi}{\partial t} = c_n \frac{\partial p}{\partial t} \quad (35)$$

Продифференцируем по пространству замыкающее соотношение (32):

$$\partial_i \varphi = c_n \partial_i p \quad (36)$$

Раскрывая производные произведений в (30), получаем:

$$\frac{\partial \rho_f}{\partial t} \varphi + \rho_f \frac{\partial \varphi}{\partial t} - \frac{k_{ij}}{\mu} \partial_j p \partial_i \rho_f - \rho_f \partial_j p \partial_i \left(\frac{k_{ij}}{\mu} \right) - \rho_f \frac{k_{ij}}{\mu} (\partial_i \partial_j p) = 0 \quad (37)$$

Подставляя (33), (34), (35) и (36) в (37), получаем:

$$\begin{aligned} c_f \rho_f^0 \frac{\partial p}{\partial t} \varphi + \rho_f c_n \frac{\partial p}{\partial t} - \frac{k_{ij}}{\mu} \partial_j p c_f \rho_f^0 \partial_i p - \frac{\rho_f}{\mu} \partial_j p \partial_i k_{ij} + \\ + \rho_f \partial_j p k_{ij} \frac{\partial \mu}{\partial p} \frac{1}{\mu^2} \partial_i p - \rho_f \frac{k_{ij}}{\mu} (\partial_i \partial_j p) = 0 \end{aligned} \quad (38)$$

Перед анализом физических уравнений всегда делают масштабный анализ, чтобы понять, какие слагаемые в уравнении важны, а какие не важны (пример: уравнение Навье-Стокса с числами Струхаля, Эйлера, Рейнольдса, Фруда).

Спойлер: ГДМ симуляторы не решают уравнение пьезопроводности в классическом виде, а решают закон сохранения массы, в который они подставляют закон Дарси.

Далее необходимо выделить характерные масштабные факторы, обезразмерив каждую из функций в уравнении.

Введём безразмерное давление \tilde{p} такое, что:

$$p = \tilde{p} \cdot p_0, \quad (39)$$

где p_0 – пластовое давление.

Введём безразмерное расстояние \tilde{r} такое, что:

$$\vec{r} = \tilde{r} \cdot L, \quad (40)$$

где L – некое характерное расстояние (например, между скважинами).

Введём безразмерную проницаемость \tilde{k}_{ij} такую, что:

$$k_{ij} = \tilde{k}_{ij} \cdot k_0, \quad (41)$$

где k_0 – некая характерная проницаемость.

Введём безразмерную вязкость $\tilde{\mu}$ такую, что:

$$\mu = \tilde{\mu} \cdot \mu_0, \quad (42)$$

где μ_0 – некая характерная вязкость.

Все безразмерные функции (с волной) порядка единицы.

Перепишем (38) в введённых безразмерных величинах, разделив обе части этого уравнения на ρ_f^0 :

$$\begin{aligned} \frac{\partial p}{\partial t} \left(\varphi c_f + \frac{\rho_f}{\rho_f^0} \cdot c_{\pi} \right) - \frac{k_0}{\mu_0} \frac{p_0^2}{L^2} c_f \frac{\tilde{k}_{ij}}{\tilde{\mu}} \tilde{\partial}_i \tilde{p} \tilde{\partial}_j \tilde{p} - \frac{\rho_f}{\rho_f^0} \frac{k_0}{\mu_0} \frac{p_0}{L^2} \frac{\tilde{k}_{ij}}{\tilde{\mu}} \tilde{\partial}_j \tilde{p} \tilde{\partial}_i \tilde{k}_{ij} + \\ + \frac{\rho_f}{\rho_f^0} \frac{p_0 k_0}{L^2 \mu_0} \tilde{\partial}_j \tilde{p} \tilde{k}_{ij} \frac{\partial \tilde{\mu}}{\partial \tilde{p}} \frac{1}{\tilde{\mu}^2} \tilde{\partial}_i \tilde{p} - \frac{\rho_f}{\rho_f^0} \frac{k_0}{\mu_0} \frac{p_0}{L^2} \frac{\tilde{k}_{ij}}{\tilde{\mu}} (\tilde{\partial}_i \tilde{\partial}_j \tilde{p}) = 0 \end{aligned} \quad (43)$$

Вынесли все масштабные множители. Далее делим обе части уравнения на множитель перед старшей производной (на $\frac{k_0 p_0}{\mu_0 L^2}$), т.е. обезразмериваем уравнение:

$$\begin{aligned} \frac{\mu_0 L^2}{k_0 p_0} \cdot \frac{\partial p}{\partial t} \left(\varphi c_f + \frac{\rho_f}{\rho_f^0} \cdot c_{\pi} \right) - p_0 c_f \frac{\tilde{k}_{ij}}{\tilde{\mu}} \tilde{\partial}_i \tilde{p} \tilde{\partial}_j \tilde{p} - \frac{\rho_f}{\rho_f^0} \frac{\tilde{k}_{ij}}{\tilde{\mu}} \tilde{\partial}_j \tilde{p} \tilde{\partial}_i \tilde{k}_{ij} + \\ + \frac{\rho_f}{\rho_f^0} \frac{\partial \tilde{\mu}}{\partial \tilde{p}} \frac{1}{\tilde{\mu}^2} \tilde{k}_{ij} \tilde{\partial}_j \tilde{p} \tilde{\partial}_i \tilde{p} - \frac{\rho_f}{\rho_f^0} \frac{\tilde{k}_{ij}}{\tilde{\mu}} (\tilde{\partial}_i \tilde{\partial}_j \tilde{p}) = 0 \end{aligned} \quad (44)$$

Сделаем 3 важных приближения:

1. $p_0 c_f \ll 1$ (прикинем: сжимаемость воды порядка $10^{-5} \text{ atm}^{-1} = 10^{-10} \text{ Pa}^{-1}$; характерные значения давлений на глубинах, равных нескольким километрам, составляют сотни атмосфер; таким образом, произведение порядка 10^{-3} , что много меньше единицы; но такое приближение не работает для газа: для него рассматриваемое произведение порядка единицы); это приближение фактически равносильно приближению $\rho_f \approx \rho_f^0$;
2. $\tilde{\partial}_i \tilde{k}_{ij} \ll 1$ (считаем, что на характерном масштабе задачи по данному направлению проницаемость изменяется незначительно, не больше 10 процентов);
3. $\frac{\partial \tilde{\mu}}{\partial \tilde{p}} \ll 1$ (считаем, что отмасштабированный график проницаемости от давления пологий – этот факт подтверждается экспериментально – вязкость слабо зависит от давления)

Тогда уравнение (44) перепишется в следующем виде (убрали слагаемые с пренебрежимо малыми множителями в рамках сделанных приближений и вернулись от безразмерных функций с волной к обычным функциям):

$$\frac{\partial p}{\partial t} \underbrace{(\varphi c_f + c_{\pi})}_{c_t} - \frac{k_{ij}}{\mu} \partial_i \partial_j p = 0 \quad (45)$$

(заметим, что если есть анизотропия проницаемости, то лапласиана в уравнении не будет). Получаем классическое уравнение пьезопроводности:

$$\frac{\partial p}{\partial t} - \frac{k_{ij}}{\mu c_t} \partial_i \partial_j p = 0, \quad (46)$$

где c_t – это полная сжимаемость.

Замечание. Но есть литература, в которой $c_t = c_f + \frac{c_n}{\varphi}$, тогда уравнение пьезопроводности будет выглядеть так:

$$\frac{\partial p}{\partial t} - \frac{k_{ij}}{\mu \varphi c_t} \partial_i \partial_j p = 0 \quad (47)$$

Пусть тензор проницаемости изотропен $k_{ij} = k_0 \cdot \delta_{ij}$, тогда:

$$\frac{\partial p}{\partial t} - \frac{k_0}{\mu c_t} \delta_{ij} \partial_i \partial_j p = 0 \Leftrightarrow \frac{\partial p}{\partial t} - \frac{k_0}{\mu c_t} \Delta p = 0 \quad (48)$$

(получили всем известный вид уравнения пьезопроводности).

5 Практика 21.09.2022 (Базыров И.Ш.)

6 Практика 28.09.2022 (Базыров И.Ш.)

7 Практика 05.10.2022 (Базыров И.Ш.)

8 Практика 12.10.2022 (Базыров И.Ш.)

9 Практика 19.10.2022 (Базыров И.Ш.)

10 Практика 26.10.2022 (Базыров И.Ш.)

11 Практика 02.11.2022 (Базыров И.Ш.)

12 Практика 09.11.2022 (Базыров И.Ш.)

13 Практика 16.11.2022 (Базыров И.Ш.)